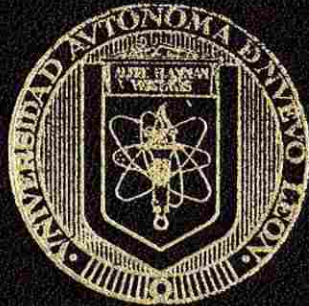


UNIVERSIDAD AUTONOMA DE NUEVO LEON  
FACULTAD DE INGENIERIA MECANICA  
Y ELECTRICA  
DIVISION DE ESTUDIOS DE POSTGRADO



DISEÑO DE EQUIPOS DE TRANSFERENCIA  
DE CALOR

POR  
ING. JOSE FERNANDO SALAZAR VALDEZ

TESIS  
EN OPCION AL GRADO DE MAESTRO EN CIENCIAS  
DE LA INGENIERIA MECANICA CON ESPECIALIDAD  
EN TERMICA Y FLUIDOS

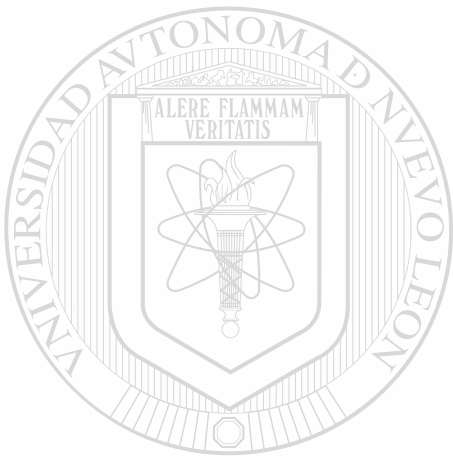
SAN NICOLAS DE LOS GARZA, N. L.,  
AGOSTO DEL 2001

TM  
Z 5 8 5 3  
M 2  
F I M E  
2 0 0 1

# DISEÑO DE EQUIPOS DE TRANSFERENCIA DE CALOR



1020145448



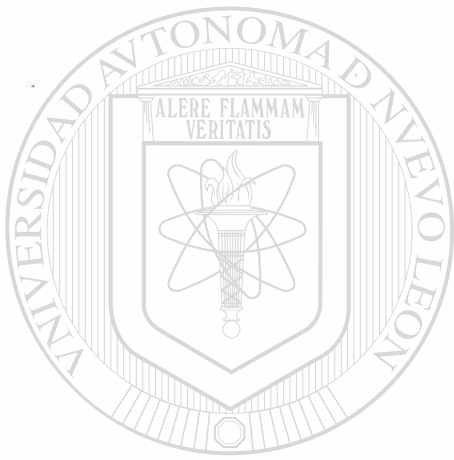
# UANL

---

UNIVERSIDAD AUTÓNOMA DE NUEVO LEÓN



DIRECCIÓN GENERAL DE BIBLIOTECAS



# UANL

---

UNIVERSIDAD AUTÓNOMA DE NUEVO LEÓN



DIRECCIÓN GENERAL DE BIBLIOTECAS

UNIVERSIDAD AUTONOMA DE NUEVO LEON  
FACULTAD DE INGENIERIA MECANICA  
Y ELECTRICA  
DIVISION DE ESTUDIOS DE POSTGRADO



DISEÑO DE EQUIPOS DE TRANSFERENCIA  
DE CALOR

UANL

POR  
ING. JOSE FERNANDO SALAZAR VALDEZ

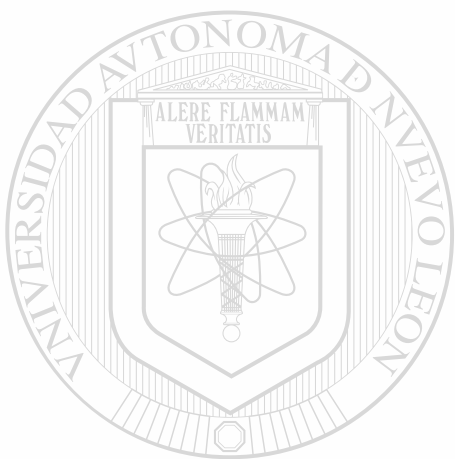
DIRECCIÓN GENERAL DE BIBLIOTECAS

TESIS  
EN OPCION AL GRADO DE MAESTRO EN CIENCIAS  
DE LA INGENIERIA MECANICA CON ESPECIALIDAD  
EN TERMICA Y FLUIDOS

SAN NICOLAS DE LOS GARZA, N. L.,  
AGOSTO DEL 2001

230722

TM  
25853  
•M2  
FIHE  
2001  
52



# UANL

UNIVERSIDAD AUTÓNOMA DE NUEVO LEÓN

®

DIRECCIÓN GENERAL DE BIBLIOTECAS



FONDO  
TESIS

22-Julio-08  
D. C. C. C.

**UNIVERSIDAD AUTONOMA DE NUEVO LEON**  
**FACULTAD DE INGENIERIA MECANICA Y ELECTRICA**  
**DIVISION DE ESTUDIOS DE POST-GRADO**

Los miembros del comité de tesis recomendamos que la tesis  
“DISEÑO DE EQUIPOS DE TRANSFERENCIA DE CALOR” realizada por el  
alumno Ing. José Fernando Salazar Valdez, matricula 0122611 sea aceptada para  
su defensa como opción al grado de Maestro en Ciencias de la Ingeniería  
Mecánica con especialidad en Térmica y Fluidos

El Comité de Tesis



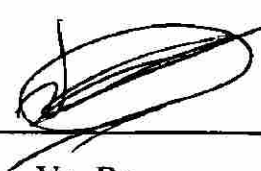
M.C. Guadalupe E. Cedillo Garza  
Asesor



M.C. Benito S. Garza Espinosa



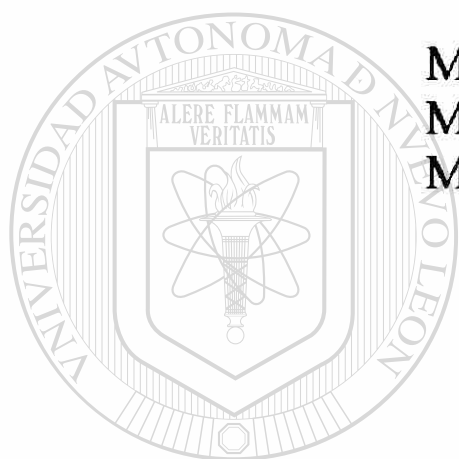
M.C. Roberto Villarreal Garza



Vo. Bo.  
M.C. Roberto Villareal Garza  
División de Estudios de  
Post-grado

San Nicolás de los Garza, N.L.

**A mis maestros:**



**M.C. Guadalupe E. Cedillo Garza**

**M.C. Roberto Villarreal Garza**

**M.C. Benito S. Garza Espinoza**

**Con respeto y Admiración  
Gracias.**

---

UNIVERSIDAD AUTÓNOMA DE NUEVO LEÓN

DIRECCIÓN GENERAL DE BIBLIOTECAS

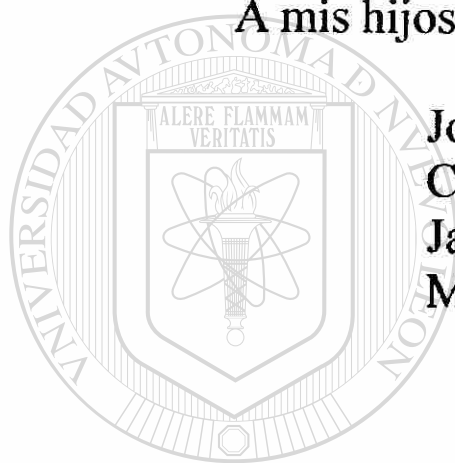




**A mis hijos:**

**José Fernando  
Cesar Napoleón  
Javier Abel  
Mónica Alejandra**

**Con Cariño.**



UANL

---

UNIVERSIDAD AUTÓNOMA DE NUEVO LEÓN



DIRECCIÓN GENERAL DE BIBLIOTECAS

## PROLOGO

El mundo de hoy enfrenta un cambio crítico como nación para satisfacer las necesidades básicas humanas, como la alimentación, el vestido, etc., los cuales dependen de una adecuada fuente de energía basada en combustibles naturales, los cuales lamentablemente son una fuente finita.

La alimentación, la salud y la generación de potencia han sido problemas de preocupación vital para la humanidad a lo largo de toda su historia. El progreso realizado en estas áreas ha llevado al desarrollo conocimiento de la transferencia de calor como una ciencia, por lo cual un conocimiento de esta disciplina de transporte es de suma importancia para el ingeniero.

Mientras aparecen ideas cada vez más y más sofisticadas en la tecnología moderna, la teoría de transferencia de calor debe resolver problemas nuevos y cada vez más complejos.

---

Aun cuando la termodinámica predice el intercambio de calor en un sistema al realizar un proceso, ésta es incapaz de predecir el tipo de mecanismo mediante el cual esta transferencia de calor se lleva a cabo. Así, una mera aplicación de la primera y segunda ley de la termodinámica en un intercambiador de calor suministra la información necesaria con respecto al flujo de calor que debe transferirse del fluido caliente al frío. Empero la termodinámica no suministra información con respecto al diámetro, longitud, material o arreglo geométrico de los tubos que deben emplearse. Estas características de diseño se obtienen mediante un análisis detallado de transferencia de calor.

De manera análoga, un análisis termodinámico en un motor de combustión interna provee información con respecto a los requisitos de enfriamiento de este. Sin embargo, la transferencia de calor contempla la posibilidad de enfriarlo con aire o con agua, así como las dimensiones físicas que deben tener los conductos por donde debe circular el agua, en el evento de este flujo se emplee como refrigerante, o las dimensiones de las aletas de enfriamiento para lograr la refrigeración con aire.

De lo anterior se desprende que la termodinámica y la transferencia de calor son 2 ciencias afines que se complementan entre si. Mientras que la primera predice los requisitos de transferencia de calor de un sistema, la segunda predice el cómo esta transferencia se lleva a cabo.



# UANL

---

UNIVERSIDAD AUTÓNOMA DE NUEVO LEÓN



DIRECCIÓN GENERAL DE BIBLIOTECAS

# INDICE

## INTRODUCCIÓN

1. INTERCAMBIADORES USADOS EN TRANSFERENCIA DE CALOR
2. RESULTADOS DE UN DISEÑO TERMICO
3. RESULTADOS DE UN DISEÑO MECÁNICO
4. SOLUCIÓN AL ENSUCIAMIENTO DE TRANSFERENCIA DE CALOR
5. CASO PRACTICO
6. BIBLIOGRAFIA

---

UNIVERSIDAD AUTÓNOMA DE NUEVO LEÓN

DIRECCIÓN GENERAL DE BIBLIOTECAS



# CONTENIDO

## CAPÍTULO

## PÁGINA

PROLOGO

SINTESIS

i

INTRODUCCIÓN

1

1. INTERCAMBIADORES USADOS EN TRANSFERENCIA DE CALOR 2

1.1. Intercambiadores de doble tubo 3

1.2. Intercambiadores de tipo Evaporativo 3

1.3. Intercambiadores de Placas 4

1.4. Intercambiadores de Serpentin 4

1.5. Intercambiadores de Espiral 4

1.6. Intercambiadores enfriados por aire 5

1.6.1. Intercambiadores enfriados por aire de tiro forzado 5

1.6.2. Intercambiadores enfriados por aire de tiro inducido 6

1.7. Intercambiadores de Carcaza y Tubos 6

1.8. Intercambiadores Rotatorios 7

2. RESULTADOS DE UN DISEÑO TERMICO 18

2.1. Ecuación Básica 18

2.2. Flujo térmico transferido 19

2.3. Superficie de Transferencia de Calor 20

2.4. Coeficiente global de Transferencia de Calor 20

2.5. Diferencia Media de Temperatura entre los fluidos 21

2.5.1. Flujos de Corrientes paralelas del mismo sentido 22

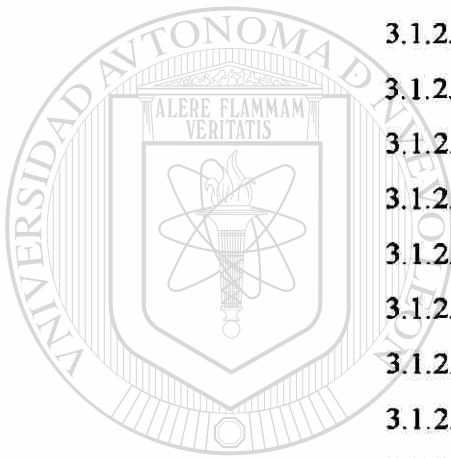
2.5.2. Flujos de corrientes paralelas en contracorriente 22

2.5.3. Flujos de corrientes cruzadas 23

2.5.4. Flujos Combinados 23

2.6. Método Efectividad-Número de Unidades de Transferencia 25

<b>3.</b>	<b>RESULTADOS DE UN DISEÑO MECANICO</b>	<b>50</b>
<b>3.1.</b>	<b>Contenido del Código ASME y de la Normas del TEMA</b>	<b>51</b>
<b>3.1.1.</b>	<b>Código ASME</b>	<b>51</b>
<b>3.1.1.1.</b>	<b>Sección VIII, División I, Subsección</b>	<b>52</b>
<b>3.1.1.2.</b>	<b>Sección VIII, División I, Subsección B</b>	<b>53</b>
<b>3.1.1.3.</b>	<b>Sección VIII, División I, Subsección C</b>	<b>54</b>
<b>3.1.2.</b>	<b>Normas del TEMA (Tubular Exchanger Manufacturers Association)</b>	<b>55</b>
<b>3.1.2.1.</b>	<b>Parte N</b>	<b>56</b>
<b>3.1.2.2.</b>	<b>Parte F</b>	<b>56</b>
<b>3.1.2.3.</b>	<b>Parte G</b>	<b>56</b>
<b>3.1.2.4.</b>	<b>Parte E</b>	<b>57</b>
<b>3.1.2.5.</b>	<b>Parte RCB</b>	<b>57</b>
<b>3.1.2.6.</b>	<b>Parte V</b>	<b>58</b>
<b>3.1.2.7.</b>	<b>Parte T</b>	<b>58</b>
<b>3.1.2.8.</b>	<b>Parte P</b>	<b>59</b>
<b>3.1.2.9.</b>	<b>Parte D</b>	<b>59</b>
<b>3.1.2.10.</b>	<b>Parte RGP (Sección 10)</b>	<b>59</b>
<b>3.2.</b>	<b>Elementos de Diseño Mecánico</b>	<b>60</b>
<b>3.2.1.</b>	<b>Diseño de Carcazas o Envoltentes</b>	<b>60</b>
<b>3.2.1.1.</b>	<b>Por Presión Interna</b>	<b>60</b>
<b>3.2.1.1.1.</b>	<b>Carcaza o Envoltente Cilíndrica</b>	<b>60</b>
<b>3.2.1.1.2.</b>	<b>Sección de Carcaza Cónicas</b>	<b>61</b>
<b>3.2.1.2.</b>	<b>Por Presión Externa</b>	<b>62</b>
<b>3.2.1.2.1.</b>	<b>Carcaza o Envoltente Cilíndrica</b>	<b>62</b>
<b>3.2.2.</b>	<b>Diseño de Tapas</b>	<b>65</b>
<b>3.2.2.1.</b>	<b>Por Presión Interna</b>	<b>65</b>
<b>3.2.2.1.1.</b>	<b>Tapa Semiéptica</b>	<b>65</b>
<b>3.2.2.1.2.</b>	<b>Tapa Toriesférica</b>	<b>66</b>
<b>3.2.2.1.3.</b>	<b>Tapa Semiesférica</b>	<b>66</b>



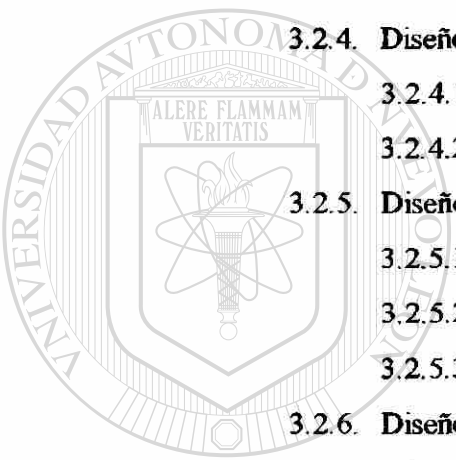
UANL

UNIVERSIDAD AUTÓNOMA DE NUEVO LEÓN

DIRECCIÓN GENERAL DE BIBLIOTECAS



3.2.2.1.4. Tapa Cónica	67
3.2.2.1.5. Tapa Plana	67
3.2.2.2. Por Presión Externa	69
3.2.2.2.1. Tapa Semielíptica	70
3.2.2.2.2. Tapa Toriesférica	71
3.2.2.2.3. Tapa Semiesférica	72
3.2.2.2.4. Tapa Cónica	72
3.2.3. Diseño de Espejos de Tubos	74
3.2.4. Diseño de Tubos	81
3.2.4.1. Por Presión Interna	81
3.2.4.2. Por Presión Externa	82
3.2.5. Diseño de Bridas	84
3.2.5.1. Espesor de la Brida	84
3.2.5.2. Empaque	87
3.2.5.3. Pernos	88
3.2.6. Diseño de Boquillas (Registros)	89
3.2.7. Diseño de Deflectores	90
<hr/>	
4. SOLUCION AL ENSUCIAMIENTO DE TRANSFERENCIA DE CALOR	132
5. CONCLUSIONES - CASO PRACTICO	137
LISTA DE TABLAS	170
LISTA DE FIGURAS	171
6. BIBLIOGRAFIA	175



UNANIL

UNIVERSIDAD AUTÓNOMA DE NUEVO LEÓN

DIRECCIÓN GENERAL DE BIBLIOTECAS



## SINTESIS

Esta tesis la desarrollo en Ing. José Fernando Salazar Valdez, esta formada pos 5 capítulos, en la cual el primer capítulo contiene la descripción de algunos equipos de Transferencia de calor.

En el siguiente capítulo se describen las ecuaciones básicas para el análisis del diseño mecánico por medio de la diferencia media logarítmica de temperaturas y pos el método de efectividad – numero de unidades de transferencia.

Posteriormente se dará el procedimiento a seguir para el diseño mecánico de un intercambiador de calor según las normas ASME y TEMA.

En el capítulo 4 se indica los principales efectos del ensuciamiento, como se clasifican y se plantean los principales tipos de prevención.

Y por ultimo se presenta el caso practico en el cual se aplican todos los conceptos de los capítulos anteriores para el diseño de un intercambiador de calor de carcaza y tubo.

UNIVERSIDAD AUTÓNOMA DE NUEVO LEÓN

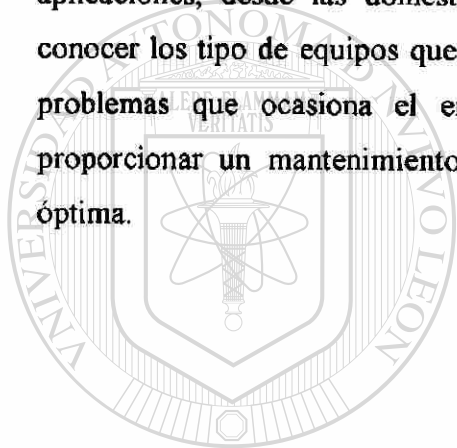
DIRECCIÓN GENERAL DE BIBLIOTECAS



## INTRODUCCIÓN

Los equipos para la transferencia de calor son equipos destinados a transferir calor de un fluido a otro en forma controlada, separados por una pared.

Debido a que los equipos para transferencia de calor tienen un gran número de aplicaciones, desde las domésticas hasta las industriales, resulta de gran importancia conocer los tipos de equipos que existen, los principios de diseño térmico y mecánico, los problemas que ocasiona el ensuciamiento y las reglas que se deben seguir para proporcionar un mantenimiento adecuado a esos equipos y así asegurar su operación óptima.



# UANL

---

UNIVERSIDAD AUTÓNOMA DE NUEVO LEÓN



DIRECCIÓN GENERAL DE BIBLIOTECAS

# CAPÍTULO 1

## INTERCAMBIADORES USADOS EN TRANSFERENCIA DE CALOR

### 1. Equipos de Transferencia de Calor,

Debido a la gran variedad de procesos en el que se utilizan los equipos de transferencia de calor, existen diferentes tipos de equipos que se conocen con éste nombre genérico; la forma de clasificarlos es muy diversa, pero se puede considerar la que lo hace de acuerdo a su tipo de construcción, como se enlista a continuación:

- Intercambiadores de doble tubo
- Intercambiadores de tipo evaporativo
- Intercambiadores de placa
- Intercambiadores de serpentín
- Intercambiadores de espiral
- Intercambiadores enfriados por aire
- Intercambiadores de coraza y tubos
- Intercambiadores de rotatorios

A continuación se hace una breve descripción de cada uno de los equipos enlistados:

### **1.1. Intercambiadores de doble tubo.**

Son los equipos de transferencia de calor más sencillos que existen, y están formados por dos tubos concéntricos, como lo muestra la figura 1.1.

Las características favorables de éste equipo son su bajo costo, su simpleza de construcción y sus necesidades de mínimo mantenimiento. Sus desventajas son las de resultar de gran tamaño y no poder manejar fluidos a altas presiones. Una de sus principales aplicaciones se encuentra en el manejo de sustancias corrosivas.

### **1.2. Intercambiadores de tipo evaporativo.**

Estos equipos pueden usarse como condensadores o enfriadores de gases. El fluido de enfriamiento es agua que se rocía sobre los tubos por los que en el interior circula el fluido a condensar o a enfriar. El calor transmitido produce la evaporación de agua, por lo que necesita de una reposición permanente. El uso de estos equipos se encuentra principalmente en pequeñas plantas de refrigeración. En la figura 1.2 se muestra una descripción esquemática del equipo.

### **1.3. Intercambiadores de placas.**

Están formados por placas de espesores de 0.0635 a 0.127 cm, colocadas paralelamente y montadas en marcos fijos que a la vez actúan como repartidores y separadores de los fluidos manejados. La separación entre placas es del orden de 0.102 a 0.203 cm. En las figuras 1.3 y 1.4 se muestra esquemáticamente éste tipo de equipos.

Entre sus ventajas se pueden citar su facilidad de limpieza y su flexibilidad de modificar su superficie de transmisión de calor. Sus mayores aplicaciones se encuentran en las industrias alimenticias y farmacéuticas.

### **1.4. Intercambiadores de Serpentin.**

Consiste en un serpentín colocado en un recipiente por el que circula agua de enfriamiento (figura 1.5).

Sus principales aplicaciones se hacen en el enfriamiento de gases a alta presión, y cuando se tiene interés en detectar fugas en forma sencilla.

### **1.5. Intercambiadores de espiral.**

Están formados por placas enrolladas que mantienen los fluidos separados (figura 1.6); las placas se colocan en el interior de un recipiente cilíndrico, cerrado con tapas herméticas por ambos lados.

Los fluidos pueden circular de las siguientes formas:

- Ambos fluidos en espiral
- Un fluido en espiral y otro en forma axial
- Un fluido en forma axial y el otro en forma combinada (espiral y axial)

La ventaja de estos equipos es que pueden manejar cualquier tipo de fluido, incluyendo los que contienen sólidos en suspensión. Como desventaja se presenta la dificultad de limpieza. Sus aplicaciones son a presiones moderadas y principalmente en la industria maderera.

### **1.6. Intercambiadores enfriados por aire.**

Están compuestos por un haz de tubos aletados externamente, montados sobre dos cabezales que hacen las funciones de distribuidor y colector de fluido. Otro elemento primordial son los ventiladores que forzan la circulación del aire a través de los tubos aletados. Se conocen dos tipos: de tiro forzado y de tiro inducido.

DIRECCIÓN GENERAL DE BIBLIOTECAS

#### **1.6.1. Intercambiadores enfriados por aire de tiro forzado.**

Se muestra en la figura 1.7, y su característica principal es que los ventiladores se encuentran colocados antes del paso del aire por los tubos.

### **1.6.2. Intercambiadores enfriados por aire de tiro inducido.**

Se muestran en la figura 1.8, y su arreglo característico es que los ventiladores se encuentran colocados después del paso del aire por los tubos.

La ventaja de estos equipos es que pueden usarse en lugares en los que el agua es escasa o su tratamiento químico resulta muy costoso. Como desventaja se puede señalar su alto costo de adquisición.

### **1.7. Intercambiadores de carcaza y tubos.**

Están compuestos por un haz de tubos contenidos en el interior de una carcaza. sus elementos principales son (figura 1.9):

- a) Haz de tubos
- b) Espejos de tubos
- c) Cabezales
- d) Deflectores
- e) Carcaza

Estos equipos tienen la ventaja de ser compactos, y de soportar presiones tan altas o mayores a 400 atm. Sin lugar a dudas es el intercambiador de calor de mayor uso en la industria; los fluidos que pueden manejar son gases o líquidos, incluyendo cambios de fase. También resultan ser los equipos más estudiados y sobre los que existe una normalización como es el TEMA (Tubular Exchanger Manufacturers Association).

### **1.8. Intercambiadores rotatorios.**

La matriz metálica entra en contacto de manera alterada, con las corrientes de gases calientes y fríos, intercambiando calor de esta forma.

Como ventajas de estos equipos se pueden señalar que son muy compactos; a igual superficie de transmisión de calor resultan ser los menos caros, y la dirección alternada de los fluidos evita las incrustaciones.

Como principal desventaja se considera la pequeña mezcla de gases que no es posible evitar.



# UANL

---

UNIVERSIDAD AUTÓNOMA DE NUEVO LEÓN

DIRECCIÓN GENERAL DE BIBLIOTECAS



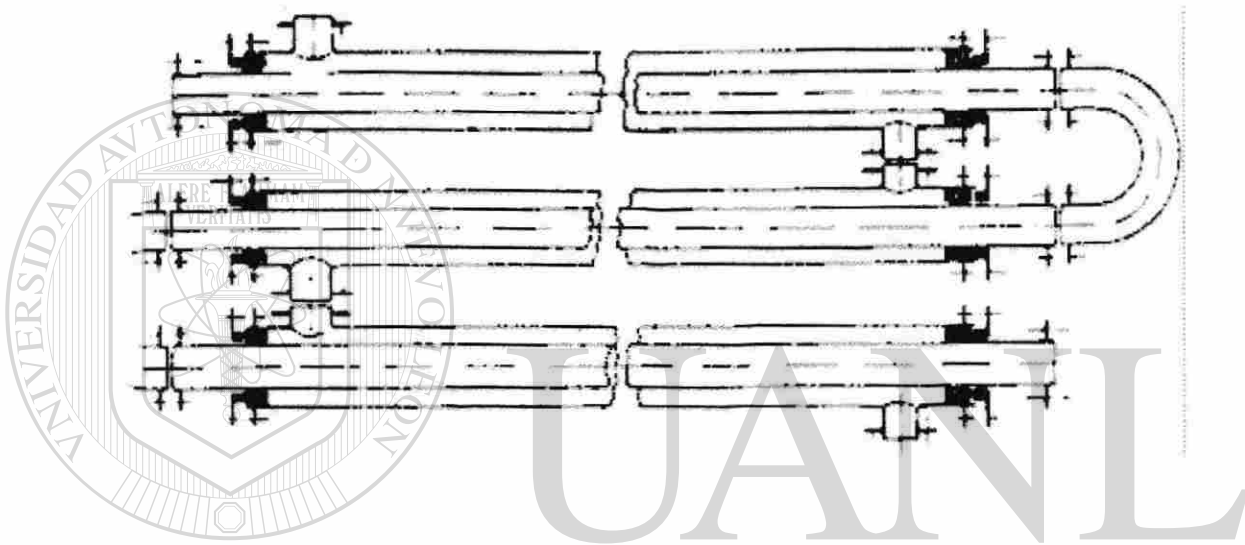


Figura 1.1. Cambiador de calor de doble tubo

UNIVERSIDAD AUTÓNOMA DE NUEVO LEÓN

DIRECCIÓN GENERAL DE BIBLIOTECAS



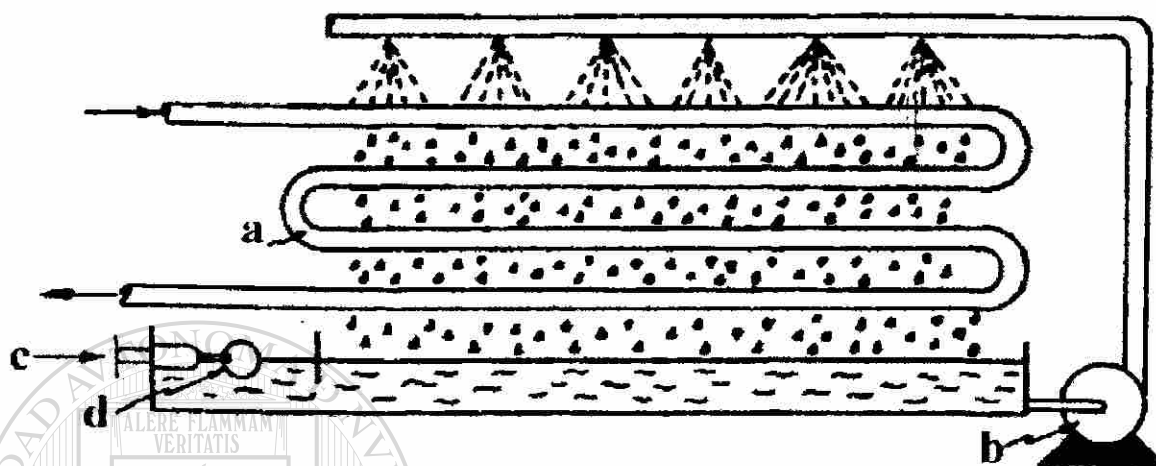


Figura 1.2. Cambiador de calor de tipo evaporativo

- a. Fluido a enfriar
- b. Bomba de circulación
- c. Alimentación de agua
- d. Válvula de flotador

UNIVERSIDAD AUTÓNOMA DE NUEVO LEÓN

DIRECCIÓN GENERAL DE BIBLIOTECAS

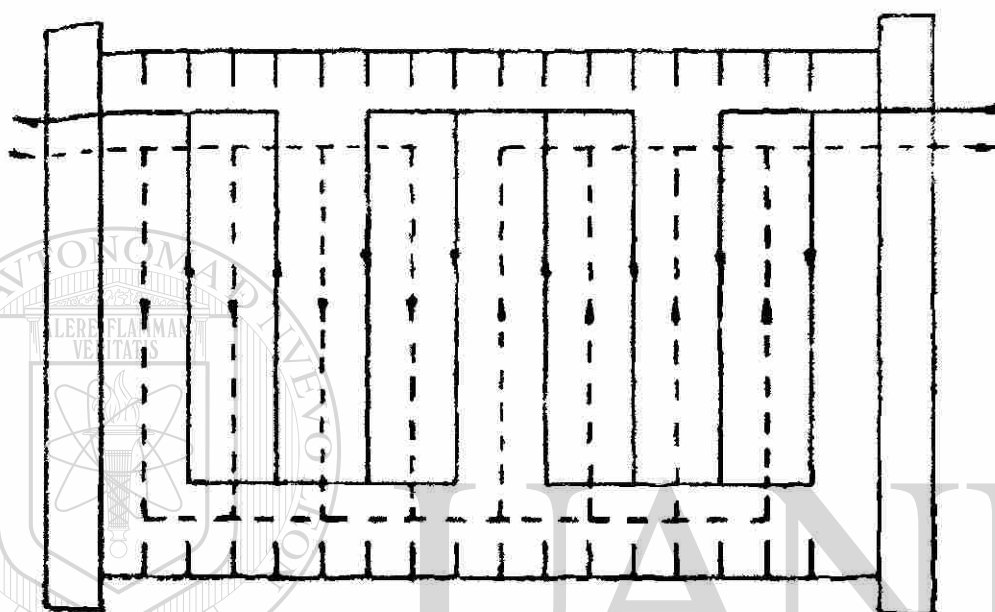


Figura 1.3. Diagrama de un cambiador de placas

UNIVERSIDAD AUTÓNOMA DE NUEVO LEÓN

DIRECCIÓN GENERAL DE BIBLIOTECAS

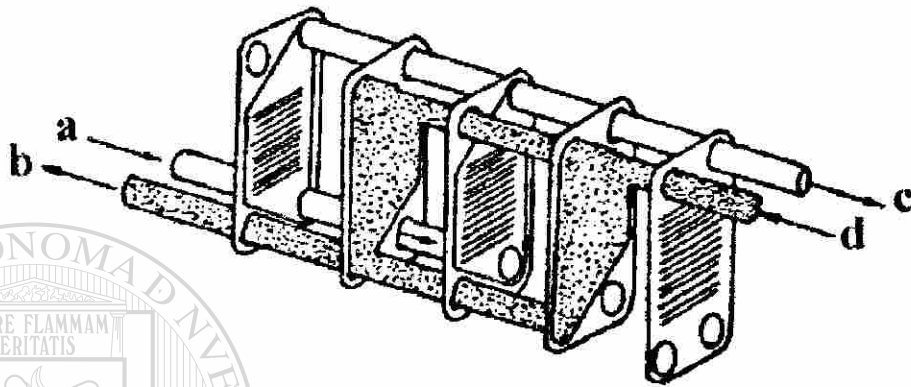
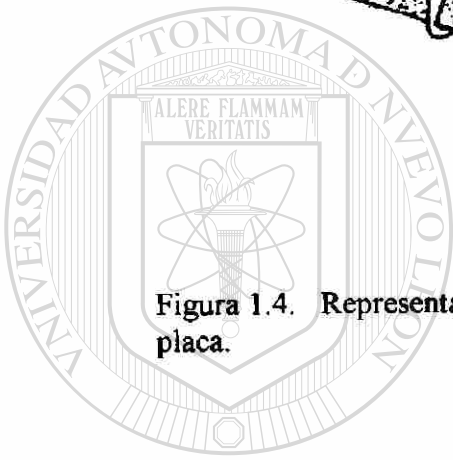


Figura 1.4. Representación esquemática de un intercambiador de calor tipo placa.



UANL

UNIVERSIDAD AUTÓNOMA DE NUEVO LEÓN

DIRECCIÓN GENERAL DE BIBLIOTECAS

®

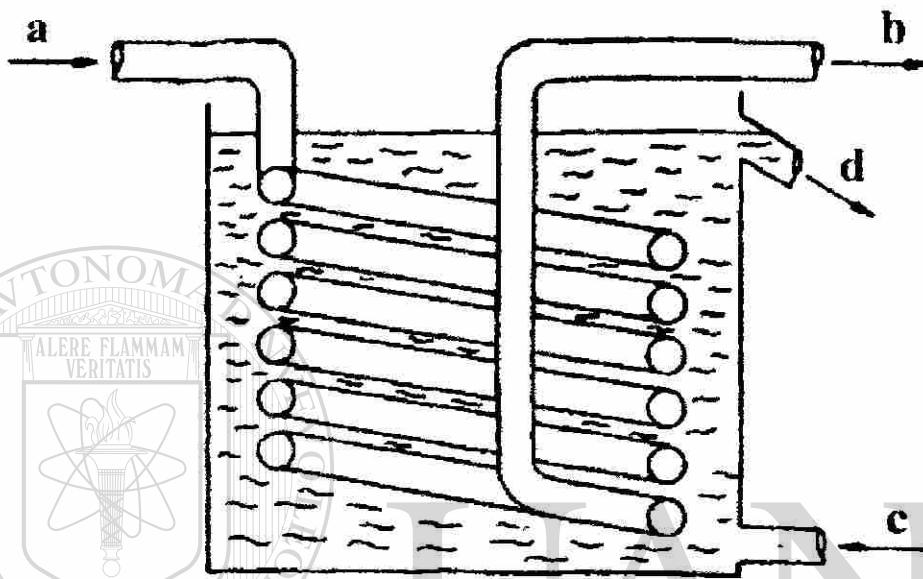


Figura 1.5. Cambiador de calor de serpiente

- a. Entrada de gas
- b. Salida de gas
- c. Entrada de agua
- d. Salida de agua

UNIVERSIDAD AUTÓNOMA DE NUEVO LEÓN

DIRECCIÓN GENERAL DE BIBLIOTECAS

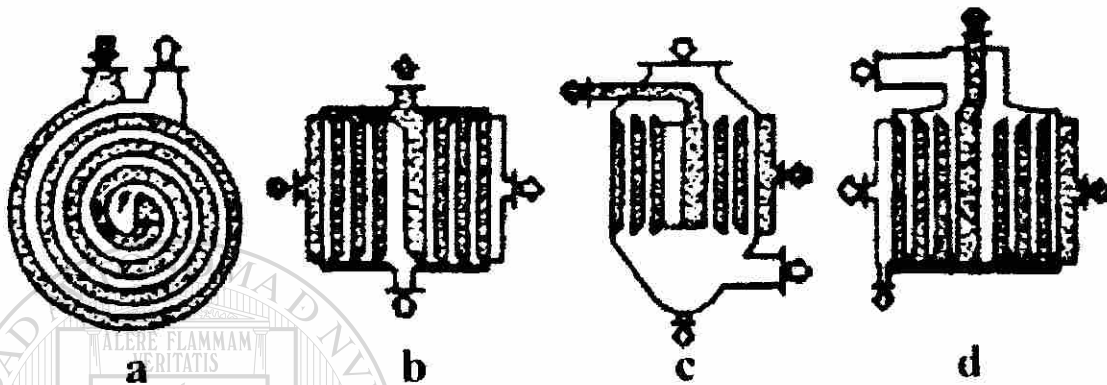
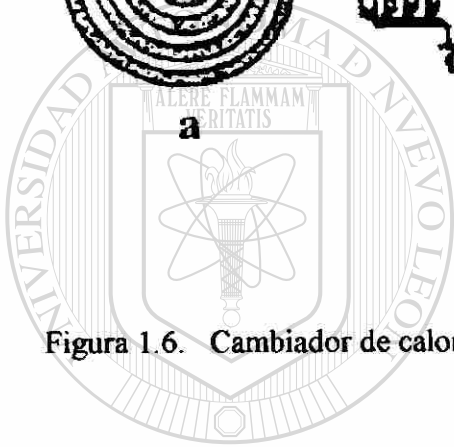


Figura 1.6. Cambiador de calor de espiral



UANL

UNIVERSIDAD AUTÓNOMA DE NUEVO LEÓN

DIRECCIÓN GENERAL DE BIBLIOTECAS



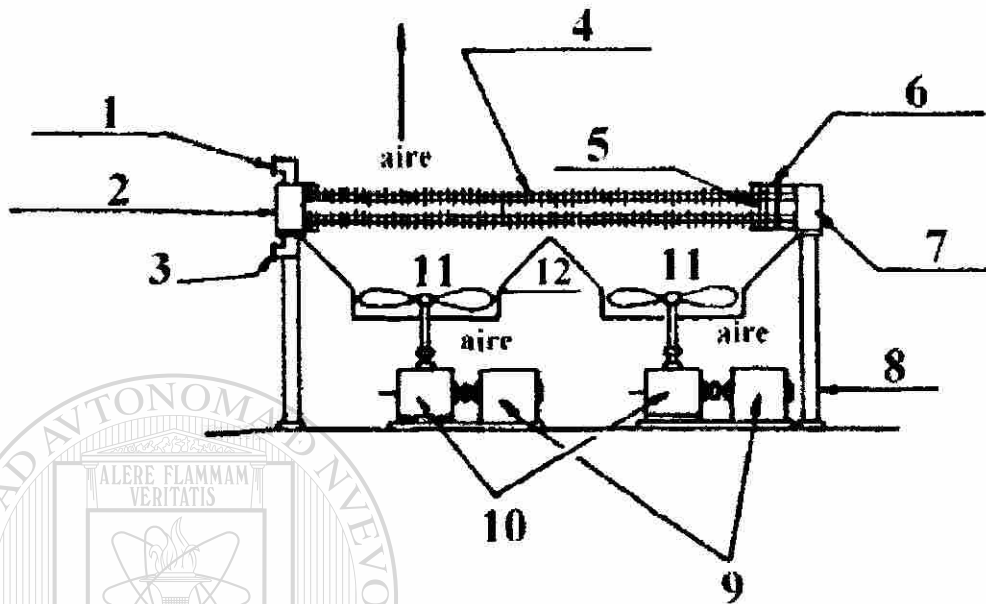


Figura 1.7. Cambiador de calor enfriado por aire de tiro forzado

- |                               |                           |
|-------------------------------|---------------------------|
| 1. Entrada de fluido caliente | 7. Cabezal flotante       |
| 2. Cabezal fijo               | 8. Soporte                |
| 3. Salida de fluido caliente  | 9. Motor                  |
| 4. Tubos aletados             | 10. Reductor de velocidad |
| 5. Soporte de tubos           | 11. Ventilador            |
| 6. Soporte de canales         | 12. Tiro                  |

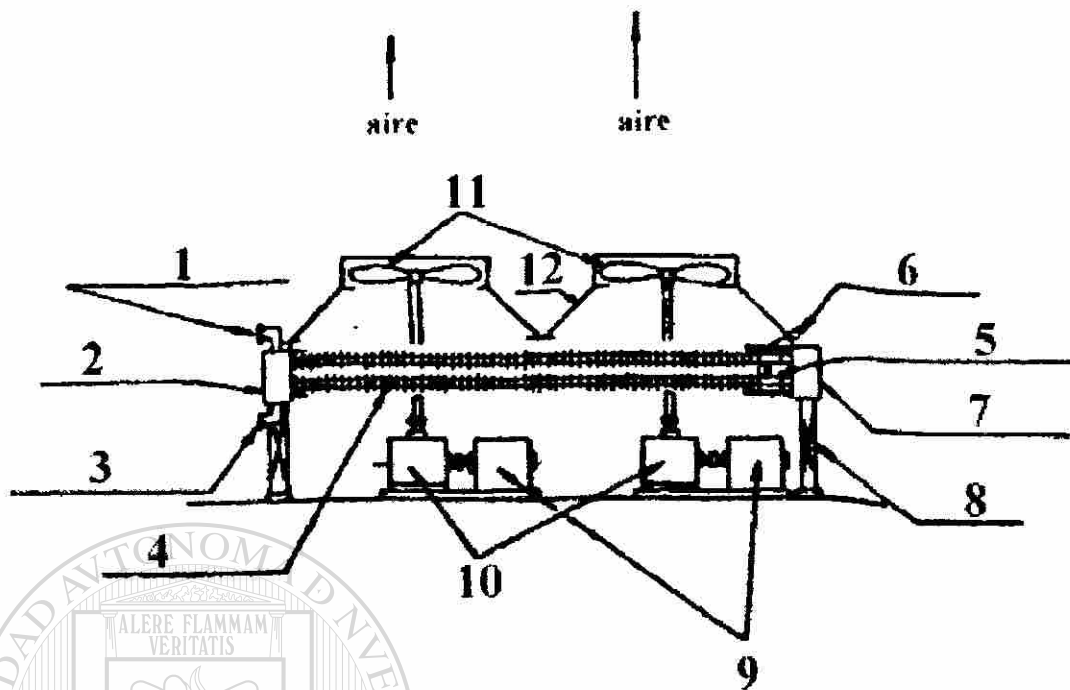


Figura 1.8. Intercambiador de calor enfriado por aire de tiro inducido

- |                               |                           |
|-------------------------------|---------------------------|
| 1. Entrada de fluido caliente | 7. Cabezal flotante       |
| 2. Cabezal fijo               | 8. Soporte                |
| 3. Salida de fluido caliente  | 9. Motor                  |
| 4. Tubos aletados             | 10. Reductor de velocidad |
| 5. Soporte de tubos           | 11. Ventilador            |
| 6. Soporte de canales         | 12. Tiro                  |

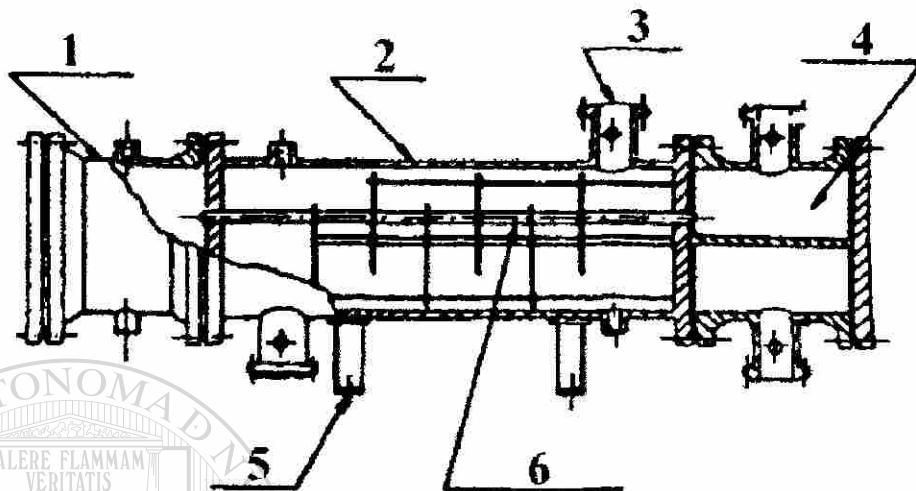


Figura 1.9. Intercambiador de calor de carcasa y tubos tipo MEM

- |                       |                       |
|-----------------------|-----------------------|
| 1. Cabezal de retorno | 4. Cabezal de entrada |
| 2. Carcasa            | 5. Soporte            |
| 3. Boquilla           | 6. Haz de tubos       |

UNIVERSIDAD AUTÓNOMA DE NUEVO LEÓN

DIRECCIÓN GENERAL DE BIBLIOTECAS





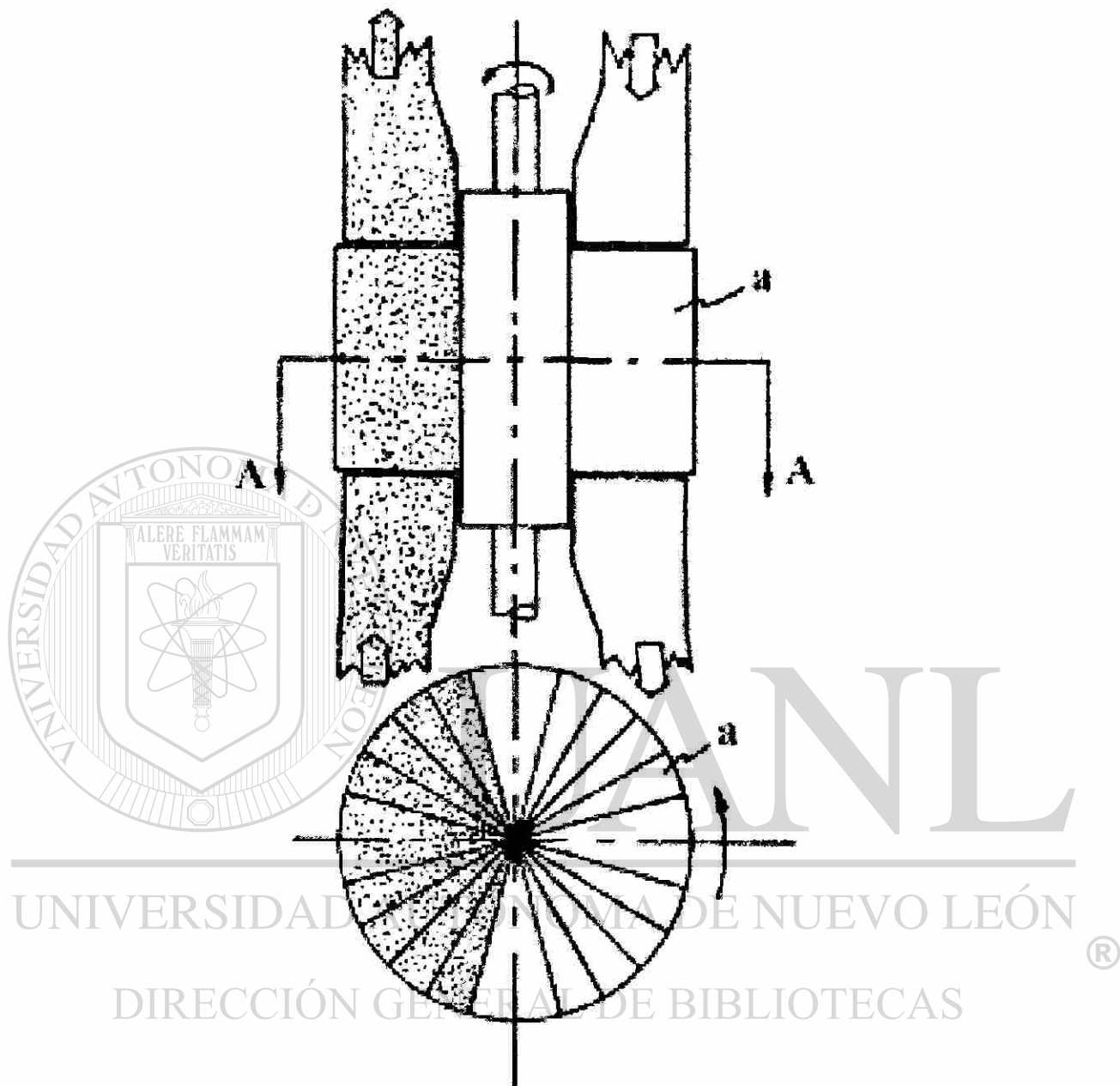
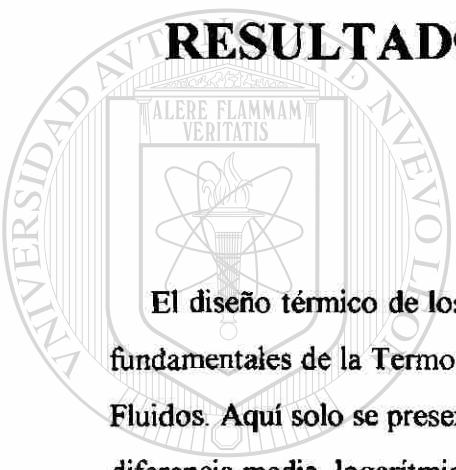


Figura 1.10. Cambiador de calor rotatorio Ljungstrom

## CAPÍTULO 2

### RESULTADOS DE UN DISEÑO TÉRMICO



El diseño térmico de los equipos de transferencia de calor hace uso de los principios fundamentales de la Termodinámica, de la Transferencia de calor y de la Mecánica de los Fluidos. Aquí solo se presentan los principales resultados, de acuerdo a los Métodos de la diferencia media logarítmica de temperaturas y el de efectividad - NUT.

UNIVERSIDAD AUTÓNOMA DE NUEVO LEÓN

#### 2.1. Ecuación Básica.

El flujo térmico de calor transferido de un fluido a otro a través de la superficie de transferencia de calor es :

$$\dot{Q} = AU\Delta T_m \quad (2.1)$$

Siendo:

$\dot{Q}$  : Flujo térmico transferido [W] o [Btu/h]

A : Superficie de transferencia de calor [m<sup>2</sup>] o [pie<sup>2</sup>]

U : Coeficiente global de transferencia de calor [W/m<sup>2</sup>-°F] o [Btu/h-pie<sup>2</sup>F]

$\Delta T_m$  : Diferencia media logarítmica de temperatura entre los fluidos [°C] o [°F]

## 2.2. Flujo Térmico Transferido.

Se refiere al flujo térmico cedido por el fluido caliente y ganado por el fluido frío. El cálculo correspondiente se hace con las siguientes ecuaciones:

$$\dot{Q} = \dot{M} C (T_1 - T_2) \quad (2.2)$$

$$\dot{Q} = \dot{m} c (t_1 - t_2) \quad (2.3)$$

La ecuación (2.2) se refiere al flujo térmico cedido por el fluido caliente, y la ecuación (2.3) se refiere al flujo térmico ganado por el fluido frío. El significado de las literales en esas ecuaciones es el siguiente:

$\dot{M}$  : Gasto másico de fluido caliente [kg/s] o [lb/h]

$\dot{m}$  : Gasto másico del fluido frío [kg/s] o [lb/h]

C : Calor específico del fluido caliente [kJ/kg-°C] o [ Btu/lb-°F]

c : Calor específico del fluido frío [kJ/kg-°C] o [ Btu/lb-°F]

T<sub>1</sub> : Temperatura de entrada del fluido caliente [°C] o [°F]

t<sub>1</sub> : Temperatura de entrada del fluido frío [°C] o [°F]

T<sub>2</sub> : Temperatura de salida del fluido caliente [°C] o [°F]

t<sub>2</sub> : Temperatura de salida del fluido frío [°C] o [°F]

### 2.3. Superficie de Transferencia de Calor.

Por medio de la ecuación (2.1) se obtiene la superficie de transferencia de calor necesaria para transferir el flujo térmico  $\dot{Q}$ . El diseño térmico tiene como objetivo primordial el de calcular el área de esa superficie.

$$A = \dot{Q} / U \Delta T_m \quad (2.4)$$

### 2.4. Coeficiente Global de Transferencia de Calor.

Este coeficiente es complicado de calcular porque deben tomarse en cuenta los mecanismos de convección de cada lado de la pared, así como las condiciones de ensuciamiento y las propiedades de conductividad térmica de los materiales que se usan como superficie de transmisión de calor, como se ilustra en la figura 2.1.

Haciendo referencia al lado del fluido caliente, el coeficiente global de transferencia de calor está dado por la ecuación:

$$U_1 = \frac{1}{\left[ \frac{1}{\eta_1 h_1} + Re_1 + \frac{l}{k} \frac{A_1}{Am} + \left( Re_2 + \frac{1}{\eta_2 h_2} \right) \frac{A_1}{A_2} \right]} \quad (2.5)$$

Los diferentes términos que aparecen en la ecuación (2.5) son:

$h_1$  : Coeficiente de convección del lado caliente [W/m<sup>2</sup>-°C] o [Btu/h-pie<sup>2</sup>-°F]

$h_2$  : Coeficiente de convección del lado frío [W/m<sup>2</sup>-°C] o [Btu/h-pie<sup>2</sup>-°F]

$Re_1$  : Resistencia de ensuciamiento del lado caliente [m<sup>2</sup>-°C/W] o [h-pie<sup>2</sup>-°F/Btu]

$Re_2$  : Resistencia de ensuciamiento del lado frío [m<sup>2</sup>-°C/W] o [h-pie<sup>2</sup>-°F/Btu]

$k$  : Conductividad térmica de la pared [W/m-°C] o [Btu/h-pie-°F]

$A_1$  : Superficie de transferencia de calor del lado caliente [m<sup>2</sup>] o [pie<sup>2</sup>]

$A_2$  : Superficie de transferencia de calor del lado frío [m<sup>2</sup>] o [pie<sup>2</sup>]

$A_m$  : Superficie de transferencia de calor media [m<sup>2</sup>] o [pie<sup>2</sup>]

$\eta_1$  : Eficiencia de aletas (si las hay) del lado caliente

$\eta_2$  : Eficiencia de aletas (si las hay) del lado frío

$l$  : Espesor de la pared

Para superficies sin aletas:

$$A_m \cong \frac{1}{2}(A_1 + A_2) \quad (2.6)$$

Para superficies aletadas:

$$A_m \cong \frac{1}{2}(\eta_1 A_1 + \eta_2 A_2) \quad (2.7)$$

Cuando no se dispone de elementos suficientes para calcular el coeficiente global de transferencia de calor de acuerdo con la ecuación (2.5), se pueden tomar en primera aproximación, valores típicos para diferentes aplicaciones, como se muestra en la tabla 2.1.

## 2.5. Diferencia Media logarítmica de Temperatura entre los Fluidos.

La diferencia media logarítmica de temperatura  $\Delta T_m$  que se requiere para hacer uso de las ecuaciones (2.1) o (2.4), corresponde a la diferencia equivalente promedio de temperaturas entre los fluidos dentro de los equipos de transferencia de calor.

La circulación de un fluido con respecto a otro puede ser muy variada, pero siempre resultará como una combinación de tres casos típicos:

- a. Flujos en corrientes paralelas del mismo sentido
- b. Flujos en corrientes paralelas en sentido contrario (cortacorriente)
- c. Flujos en corrientes cruzadas

A continuación se presentan los valores de la diferencia media de temperatura para cada uno de los casos anteriores.

### 2.5.1. Flujos paralelos del mismo sentido.

El diagrama correspondiente a ésta situación se muestra en la figura 2.2.

La diferencia media de temperaturas corresponde a la diferencia media logarítmica del mismo sentido:

$$\Delta Tm_s = \frac{(T_1 - t_1) - (T_2 - t_2)}{\ln \frac{(T_1 - t_1)}{(T_2 - t_2)}} \quad (2.8)$$

### 2.5.2. Flujos en corrientes paralelas en contracorriente.

La distribución de temperaturas corresponde a la diferencia media logarítmica en contracorriente:

$$\Delta Tm_{\infty} = \frac{(T_1 - t_2) - (T_2 - t_1)}{\ln \frac{(T_1 - t_2)}{(T_2 - t_1)}} \quad (2.9)$$

### 2.5.3. Flujos en corrientes sujetos cruzadas.

En la figura 2.4 se muestra la distribución de temperaturas para éste caso.

La diferencia media logarítmica de temperaturas correspondiente está dada por la

ecuación:

$$\Delta Tm_{fc} = \omega(T_1 - t_1)$$

(2.10)

siendo  $w = f(x, \psi)$

$$x = \frac{T_1 - T_2}{T_1 - t_1}$$

$$\psi = \frac{t_2 - t_1}{T_1 - t_1}$$

UNIVERSIDAD AUTÓNOMA DE NUEVO LEÓN

y  $w$  se obtiene de la tabla 2.2.

DIRECCIÓN GENERAL DE BIBLIOTECAS

### 2.5.4. Flujos Combinados

Generalmente, los flujos en equipos de transferencia de calor son más complicados a los señalados anteriormente, y por la misma razón, el cálculo de la diferencia media logarítmica de temperaturas resulta muy complicada. El procedimiento que se sigue para su cálculo es usar la diferencia media logarítmica del caso de contracorriente y aplicarle un factor de corrección  $F$ , que depende del tipo de equipo.

En las figuras 2.5 a la 2.10 se presentan algunas gráficas típicas que permiten el cálculo de  $F$  para los tipos de Intercambiadores de calor de coraza y tubos que se muestran.

Así :

$$\Delta Tm = F \Delta Tm_{cc} \quad (2.11)$$

En los casos mostrados, la nomenclatura de las temperaturas es la siguiente:

$T_1$  : Temperatura de entrada del fluido a la carcaza

$t_1$  : Temperatura de entrada del fluido de los tubos

$T_2$  : Temperatura de salida del fluido de la carcaza

$t_2$  : Temperatura de salida del fluido de los tubos

$F$  : Está en función de los parámetros  $P$  y  $R$  que se conocen como eficiencia térmica y capacidad calorífica respectivamente, expresándose de la siguiente forma:

$$P = \frac{t_2 - t_1}{T_1 - t_1} \quad (2.12)$$

$$R = \frac{T_1 - T_2}{t_2 - t_1} \quad (2.13)$$

El cálculo de  $\Delta Tm_{cc}$  se hace partiendo de considerar que el equipo funciona en contracorriente pura.



## 2.6. Método Efectividad - Número de Unidades de Transferencia.

El método de análisis térmico justamente descrito, y a menudo conocido simplemente como el método de la diferencia media logarítmica de temperaturas, es sumamente útil cuando todas las temperaturas de los fluidos en las entradas y en las salidas del intercambiador de calor conocidas, o cuando pueden fácilmente calcularse mediante balances de energía. En estas circunstancias la diferencia media logarítmica de temperaturas puede evaluarse sin ninguna dificultad, pudiéndose así determinar fácilmente el área de transferencia de calor requerida, o el flujo de calor transferido, o el coeficiente total de transferencia de calor.

Sin embargo, en algunas circunstancias las temperaturas de los fluidos en las salidas constituyen en sí las incógnitas en un intercambiador de calor dado, por lo que el análisis térmico mediante la diferencia media logarítmica de temperaturas es de naturaleza iterativa y requiere tanteos. En estos casos es más conveniente emplear un método de análisis térmico basado en la efectividad que tiene un intercambiador de calor dado para transferir energía. Este método se conoce como el método efectividad-número de unidades de transferencia (NUT), el cual se describirá a continuación.

Para este fin definase la efectividad de un intercambiador de calor como:

Efectividad =  $\frac{\text{Flujo real de calor transferido}}{\text{Máximo flujo de calor que podría transferirse}}$ .

$$\varepsilon = \frac{q}{q_{max}} \quad (2.14)$$

El flujo real de calor transferido en el intercambiador puede calcularse fácilmente mediante balances de energía en los fluidos caliente y frío. Así, para un intercambiador de calor con flujos en paralelo:

$$q = C_c(T_{c1} - T_{c2}) = C_f(T_{f2} - T_{f1}) \quad (2.15)$$

Análogamente, para el de flujos opuestos:

$$q = C_c(T_{c1} - T_{c2}) = C_f(T_{f1} - T_{f2}) \quad (2.16)$$

Con el objeto de determinar el máximo flujo de calor que podría transferirse, considere el intercambiador de calor de flujos opuestos cuyos perfiles de temperatura se muestran en el esquema de la Figura 2.11, y en el que la producción de entropía puede hacerse mínima. Una inspección de la figura citada revela que el máximo flujo de calor podría transferirse si uno de los dos fluidos, el caliente o el frío, sufriera un cambio de temperatura igual a la máxima diferencia de temperatura existente en el intercambiador de calor. esta diferencia máxima corresponde justamente a la diferencia de temperaturas sería aquel que tuviera la capacidad calorífica  $C$  mínima entre los dos. Este valor debe ser el mínimo, puesto que un balance de energía requiere que el flujo de calor cedido por uno de los fluidos debe ser absorbido por el otro. Por consiguiente, el máximo flujo de calor que podría transferirse en un intercambiador está dado por la expresión,

$$q_{max} = C_{min}(T_{c,ent} - T_{f,ent}) \quad (2.17)$$

Así, para un intercambiador de calor con flujos en paralelo en el que el fluido caliente o frío tiene la capacidad calorífica mínima,

$$\varepsilon_c = \frac{C_c(T_{c1} - T_{c2})}{C_c(T_{c1} - T_{f1})} = \frac{T_{c1} - T_{c2}}{T_{c1} - T_{f1}}, \quad C_c = C_{min} \quad (2.18)$$

$$\varepsilon_f = \frac{C_f(T_{f1} - T_{f2})}{C_f(T_{f1} - T_{c1})} = \frac{T_{f1} - T_{f2}}{T_{f1} - T_{c1}}, \quad C_f = C_{min} \quad (2.19)$$

En forma semejante, para un intercambiador de calor con flujos opuestos en que el fluido caliente o frío tiene la capacidad calorífica mínima,

$$\varepsilon_c = \frac{C_c(T_{c1} - T_{c2})}{C_c(T_{c1} - T_{f2})} = \frac{T_{c1} - T_{c2}}{T_{c1} - T_{f2}}, \quad C_c = C_{min} \quad (2.20)$$

$$\varepsilon_f = \frac{C_f(T_{f1} - T_{f2})}{C_f(T_{f1} - T_{c2})} = \frac{T_{f1} - T_{f2}}{T_{f1} - T_{c2}}, \quad C_f = C_{min} \quad (2.21)$$

Nótese que las efectividades  $\varepsilon_c$  y  $\varepsilon_f$  están relacionadas entre sí a través del cociente de capacidades caloríficas  $C^* = C_{min}/C_{max}$ . Por otra parte, la efectividad de temperaturas,

sino una efectividad de temperaturas, sino una efectividad para transferir calor. Este parámetro depende del tamaño del intercambiador de calor o su área de transferencia, de

la resistencia térmica entre ambos fluidos y de las capacidades caloríficas de los mismos.

Estas variables pueden agruparse en forma adimensional a través del número de unidades de transferencia de calor en el intercambiador. Esto es,

$$NUT = \frac{UA}{C_{min}} \quad (2.22)$$

A la luz de las variables anteriores es ahora conveniente establecer una relación entre la efectividad  $\varepsilon$ , el número de unidades de transferencia  $NUT$  y el cociente de capacidades caloríficas  $C^*$ . Una ventaja de una corrección de este tipo se evidenciaría en el hecho de

que, para una geometría dada de intercambiador de calor en la que se conocieran los flujos de masa de cada uno de los fluidos y sus correspondientes capacidades caloríficas, su área y el coeficiente total de transferencia de calor, las temperaturas de los fluidos a la descarga de éste podrían obtenerse fácilmente conociendo solamente las de entrada, sin tener que recurrir a ningún proceso tedioso de tanteos.

Tomando como ilustración a un intercambiador de calor de flujos en paralelo en el que arbitrariamente  $C_c = C_{min}$  - suposición que no tiene ninguna trascendencia en la generalización de los resultados -, la ecuación puede reescribirse como:

$$\ln \frac{T_{c2} - T_{f2}}{T_{c1} - T_{f1}} = NUT(1 + C^*)$$

ó,

$$\frac{T_{c2} - T_{f2}}{T_{c1} - T_{f1}} = e^{-NUT(1 + C^*)} \quad (2.23)$$

Por otra parte combinando las ecuaciones 2.15 y 2.18 se obtiene que,

$$\frac{T_{c2} - T_{f2}}{T_{c1} - T_{f1}} = 1 - \varepsilon(1 + C^*) \quad (2.24)$$

Sustituyendo esta última expresión en la Ecuación 2.23 se obtiene que, para un intercambiador de calor con flujos en paralelo,

$$\varepsilon = \frac{1 - e^{-NUT(1 + C^*)}}{1 + C^*} \quad (2.25)$$

La figura 2.11 muestra la Ecuación 2.25 en forma gráfica. En el caso en que  $C^* = 0$ , el cual corresponde físicamente a un condensador o un evaporador, el valor asintótico de la

efectividad máxima es igual a 100%. En estas circunstancias la Ecuación 2.25 se reduce a:

$$\varepsilon = 1 - e^{-NUT} \quad , \quad C^* = 0 \quad (2.26)$$

Por otra parte, en el caso en que ambos fluidos tengan la misma capacidad calorífica, es decir,  $C^*=1$ , la efectividad máxima del intercambiador de calor tiene como límite máximo un valor de 50%. En este caso la Ecuación 2.25 se reduce a:

$$\varepsilon = \frac{1 - e^{-2NUT}}{2} \quad , \quad C^* = 1 \quad (2.27)$$

Mediante un análisis similar al descrito anteriormente puede mostrarse que, para un intercambiador de calor con flujos opuestos,

$$\varepsilon = \frac{1 - e^{-NUT(1-C^*)}}{1 - C^* e^{-NUT(1-C^*)}} \quad (2.28)$$

La figura 2.12 muestra en forma gráfica a la Ecuación 2.28. Nótese que para todos los valores del cociente  $C^*$  la efectividad tiende a la unidad (o 100%) cuando el número de unidades de transferencia es grande. Esta es una consecuencia directa, por supuesto, de la definición de la efectividad. En caso en que  $C^*=0$  la ecuación 2.28 se reduce a:

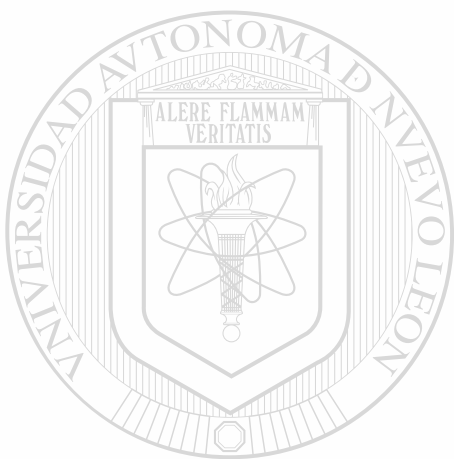
$$\varepsilon = 1 - e^{-NUT} \quad , \quad C^* = 0 \quad (2.29)$$

Análogamente, cuando  $C^*=1$  la Ecuación 2.28 se simplifica a:

$$\varepsilon = \frac{NUT}{1 + NUT} \quad , \quad C^* = 1 \quad (2.30)$$

Obsérvese que, como era de esperarse, las ecuaciones 2.26 y 2.30 son idénticas.

Expresiones similares a las Ecuaciones 2.25 y 2.28 pueden desarrollarse para otras geometrías de intercambiadores de calor. Las figuras 2.11 a la 2.16 muestran ejemplos típicos de la variación de la efectividad como función del número de unidades de capacidades caloríficas, en distintos intercambiadores de calor.



# UANL

---

UNIVERSIDAD AUTÓNOMA DE NUEVO LEÓN



DIRECCIÓN GENERAL DE BIBLIOTECAS

**Tabla 2.1. Valores aproximados de coeficiente global de transmisión de calor.**

<b>ENFRIADORES</b>		
<b>FLUIDO CALIENTE</b>	<b>FLUIDO FRÍO</b>	<b>U: TOTAL*</b>
Agua	Agua	1220-2440 (250-500) <sup>4</sup>
Metanol	Agua	1220-2440 (250-500) <sup>4</sup>
Amoniaco	Agua	1220-2440 (250-500) <sup>4</sup>
Soluciones acuosas	Agua	1220-2440 (250-500) <sup>4</sup>
Sustancias orgánicas ligeras	Agua	366-732 (75-150)
Sustancias orgánicas medias	Agua	244-610 (50-125)
Sustancias orgánicas pesadas	Agua	24-366 (5-75)
Gases	Agua	10-244 (2-50)
Agua	Salmuera	488-976 (100-200)
Sustancias orgánicas ligeras	Salmuera	196-488 (40-100)
<b>CALENTADORES</b>		
Vapor de Agua	Agua	976-3416 (200-700) <sup>4</sup>
Vapor de Agua	Metanol	976-3416 (200-700) <sup>4</sup>
Vapor de Agua	Amoniaco	976-3416 (200-700) <sup>4</sup>
Vapor de Agua	Soluciones acuosas:	
	Menos 2.0 cp	976-3416 (200-700)
	Más de 2.0 cp	488-2440 (100-500) <sup>4</sup>
Vapor de Agua	Sustancias orgánicas ligeras	244-488 (50-100)
Vapor de Agua	Sustancias orgánicas medias	488-976 (100-200)
Vapor de Agua	Sustancias orgánicas pesadas	30-300 (6-60)
Vapor de Agua	Gases	24-244 (5-50) <sup>6</sup>

**Tabla 2.1. (Continuación)**

INTERCAMBIADORES		
FLUIDO CALIENTE	FLUIDO FRÍO	$U_1$ : TOTAL *
Agua	Agua	1220-2440 (250-500) <sup>4</sup>
Soluciones acuosas	Soluciones acuosas	1220-2440 (250-500) <sup>4</sup>
Sustancias orgánicas ligeras	Sustancias orgánicas ligeras	195-366 (40-73)
Sustancias orgánicas medias	Sustancias orgánicas medias	97-300 (20-60)
Sustancias orgánicas pesadas	Sustancias orgánicas pesadas	48-195 (10-40)
Sustancias orgánicas pesadas	Sustancias orgánicas ligeras	146-300 (30-60)
Sustancias orgánicas ligeras	Sustancias orgánicas pesadas	48-195 (10-40)

Notas:

\*  $\text{Kcal/hr-m}^2\text{-}^\circ\text{C}$  ( $\text{BTU/hr pies}^2\text{-}^\circ\text{F}$ )

Nota: Para obtener  $U_1$  en ( $\text{W/m}^2\text{-K}$ ) multiplicar  $\text{kcal/h-m}^2\text{-}^\circ\text{C}$  por 1.163.

1. Las sustancias orgánicas ligeras son fluidos con viscosidades menores de 0.5 cp e incluyen: benceno, tolueno, acetona, etanol, metil-etil-cetona, gasolina, kerosén y nafta.
2. Las sustancias orgánicas medias tienen viscosidades de 0.5 a 1.0 cp e incluyen: kerosena, strawoil, gasoil caliente, aceite de absorbedor caliente y algunos crudos.
3. Sustancias orgánicas pesadas tienen viscosidades mayores de 1.0 cp e incluyen: gasoil frío, aceites lubricantes, petróleo combustible.
4. Factores de obstrucción 0.001.
5. Caída de presión de 1.472 a 2.018  $\text{kg/cm}^2$  (20 a 30  $\text{lbs/plg}^2$ ).
6. Estos valores están influenciados grandemente por la presión de operación.



**Tabla 2.2. Valores para  $1000 \omega$  en función de  $\chi$  y  $\Psi$** 

$\chi \backslash \Psi$	0.0	0.1	0.2	0.3	0.4	0.5	0.6	0.7	0.8	0.9	1.0
0.0	1000	947	893	836	781	721	657	586	502	386	0
0.1	947	893	840	786	729	670	605	533	448	336	0
0.2	893	840	786	734	677	617	552	480	398	292	0
0.3	836	786	734	682	625	565	502	430	348	247	0
0.4	781	729	677	625	569	513	449	378	300	206	0
0.5	721	670	617	565	513	456	394	326	251	167	0
0.6	657	605	552	502	449	394	334	271	201	128	0
0.7	586	533	480	430	378	326	271	213	151	89	0
0.8	502	446	398	348	300	251	201	151	100	52	0
0.9	388	336	292	247	206	167	128	80	52	22	0
1.0	0	0	0	0	0	0	0	0	0	0	0

UNIVERSIDAD AUTÓNOMA DE NUEVO LEÓN

DIRECCIÓN GENERAL DE BIBLIOTECAS



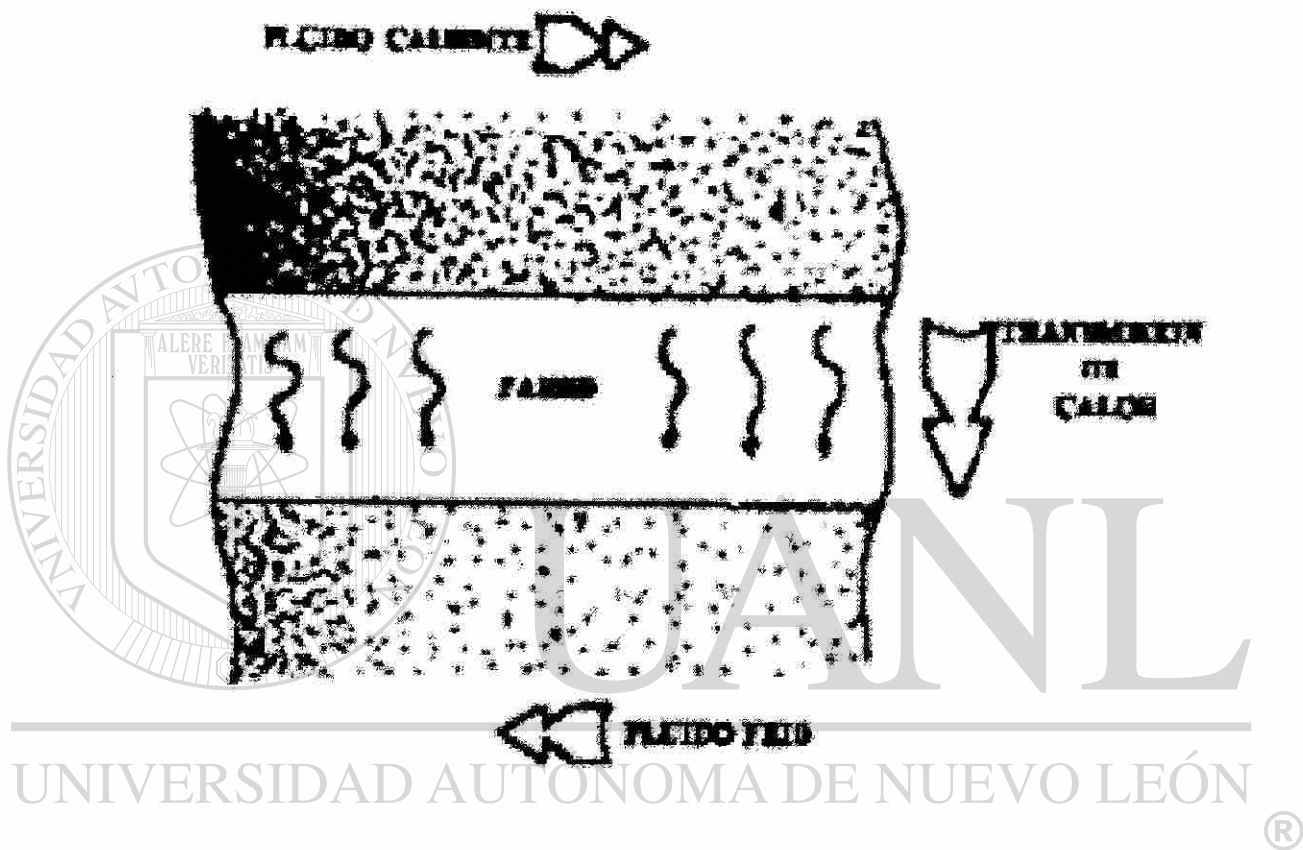


Figura 2.1. Transmisión de calor a través de una pared.

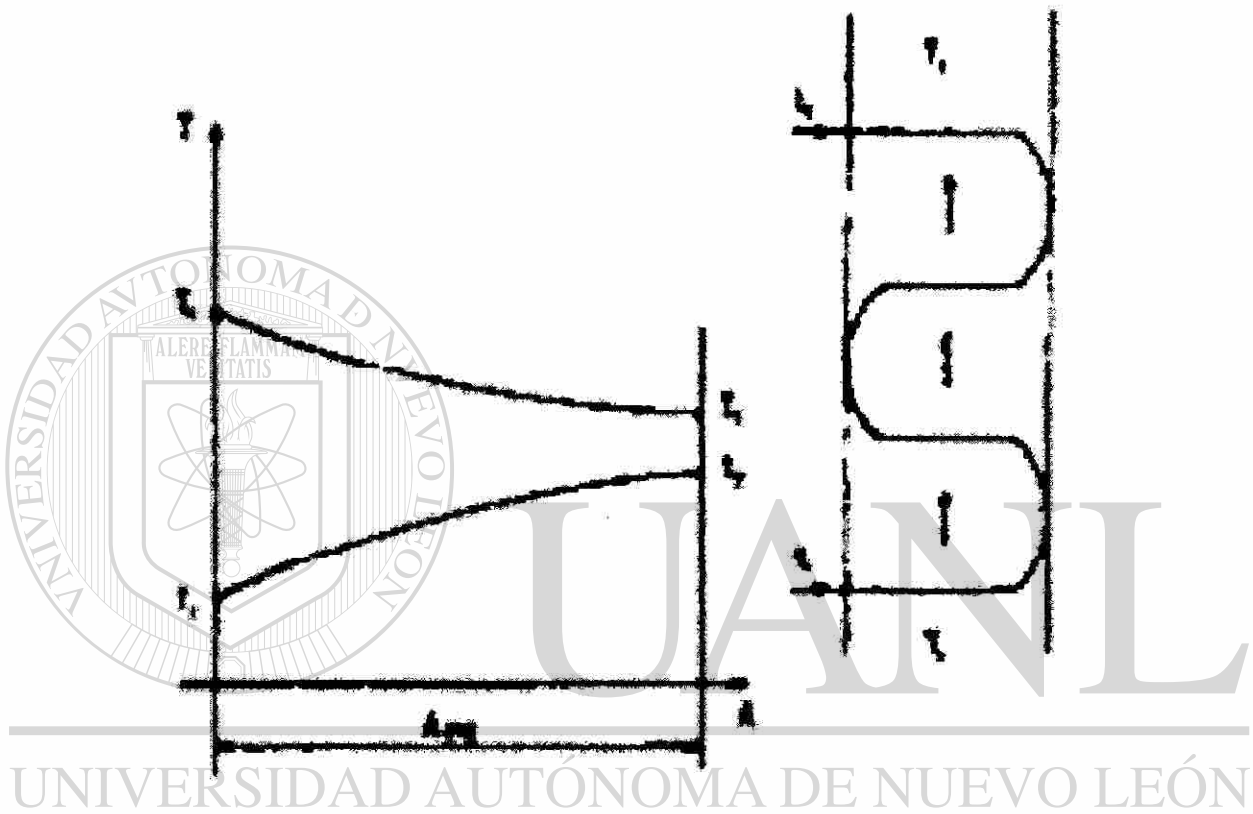


Figura 2.2. Diagrama de la distribución de temperaturas en flujos de paralelos del mismo sentido.

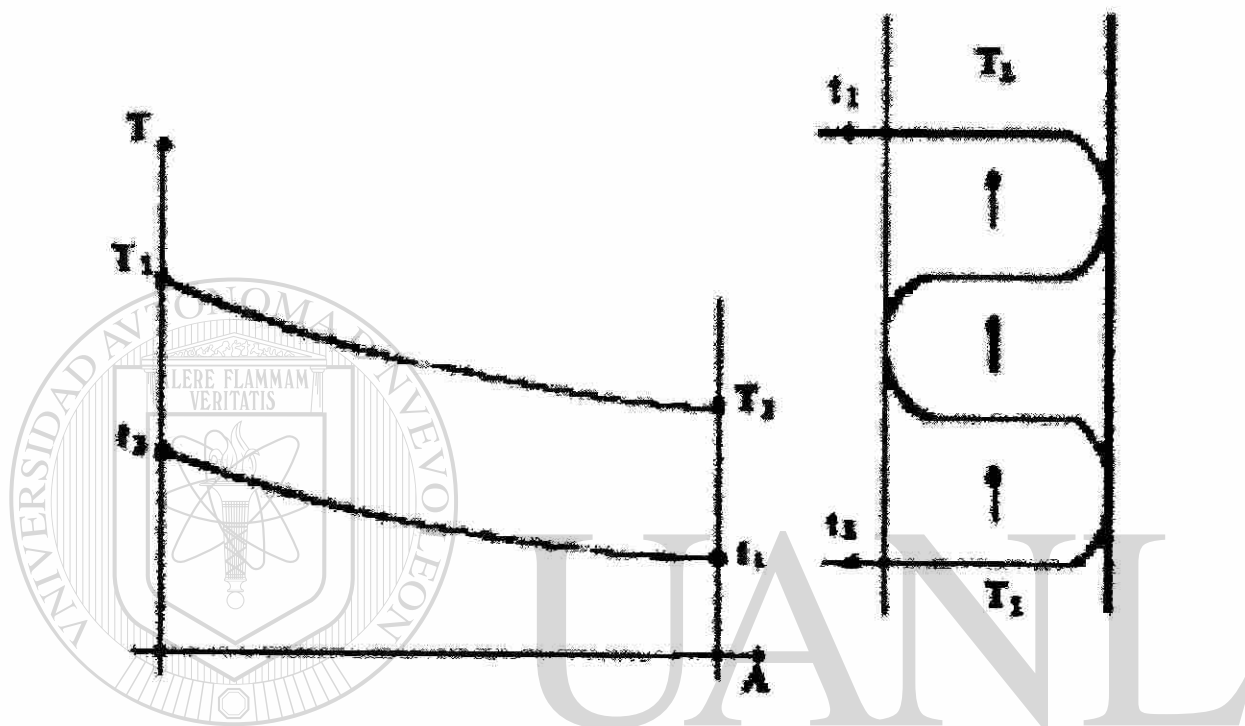


Figura 2.3. Diagrama de la distribución de temperaturas en flujos paralelos en contracorriente.

DIRECCIÓN GENERAL DE BIBLIOTECAS

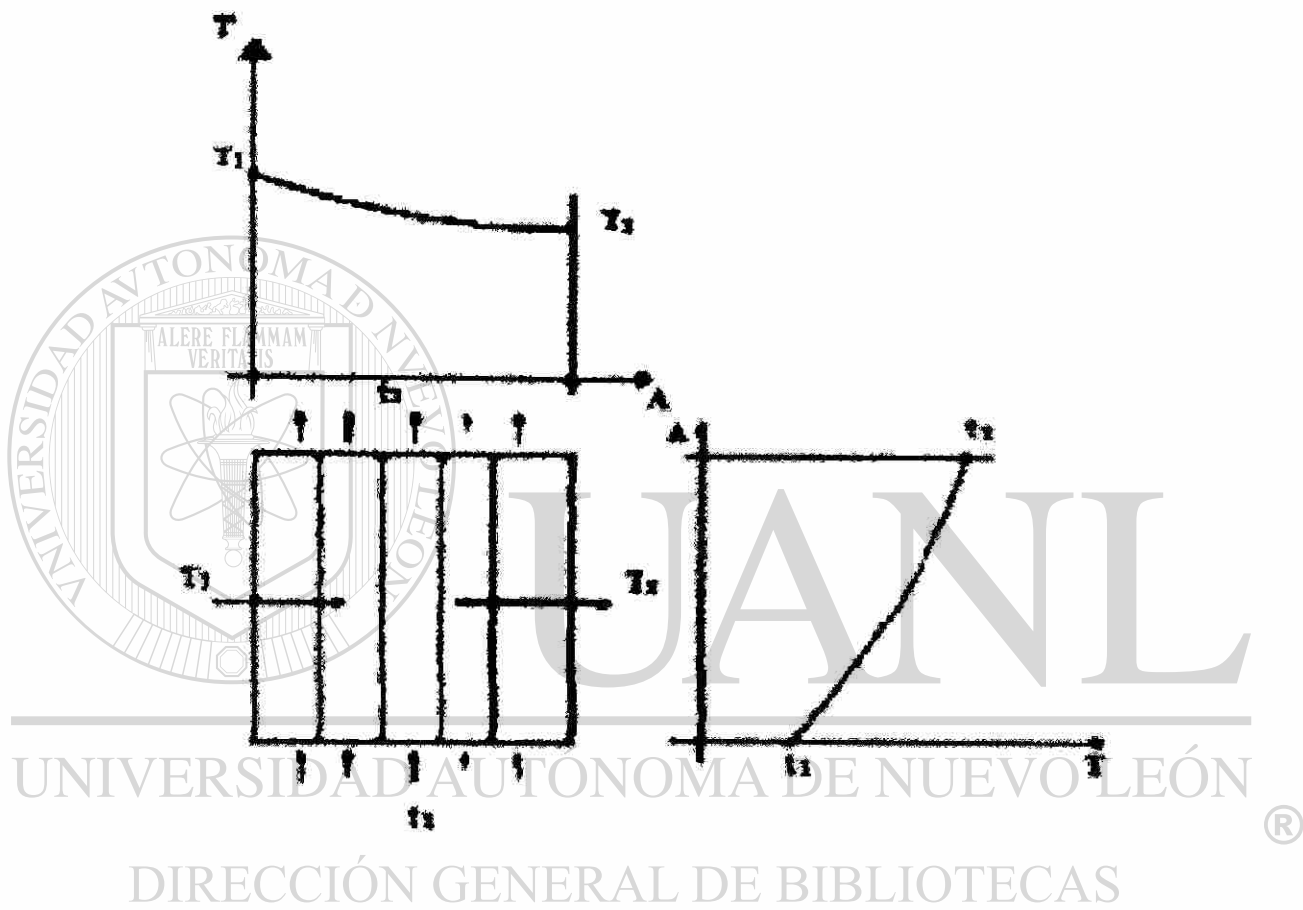


Figura 2.4. Diagrama de la distribución de temperaturas en flujos cruzados.

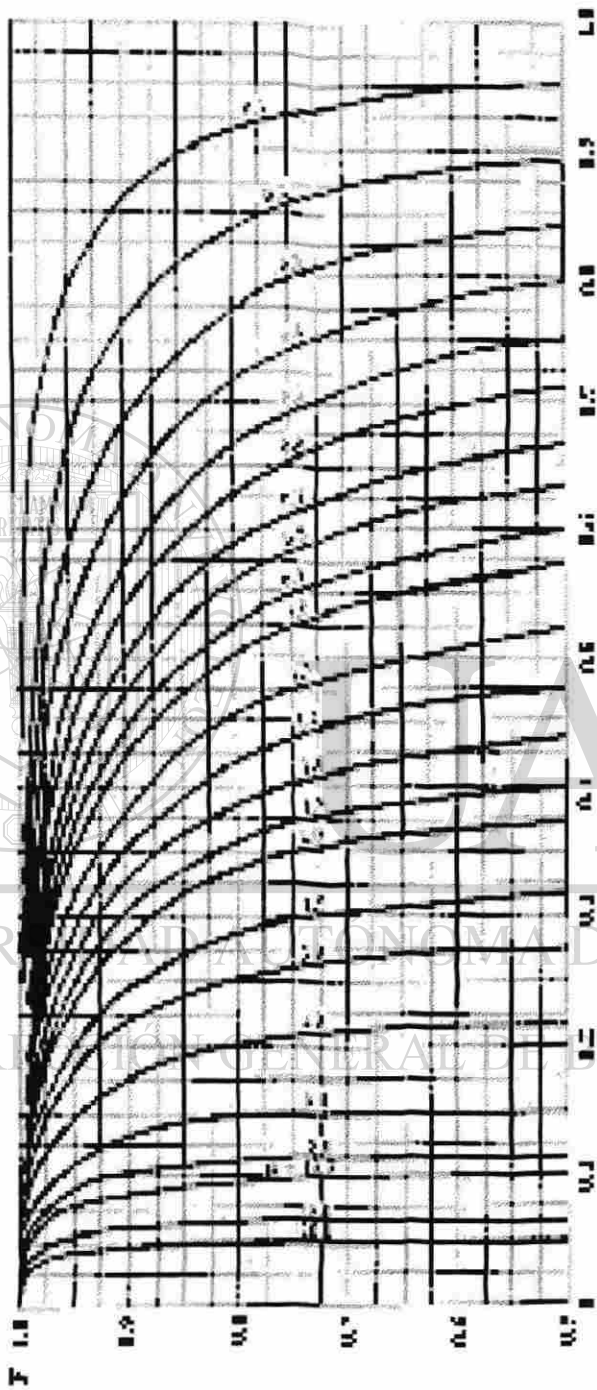


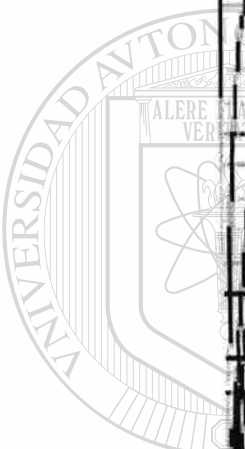
Figura 25. Perfil de temperatura en un bloque con un lado aislado.



Figura 26. Perfil de temperatura en un bloque con un lado aislado.

$$T = \frac{T_2 - T_1}{L} x + T_1$$

$$R = \frac{T_1 - T_2}{T_0 - T_1}$$



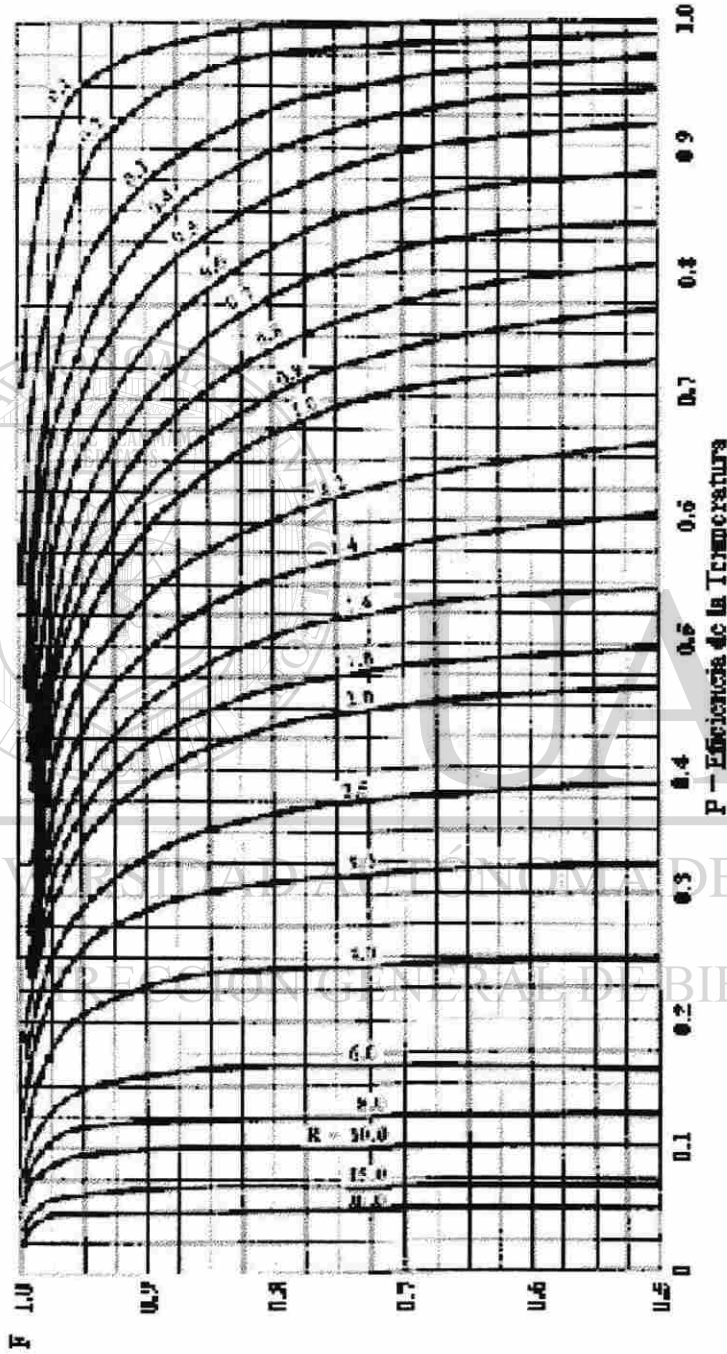
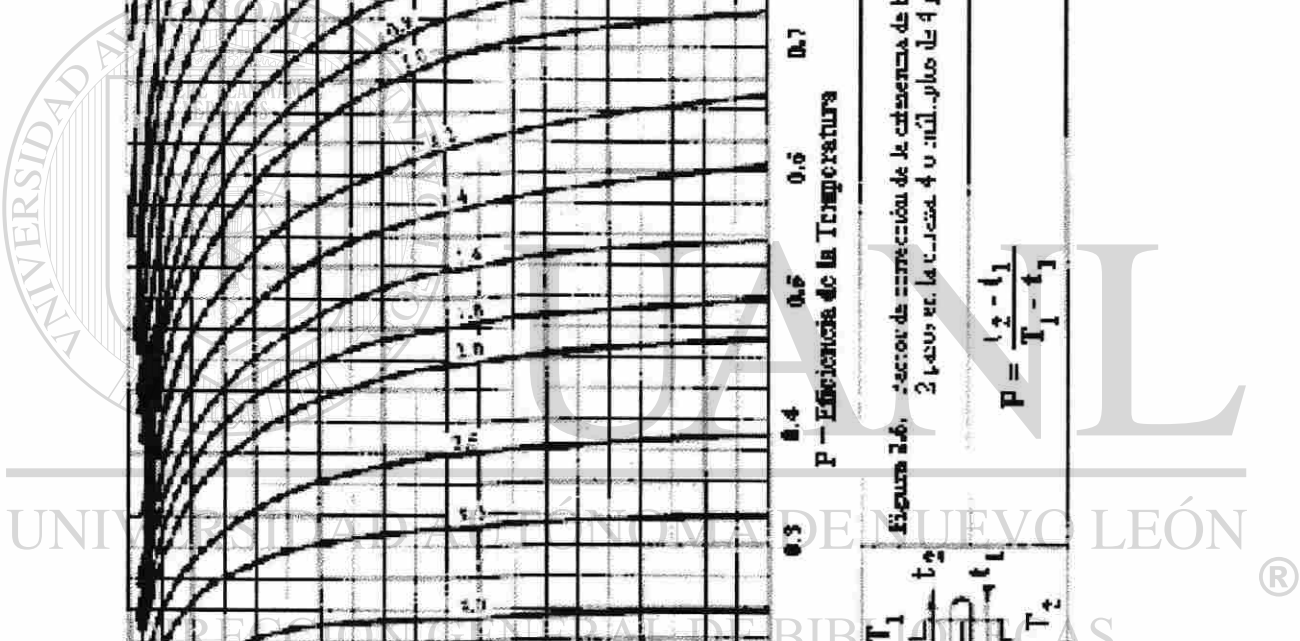
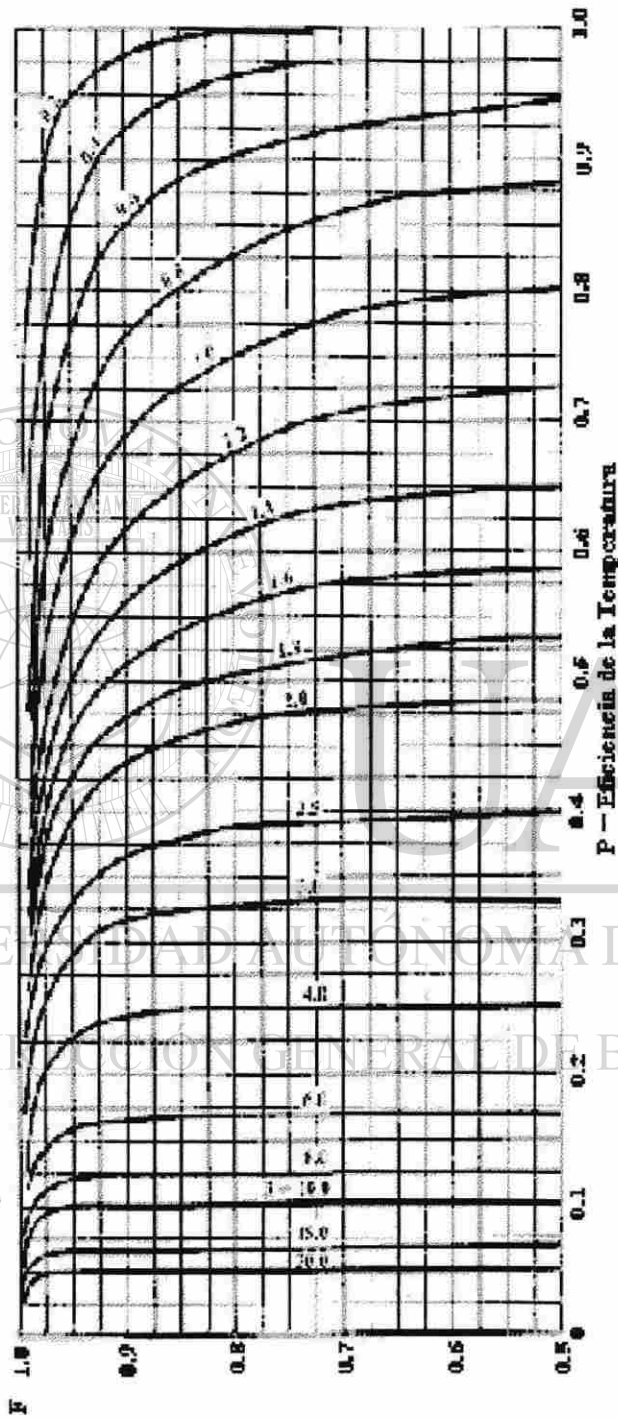


Figura 2.6. Factor de corrección de la eficiencia de temp. media logarítmica:  
 2,4-200 en la zona 4 o más; 4-200 en la zona 1, 2, 3, 5, 6, 7, 8, 9, 10, 11, 12, 13, 14, 15, 16, 17, 18, 19, 20.

$$P = \frac{t_2 - t_1}{T_1 - t_1}$$

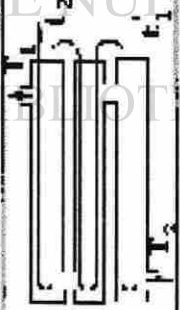
$$R = \frac{T_1 - T_2}{t_2 - t_1}$$





P - Eficiencia de la Temperatura

Figura 2.7. Factor de corrección de la eficiencia de temp. media logarítmica: 3 pasos en la zona, 6 o más pasos de 6 pasos en los tubos (en serie).



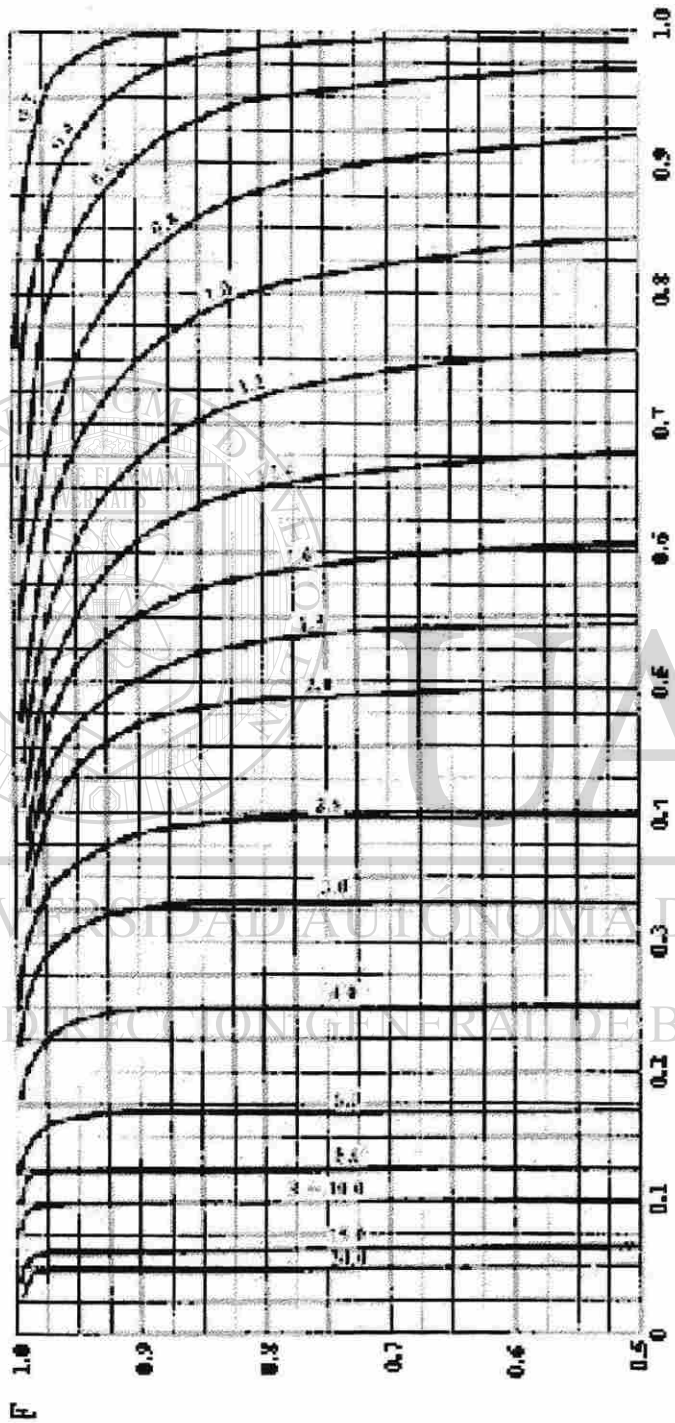
$$R = \frac{T_1 - T_2}{t_2 - t_1}$$

$$F = \frac{t_2 - t_1}{T_1 - T_2}$$



UNIVERSIDAD AUTÓNOMA DE NUEVO LEÓN  
DIRECCIÓN GENERAL DE BIBLIOTECAS



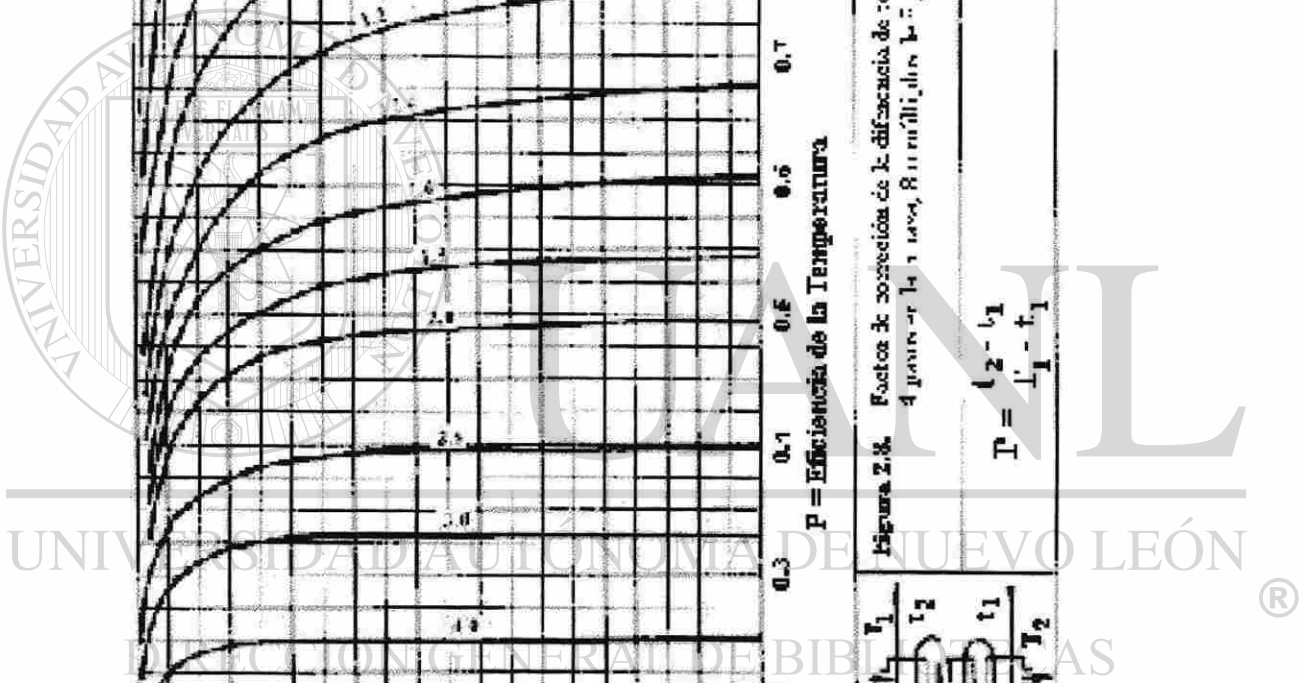


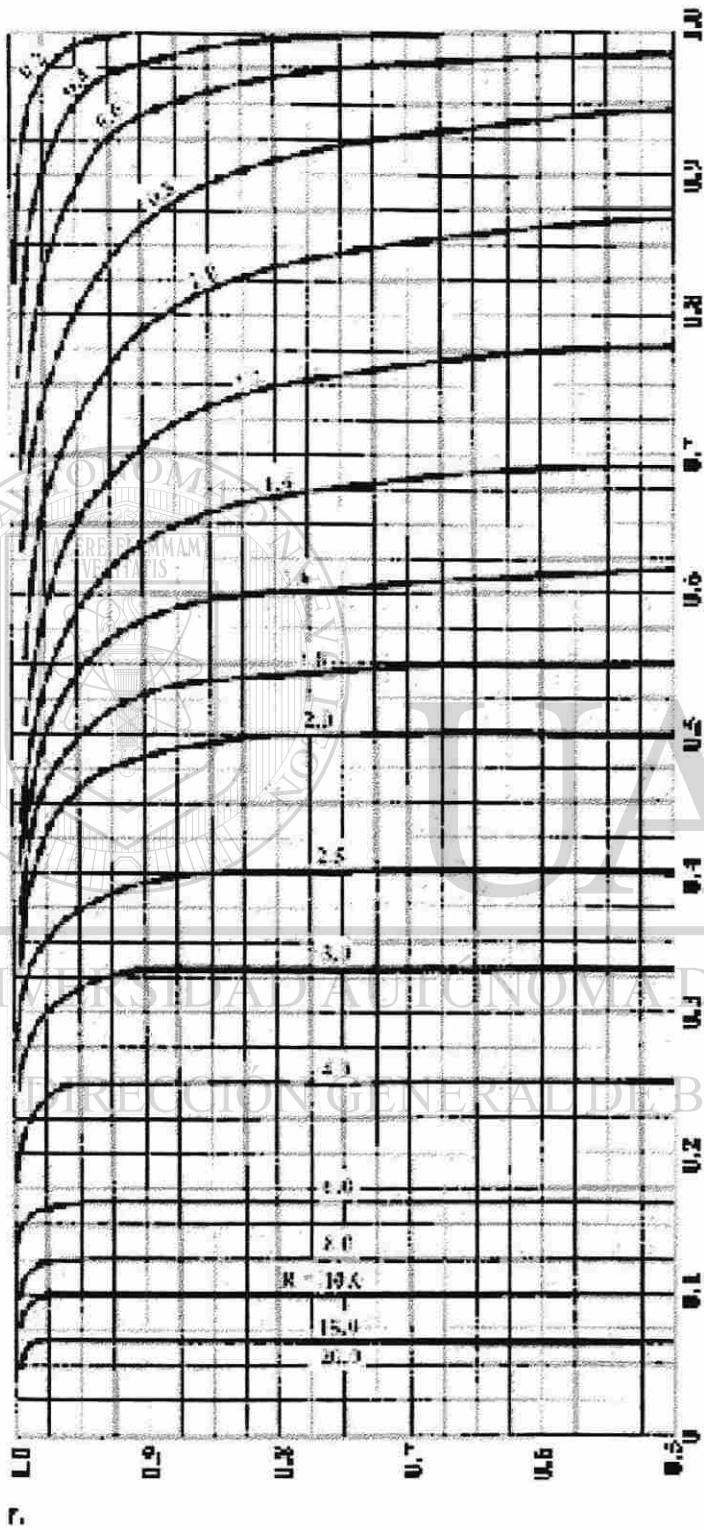
P = Eficiencia de la Temperatura

Figura 2.6. Factor de corrección de la diferencia de temp. media logarítmica:  
 4 para  $\frac{t_2 - t_1}{T_2 - T_1}$ , 8 para  $\frac{t_2 - t_1}{T_2 - T_1}$  (variable)

$$P = \frac{2 - t_1}{T_1 - t_1}$$

$$R = \frac{T_1 - T_2}{t_2 - t_1}$$



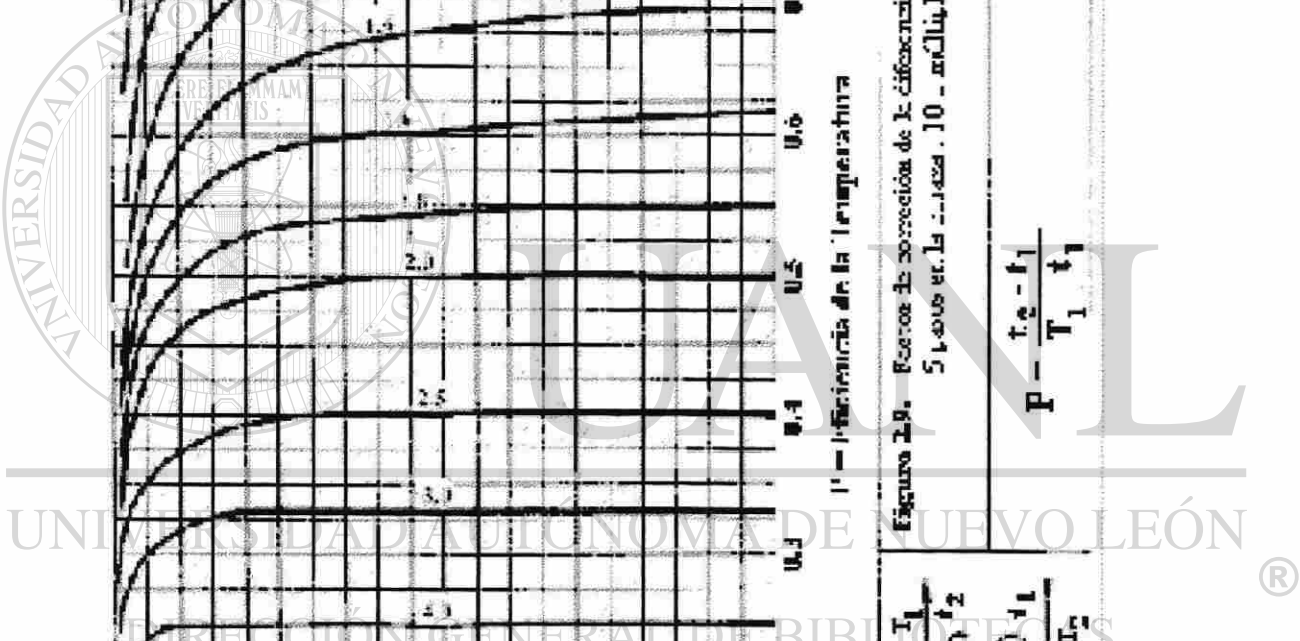


P = Factor de corrección de la temperatura

$$R = \frac{T_1 - T_2}{t_2 - t_1}$$

$$P = \frac{t_2 - t_1}{T_1 - t_1}$$

Figura 2.9. Factor de corrección de la diferencia de temp. media logarítmica. 51.000 et. la escala . 10 - múltiplo de 10.000 et. la L.L. (los ser. serie).



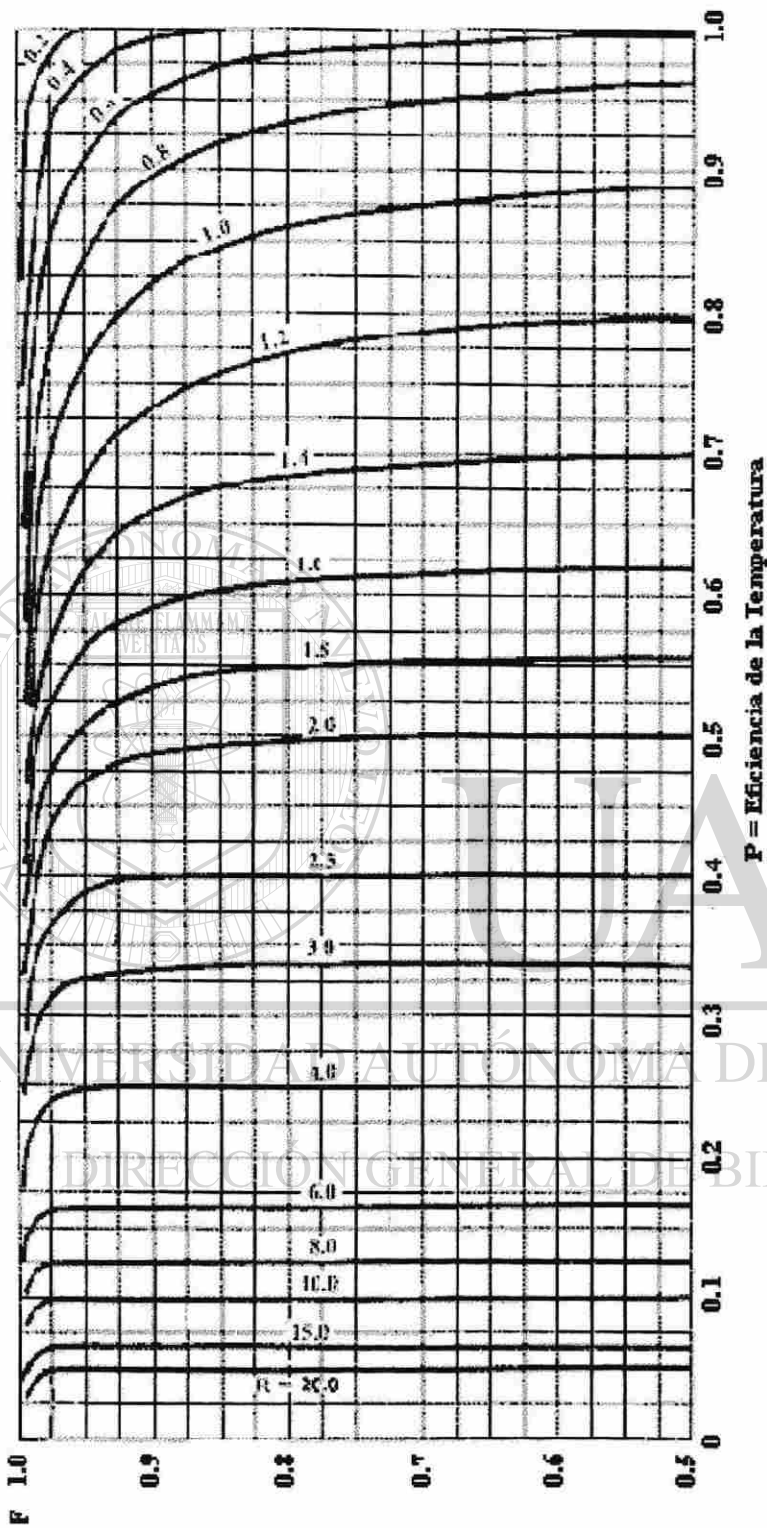
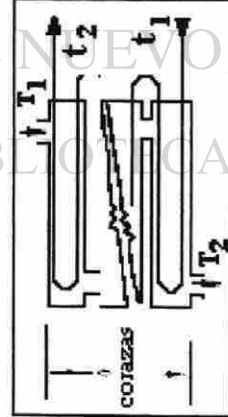


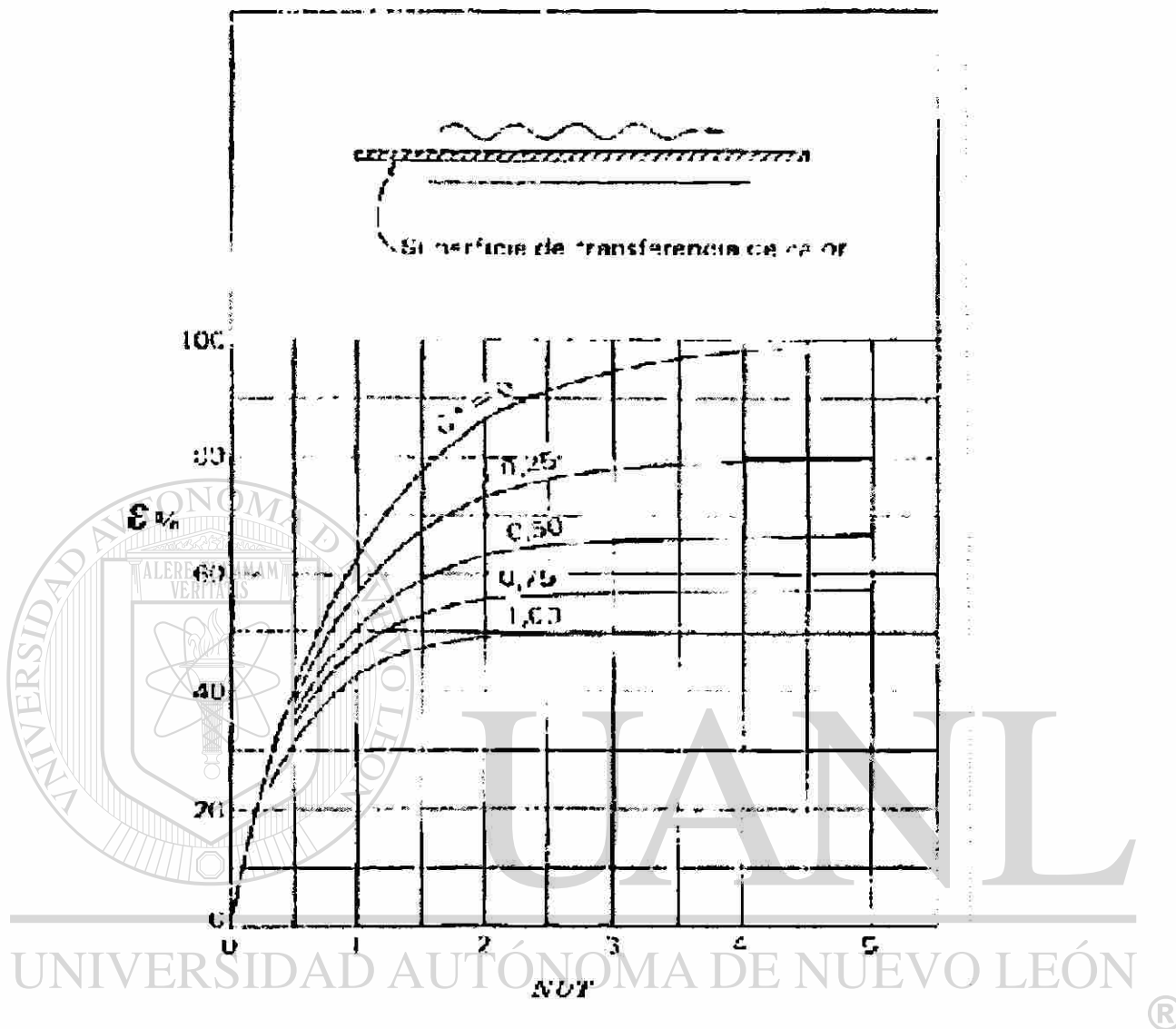
Figura 2.10. Factor de corrección de la diferencia de temp. media logarítmica, ó pasos en la coraza, 12 o más números de pares de pasos en los tubos (en serie).



$$R = \frac{T_1 - T_2}{t_2 - t_1}$$

$$P = \frac{t_2 - t_1}{T_1 - t_1}$$

UNIVERSIDAD AUTÓNOMA DE NUEVO LEÓN  
DIRECCIÓN GENERAL DE BIBLIOTECAS



DIRECCIÓN GENERAL DE BIBLIOTECAS

Figura 2.11. Efectividad para un intercambiador de calor con flujos en paralelo.

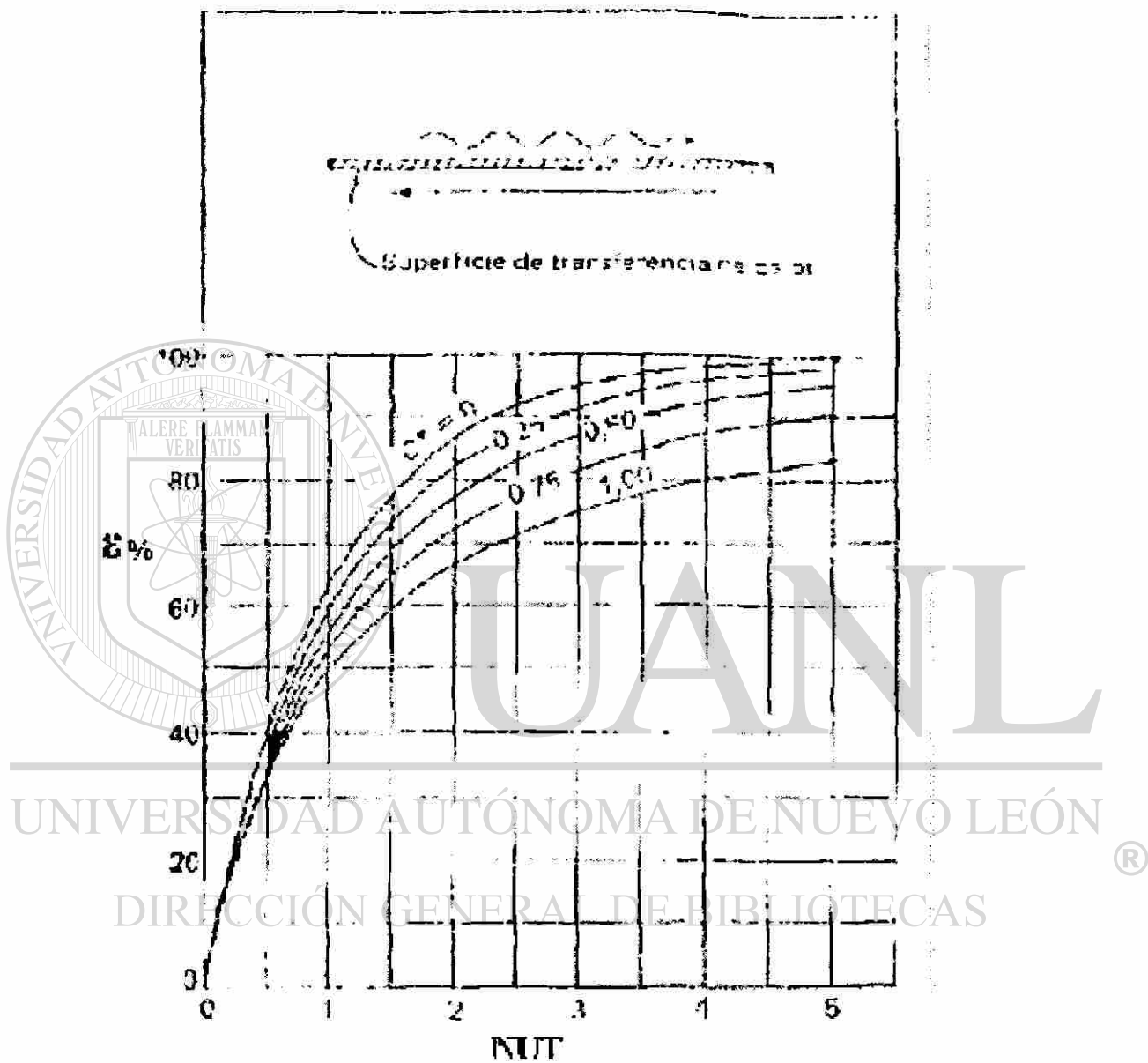


Figura 2.12. Efectividad para un intercambiador de calor con flujos opuestos.

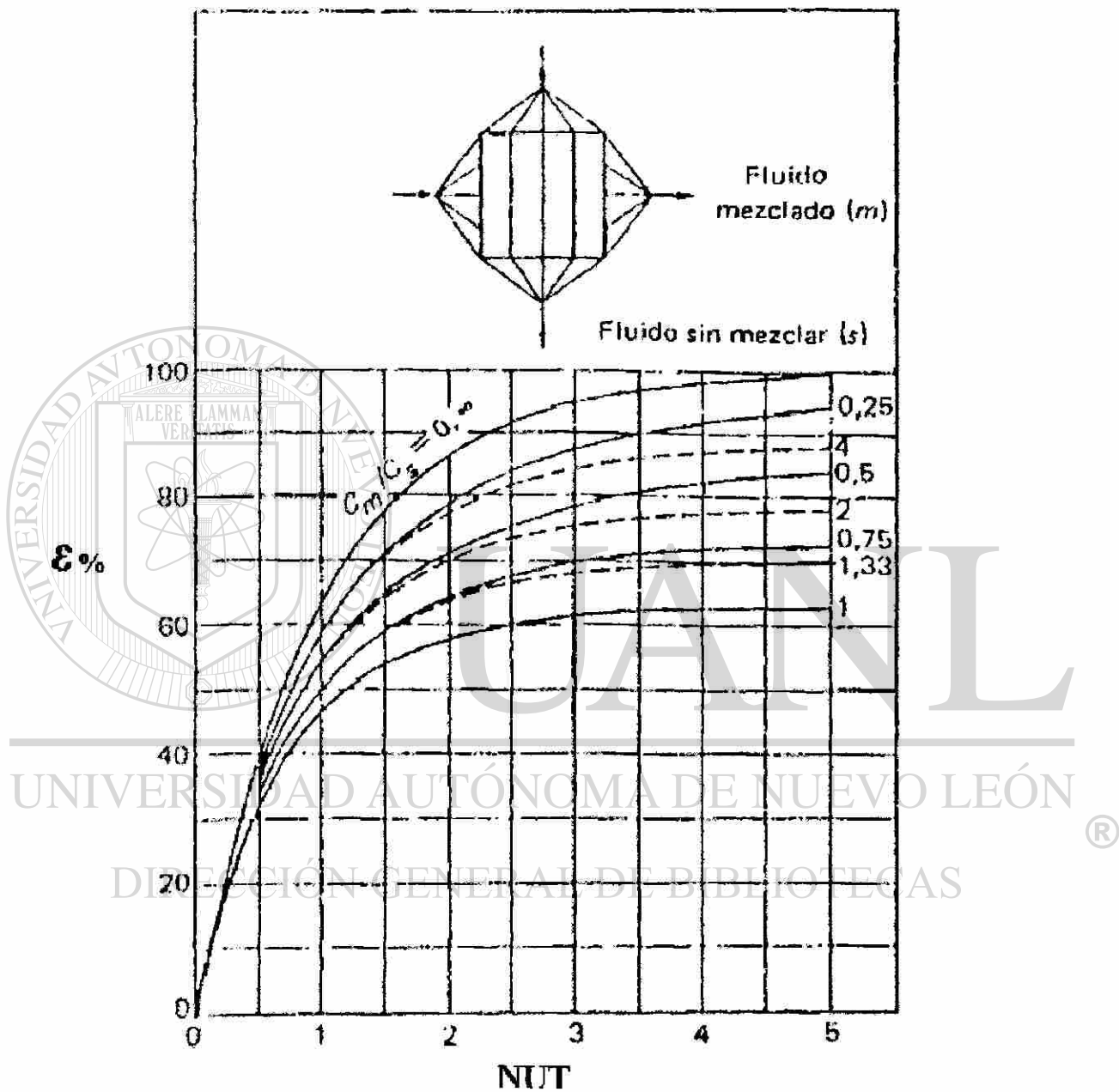


Figura 2.13. Efectividad para un intercambiador de calor con flujos transversales con un fluido mezclado y otro sin mezclar.

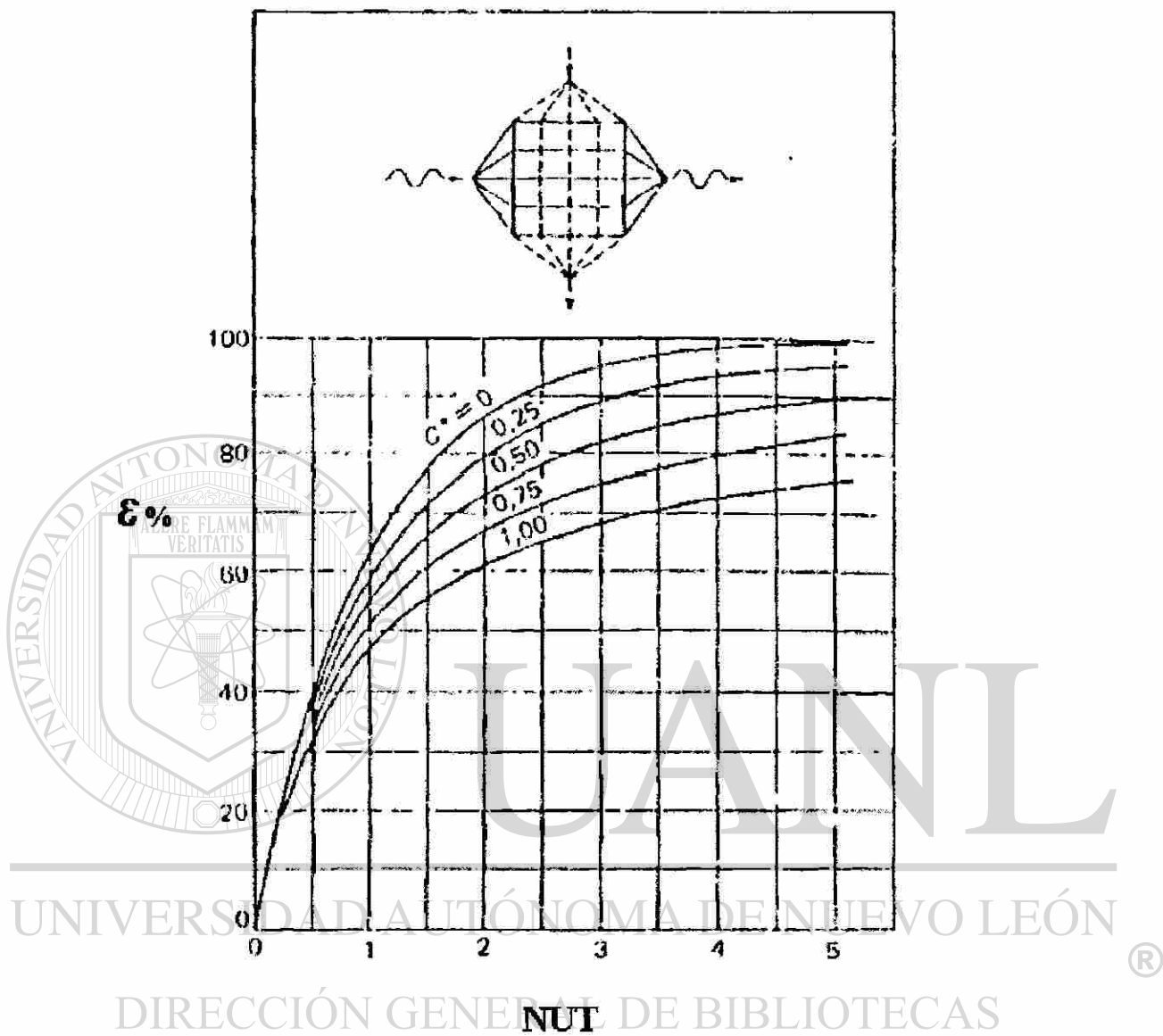


Figura 2.14. Efectividad para un intercambiador de calor con flujos transversales con un fluido sin mezclar.

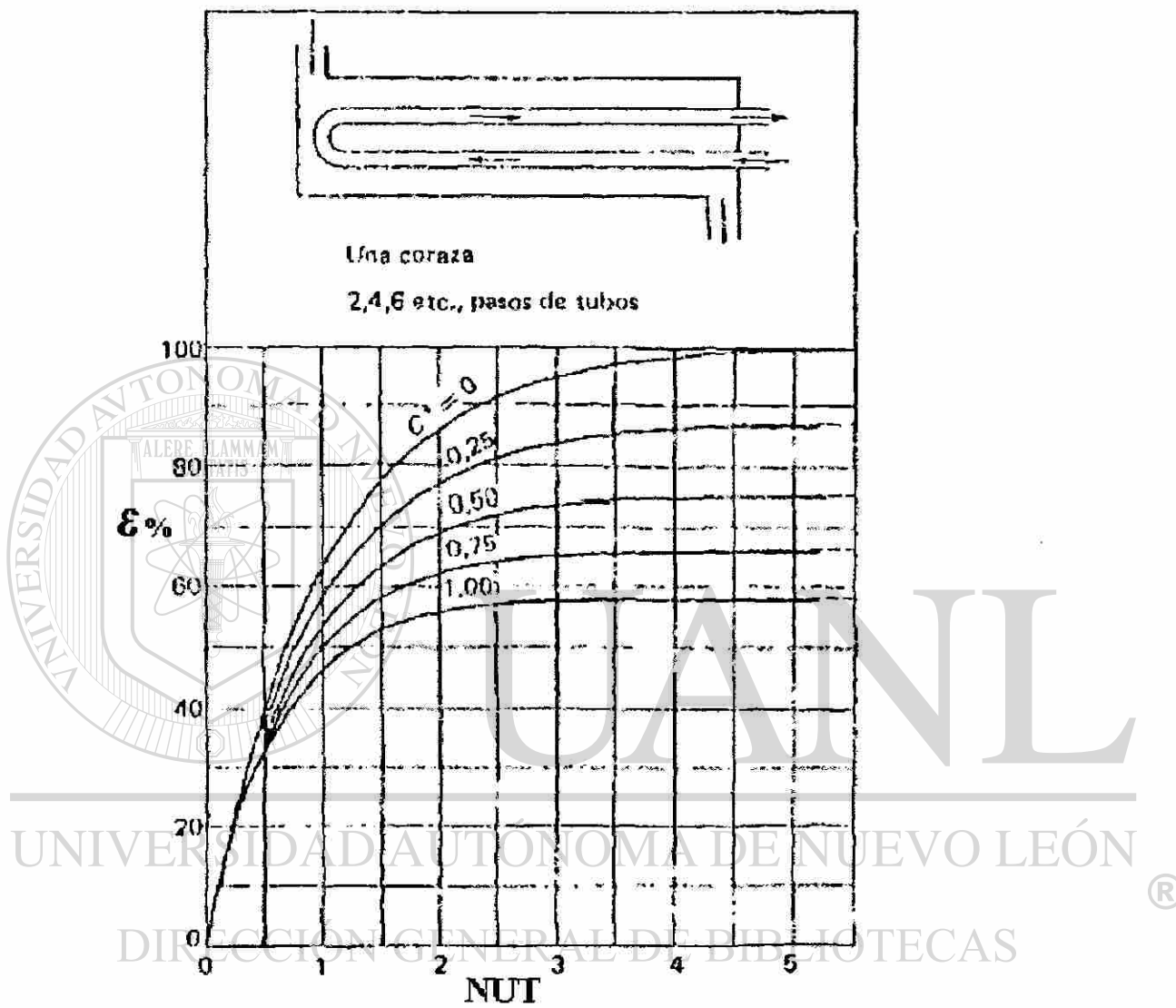


Figura 2.15. Efectividad para un intercambiador de carcasa y tubo.



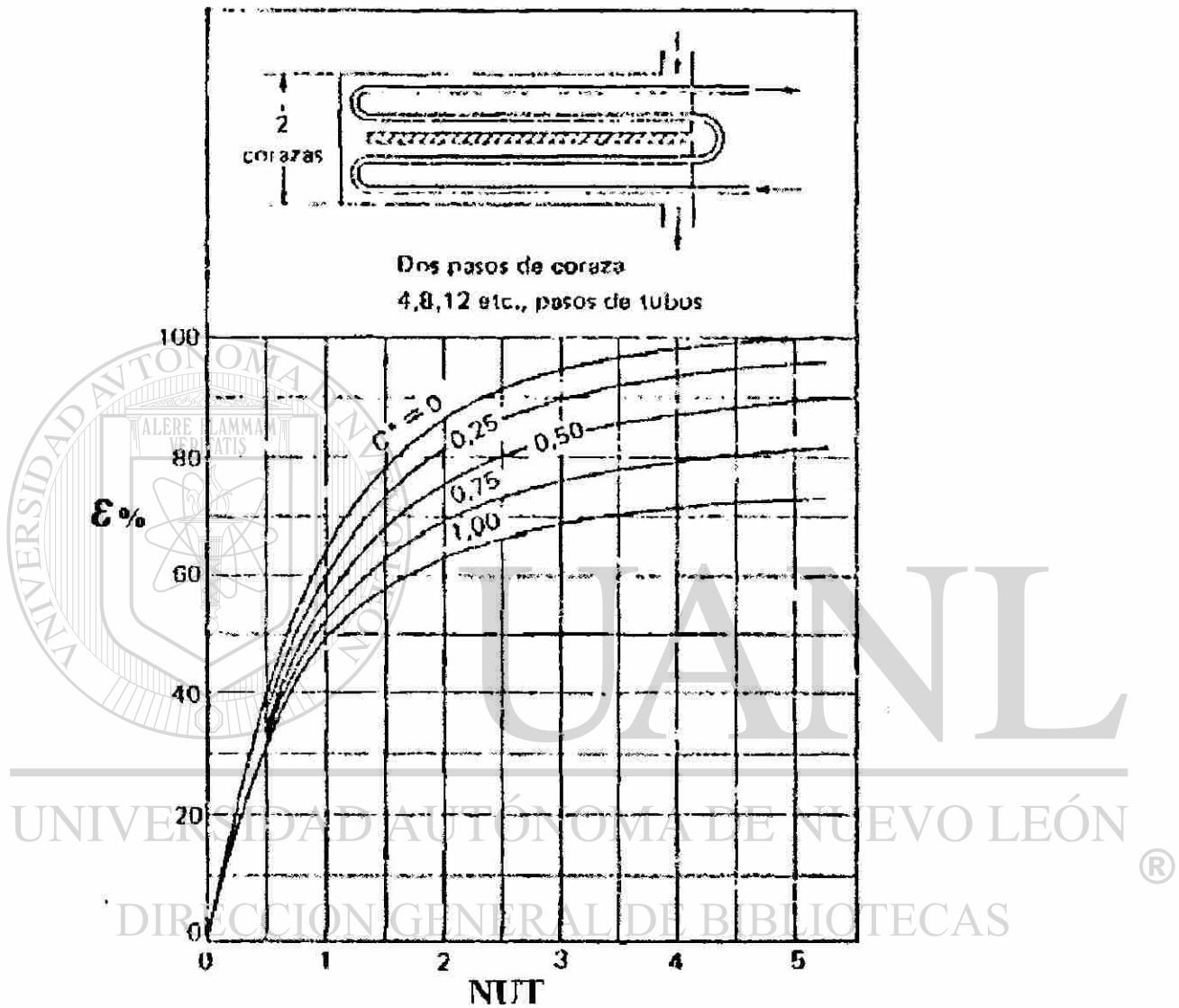
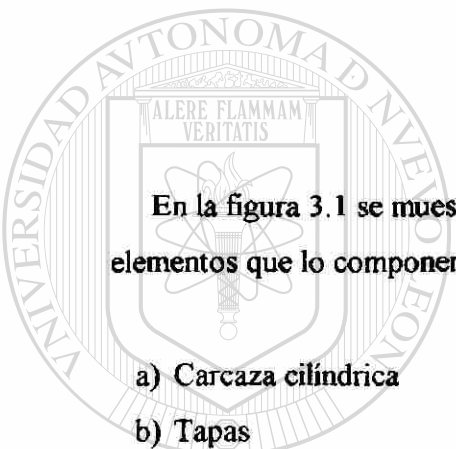


Figura 2.16. Efectividad para un intercambiador de calor de carcasa y tubo.

## CAPÍTULO 3

### RESULTADOS DE UN DISEÑO MECÁNICO



En la figura 3.1 se muestra un intercambiador de calor coraza y tubos, señalándose los elementos que lo componen, y que en términos generales son:

- a) Carcaza cilíndrica
- b) Tapas
- c) Espejos de tubos
- d) Tubos
- e) Bridas
- f) Boquillas
- g) Deflectores

Diferentes tipos de equipos de transferencia de calor también están compuestos por la combinación de algunos elementos listados antes, por lo que el diseño mecánico de los equipos consiste en diseñar adecuadamente cada uno de los elementos componentes, considerando que están sujetos a presión interna y externa, a cambio de temperaturas, al peso propio y a efectos de excitación dinámica (vibraciones).

El procedimiento más común de diseño mecánico es a través del análisis de esfuerzo a que están sometidas las partes y apoyándose en códigos y normas aceptadas, como son el ASME (American Society of Mechanical Engineers) y el TEMA (Tubular Exchanger Manufacturers Association).

A continuación se hace una breve descripción del contenido del ASME y del TEMA, y posteriormente se proporcionan los elementos básicos del diseño mecánico.

### **3.1. Contenido del Código ASME y de la Normas del TEMA.**

#### **3.1.1. El Código ASME.**

Trata todo lo relacionado con el diseño y operación de calderas y recipientes a presión; se compone de XI secciones, de las cuales la VIII está dedicada exclusivamente a los recipientes a presión.

A continuación se hace una descripción de la sección VIII, división I:

Consta de tres subsecciones:

- a) Requisitos generales
- b) Requisitos concernientes a los métodos de diseño y fabricación de los recipientes sujetos a presión
- c) Requisitos concernientes a las clases de materiales

### 3.1.1.1. Sección VIII, División I, Subsección A

Esta subsección también se conoce como la parte UG y trata de los requisitos mínimos concernientes a materiales, diseño, aberturas y refuerzos, superficies reforzadas y apoyadas, ligamentos, fabricación, inspección y prueba, estampado de reportes y dispositivos de alivio de presión.

**Materiales.** - UG-4 a UG-15; hace referencia a los requisitos que deben cumplir los diferentes tipos de materiales empleados en los recipientes sujetos a presión.

**Diseño.** - UG-16 a UG-35; Establece que el espesor mínimo para las carcazas y las tapas debe ser de 1/16" sin considerar lo correspondiente a la corrosión; también aclara que las condiciones de diseño deben ser la más críticas que se esperen en operación normal. Proporciona las ecuaciones para el diseño de carcazas y tubos bajo condiciones de presión interna y externa. También proporciona las ecuaciones para el diseño de tapas.

**Aberturas y refuerzos.** - UG-36 a UG-46; trata lo referente a los refuerzos que deben colocarse a las aberturas que se necesiten para las boquillas en las carcazas y cabezas.

**Superficies reforzadas y apoyadas.** - UG-47 a UG-50; se proporciona las ecuaciones de calculo para este tipo de superficies; los tipos y las dimensiones de los pernos y la localización de los mismos.

**Ligamentos.** - UG-53 a UG-55; se presentan las eficiencias de los ligamentos de los diferentes tipos de placas perforadas.

**Fabricación.- UG-75 a UG-85;** trata lo referente a la fabricación, como es la identificación de materiales, reparación de defectos de materiales, formado de carcazas y tapas, la redondez permitida para las carcazas, pruebas Charpy y tratamiento térmico.

**Inspección y prueba.- UG-90 a UG-103;** se define lo que es un inspector y las inspecciones que debe realizar durante la construcción; trata también sobre los diferentes tipos de pruebas.

**Estampado y reportes.- UG-115 a UG-120;** se señala los requisitos a cumplir por el fabricante para que el elemento fabricado reciba el estampado correspondiente; también indica los datos que debe contener la placa y por último se indica el tipo de reporte que debe ser llenado por el fabricante y que debe ser firmado por el inspector.

**Dispositivos de alivio de presión.- UG-125 a UG-136;** se indica las características que deben cumplir estos dispositivos.

### **3.1.1.2. Sección VIII, División I, Subsección B.**

Esta subsección trata sobre los requisitos mínimos para los diferentes métodos de fabricación.

**Parte UW.-** En esta parte se tratan los requisitos para la fabricación por soldadura de los recipientes sujetos a presión.

En las generalidades especifican los diferentes tipos de usarse juntas soldadas.

Con respecto a los materiales, se establecen las diferentes clases y cualidades que deben para la construcción de los recipientes sujetos a presión.

En la parte de diseño se trata el diseño de juntas soldadas, tratamiento térmico al que deben someterse los exámenes por radiografía y por ultrasonido que deben realizarse, las eficiencias de las juntas, los detalles de los diferentes tipos de juntas, aberturas cercanas a soldaduras, y conexiones soldadas.

En la fabricación se tratan los procesos de soldadura y su calificación, las pruebas a los soldadores, las temperaturas permisibles de soldadura, los tipos de cortes, la limpieza de la superficie a soldar, tolerancias y reparación de defectos de soldadura.

En la inspección y prueba, se trata la supervisión del procedimiento de soldadura, la calificación de soldadores, supervisión del tratamiento térmico, pruebas no destructivas, exámenes radiográficos, exámenes ultrasónicos y el estampado y reportes.

Parte UF.- Trata lo referente a la fabricación por forja de recipientes sujetos a presión.

Parte UB.- Presenta los requisitos de fabricación por soldadura no ferrosa para los recipientes sujetos a presión.

---

**3.1.1.3. Sección VIII, División I, Subsección C.**

En esta subsección, el código trata lo referente a los materiales de construcción de los recipientes sujetos a presión.

Parte UCS.- Señala los requisitos a cumplir con los recipientes sujetos a presión contruidos en aceros al carbón y aceros de baja aleación. Esta parte se completa con sus respectivas tablas de valores de esfuerzos admisibles para el diseño.

Parte UNF.- Se refiere a los requisitos para recipientes a presión construidos de materiales no ferrosos. Su complemento se encuentra en las tablas de valores de esfuerzos admisibles para el diseño.

Parte UMA.- Trata los requisitos a cubrir por los recipientes sujetos a presión construidos de aceros de alta aleación. Se complementa con sus tablas de valores de admisibles para el diseño.

Parte UCI.- Trata los requisitos a cubrir por los recipientes construidos de hierro fundido.

Parte UTH.- Se refiere a los requisitos para recipientes sujetos a presión construidos de acero ferrítico con propiedades de alta resistencia a la tensión; se complementa con las tablas de valores de esfuerzos admisibles para el diseño.

### **3.1.2. Normas del TEMA (Tubular Exchanger Manufacturers Association).**

El tema trata lo relacionado a los Intercambiadores de calor de carcasa y tubos. Su contenido es el siguiente:

Parte N: Nomenclatura

Parte F: Tolerancias de fabricación

Parte G: Fabricación en general e información de funcionamiento

Parte E: Instalación operación y mantenimiento

Parte: RCB: Normas mecánicas del TEMA para Intercambiadores de calor RCB

Parte V: Vibración inducida por flujo

Parte T: Relaciones térmicas

Parte P: Propiedades físicas de fluidos

Parte D: Información general

Parte RGP: Recomendaciones Prácticas

### 3.1.2.1. Parte N.

Presenta de manera normalizada, una nomenclatura para los diferentes tipos de intercambiadores de calor.

### 3.1.2.2. Parte F.

Establece las tolerancias admisibles en la construcción; y en términos generales van de  $\pm 1/8''$  a  $\pm 5/8''$ .

UNIVERSIDAD AUTÓNOMA DE NUEVO LEÓN

DIRECCIÓN GENERAL DE BIBLIOTECAS

### 3.1.2.3. Parte G.

Inicia con una hoja de datos necesarios que deben suministrarse para lograr el diseño adecuado. Posteriormente cubre lo relacionado a inspección, a datos de placa, a dibujos y reportes, a garantías, a la preparación para embarque y a las características generales de construcción.



#### 3.1.2.4. Parte E.

Se señala que la correcta instalación y el mantenimiento preventivo son responsabilidades del usuario.

Con respecto a la instalación se trata sobre las características del sitio de instalación así como la limpieza que debe efectuarse antes de la instalación.

Con respecto a la operación, se debe tener la información suficiente para ese propósito. Se recomienda secuencias de arranques y paros.

Para el mantenimiento se recomiendan los intervalos de inspección, los procedimientos de limpieza, de reemplazo de juntas y de partes.

#### 3.1.2.5. Parte RCB.

Define tres clases de intercambiadores, R, C y B, especificando que deben cumplir con la sección VIII, división I del ASME. Señala la presión de diseño, las pruebas, las temperaturas del metal, las normas admisibles de corrosión. Con respecto a los tubos, especifica sus longitudes, sus diámetros y sus calibres, los espaciamientos y los tipos de sus arreglos.

Para las carcazas y las tapas se tratan los diámetros, las tolerancias así como los espesores mínimos.

Muestra los diferentes tipos de deflectores, sus espesores, sus espaciamentos, protecciones contra la erosión en las áreas de entrada y salida; y las características de los separadores.

Describe las características constructivas de las cabezas flotantes y de los empaques.

Pone especial énfasis en el diseño de los espejos de tubos, proporcionando las ecuaciones de cálculo de los espesores.

Proporciona los métodos de cálculo de elementos flexibles de la carcasa.

También trata lo relacionado a las boquillas y a las bridas.

#### **3.1.2.6. Parte V.**

Aquí se indica que el problema de la inducción de vibraciones por el flujo es muy complejo y que todavía no se tiene una solución del tipo analítico.

Se describen los diferentes daños por vibración y las regiones de falla. Se tratan las características de la frecuencia natural, los esfuerzos axiales en los tubos, el amortiguamiento y proporciona el método de cálculo de la velocidad crítica de flujo.

#### **3.1.2.7. Parte T.**

Se hace un estudio del problema térmico, mediante la relación básica de transmisión de calor y de la determinación del coeficiente global de transmisión de calor. Se trata el

problema de ensuciamiento y de la diferencia media de temperaturas. También se presentan las relaciones que permiten el cálculo de las temperaturas medias de la coraza y los tubos.

#### **3.1.2.8. Parte P.**

Se proporciona un amplio conjunto de datos en forma gráfica y tabular de fluidos muy importantes, principalmente hidrocarburos.

#### **3.1.2.9. Parte D.**

Se encuentra información general sobre dimensiones de tubos de conexiones y de bridas. También se proporcionan tablas de conductividades térmicas de metales y de coeficiente medios de expresión.

#### **3.1.2.10 Parte RGP (sección 10).**

Aquí se proporciona información adicional y guía relativa al diseño de intercambiadores de calor, no incluida en las partes principales de la norma. Un ejemplo lo constituye la tabla de resistencia de ensuciamiento de diseño.

## 3.2. Elementos de Diseño Mecánico.

En ésta parte se proporciona un breve panorama sobre los procedimientos de diseño de carcazas o envolventes, tapas, espejos de tubos, tubos, bridas, boquillas y deflectores.

### 3.2.1. Diseño de Carcazas o Envolventes.

#### 3.2.1.1. Por Presión Interna.

##### 3.2.1.1.1. Carcaza o Envoltente Cilíndrica.

El espesor mínimo  $t$  de la carcaza o envolvente cilíndrica (figura 3.2) sometida a presión interna  $P$ , debe ser el que resulte mayor por cálculo de esfuerzos circunferenciales y longitudinales:

#### \* Esfuerzo Circunferencial.

Cuando el espesor de la pared no sea mayor a la mitad del radio interno o cuando  $P$  no sea mayor a  $0.385 SE$ :

$$t = \frac{PR}{SE - 0.6P} \quad (3.1)$$

\* **Esfuerzo Longitudinal.**

Cuando el espesor de la pared no sea mayor a la mitad del radio interno o cuando  $P$  no sea mayor a  $1.25 SE$ :

$$t = \frac{PR}{2SE + 0.4P} \quad (3.2)$$

Las ecuaciones (3.1) y (3.2) obtenidas de la sección VIII, división I (UG-27) del ASME, no toman en cuenta el efecto de la corrosión, y sus términos son:

t: Espesor mínimo de la pared (plg)

P: Presión interna de diseño (lb/plg<sup>2</sup>)

R: Radio interno de la carcaza (plg)

S: Esfuerzo máximo permisible del material (lb/plg<sup>2</sup>)

E: Eficiencia de la junta; para recipientes soldados, corresponde a la eficiencia de soldadura. Los valores se muestran en la figura 3.2.1.

DIRECCIÓN GENERAL DE BIBLIOTECAS

**3.2.1.1.2. Secciones de carcaza cónicas.**

Cuando  $\alpha = 30^\circ$  (figura 3.3), el espesor mínimo admisible está dado por:

$$t = \frac{PD}{2 \cos \alpha (SE - 0.6P)} \quad (3.3)$$

siendo:

P: Presión interna de diseño (lb/plg<sup>2</sup>)

D: Diámetro interior del lado del cilindro mayor (plg)

$\alpha$ : Semi-ángulo del vértice ( $\alpha = 30^\circ$ )

S: Esfuerzo máximo permisible del material (lb/plg<sup>2</sup>)

E: Eficiencia de la junta

### 3.2.1.2. Por Presión Externa.

#### 3.2.1.2.1. Carcaza o envolvente cilíndrica.

De acuerdo con el código ASME, se sigue un procedimiento gráfico en UG-28, complementado con el apéndice 5 de la sección VIII, división I.

\* Para cilindros con  $D_0/t \geq 10$ .

DIRECCIÓN GENERAL DE BIBLIOTECAS

$D_0$ : Diámetro exterior de la carcaza (plg)

t: Espesor mínimo de la pared (plg)

L: Longitud de la carcaza (plg)

P: Presión externa de diseño (lb/plg)

$P_a$ : Presión máxima permisible (lb/plg<sup>2</sup>)

E: Módulo de elasticidad del material (lb/plg<sup>2</sup>)

El procedimiento es el siguiente:

- 1° Se considera un espesor  $t$  y se determinan las relaciones  $L/D_0$  y  $D_0/t$ .
- 2° Se entra a la figura 3.4 (que corresponde a la figura UGO-28.0) con el valor  $L/D_0$  y se hace coincidir con la curva correspondiente a  $D_0/t$ . Para valores de  $L/D_0$  mayores a 50, se usa  $L/D_0=50$ .
- 3° De la figura 3.4 se obtiene el valor de  $A$ , que corresponde a un factor.
- 4° Con el valor calculado de  $A$  se entra a la figura correspondiente al tipo de material, y que son las 3.5, 3.6, 3.7, 3.8 y 3.9 (corresponden a las figuras UCS-28.2, UHA-28.1, UHA-28.2, UHA-28.3 y UHA-28.4).
- 5° De las figuras 3.5 y 3.9 se calcula el valor de  $B$  que corresponde a un factor.
- 6° Se aplica la siguiente ecuación para el cálculo de la presión máxima permisible.  $P_a$ :

$$P_a = \frac{4B}{3(D_0/t)} \quad (3.4)$$

- 7° Cuando no se puede obtener el valor de  $B$  gráficamente, la presión máxima permisible  $P_a$  se calcula por la siguiente ecuación:

$$P_a = \frac{2AE}{3(D_0/t)} \quad (3.5)$$

- 8° Se compara el valor calculado de  $P_a$  con el valor de la presión externa de diseño:

Si  $P_a > P$  el espesor  $t$  supuesto es correcto.

Si  $P_a < P$  el espesor  $t$  supuesto no es correcto, y debe iniciarse nuevamente el procedimiento con valor mayor de  $t$ .

\* **Para Cilindros con  $D_0/t < 10$ .**

El procedimiento indicado es el siguiente:

1° Usando el mismo procedimiento anterior se calcula B. Cuando la relación  $D_0/t < 4$ , el valor A se calcula por:

$$A = \frac{1.1}{(D_0/t)^2} \quad (3.6)$$

para valores de A mayores de 0.10, se usa 0.10

2° Con el valor obtenido de B, se calcula  $Pa_1$ :

$$Pa_1 = \left[ \frac{2.167}{(D_0/t)} - 0.0833 \right] B \quad (3.7)$$

3° Se calcula  $Pa_2$ :

$$Pa_2 = \frac{2S^0}{(D_0/t)} \left[ 1 - \frac{1}{(D_0/t)} \right] \quad (3.8)$$

DIRECCIÓN GENERAL DE BIBLIOTECAS

Siendo  $S^0$  el menor valor de dos veces el esfuerzo máximo permisible del material o 0.9 veces el esfuerzo de cedencia del material (tabulado en la sección 11 del ASME).

4°  $Pa$  se selecciona como el menor valor calculado de  $Pa_1$  y  $Pa_2$ , y se compara con la presión externa de diseño:

Si  $Pa > P$  el espesor  $t$  supuesto es correcto.

Si  $Pa < P$  el espesor y supuesto no es correcto, y debe iniciarse nuevamente el procedimiento con el valor mayor de  $t$ .



Después de calculado el espesor de la carcaza, se deben tomar en cuenta las indicaciones que proporciona el TEMA para los espesores mínimos de carcaza como se indican en las tablas 3.1 y 3.2 (que corresponden a las R-3.13 y CB-3.13).

### 3.2.2. Diseño de Tapas.

El diseño de tapas se hace se acuerdo a UG-32 y UG-33 del ASME, sección VIII, división I.

#### 3.2.2.1. Por Presión Interna.

##### 3.2.2.1.1. Tapa Semi-elíptica.

Este tipo de tapa tiene las características geométricas mostradas en la figura 3.10.

El espesor se calcula por la ecuación:

$$t = \frac{PD}{2SE - 0.2P} \quad (3.9)$$

Siendo:

P: Presión interna de diseño (lb/plg<sup>2</sup>)

D: Diámetro interior de la tapa (plg)

S: Esfuerzo máximo permisible del material (lb/plg<sup>2</sup>)

E: Eficiencia de la junta

### 3.2.2.1.2. Tapa Toriesférica.

Sus características geométricas se muestran en la figura 3.11.

Su espesor mínimo se calcula por la ecuación:

$$t = \frac{0.885PR}{SE - 0.1P} \quad (3.10)$$

Siendo R el radio interno de la corona.

### 3.2.2.1.3. Tapa Semiesférica.

Sus características geométricas se muestran en la figura 3.12.

El cálculo de su espesor mínimo se hace por la ecuación:

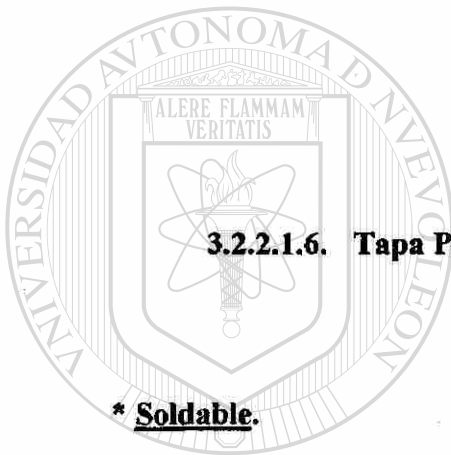
$$t = \frac{PR}{2SE - 0.2P} \quad (3.11)$$

#### 3.2.2.1.4. Tapa Cónica.

Sus características geométricas se muestran en la figura 3.13.

Su ángulo  $\alpha$  no debe ser mayor a  $30^\circ$ , y en ese caso el cálculo de su espesor mínimo se calcula por la siguiente ecuación:

$$t = \frac{PD}{2 \cos \alpha (SE - 0.6P)} \quad (3.12)$$



#### 3.2.2.1.6. Tapa Plana.

\* Soldable.

UANL

Algunos casos típicos se muestran en la figura 3.14.

El espesor mínimo se calcula por la ecuación:

$$t = d\sqrt{C'P/SE} \quad (3.13)$$

Siendo:

$C'$ : Factor que depende del método de unión de la tapa, como se muestra en la figura 3.14.

$d$ : Diámetro de la tapa (plg).

\* **Bridas.**

Se considera el empaque entre la carcaza y la tapa como se muestra en la figura 3.15.

Para éstos casos, el espesor mínimo se calcula por la siguiente ecuación:

$$t = d \sqrt{C' P / SE + 19Wh_g / SEd^3} \quad (3.14)$$

Siendo:

d: Diámetro medio del empaque, como se muestra en la figura 3.15.

$h_g$ : Brazo de palanca del empaque, que es la distancia radical de la línea de reacción del empaque, a la línea central de los tornillos.

W: Carga total en los tornillos.

Notas: 1. A condiciones de operación, W es el mayor valor que resulte de las siguientes ecuaciones:

$$W_{m1} = 0.785 d^2 P + 2\pi b d m P$$

$$W_{m2} = \pi b d y$$

La mayor es la que se aplica

Siendo:

b: Ancho efectivo de contacto del empaque; se obtiene de la figura 3.16.

m: Relación  $t_r/t_a$ .

$t_r$ : Espesor requerido de la carcaza (plg).

$t_s$ : Espesor real de la carcaza o comercial (plg).

y: Carga máxima permisible en el empaque; su valor se obtiene de la figura 3.17.

2. Para condiciones de sello del empaque, W se calcula por la ecuación:

$$W = \frac{A_m + A_b}{2} S_a \quad (3.16)$$

Donde:

$A_b$ : Área total transversal de los tornillos ( $\text{plg}^2$ ).

$A_a$ : Área total transversal requerida de los tornillos ( $\text{plg}^2$ ), y que resulta ser la mayor de la obtenida por las siguientes ecuaciones:

$$A_{a1} = \frac{W_{m1}}{S_b} \quad (3.17)$$

$$A_{a2} = \frac{W_{m2}}{S_a} \quad (3.18)$$

Se toma el valor mayor.

$S_a$ : Esfuerzo máximo permisible del material de los tornillos, a la temperatura ambiente ( $\text{lb/plg}^2$ ).

$S_b$ : Esfuerzo máximo permisible del material de los tornillos, a la temperatura de diseño ( $\text{lb/plg}^2$ ).

### 3.2.2.2. Por presión Externa.

Se sigue el procedimiento señalado por el código ASME en UG-33, y que se describe a continuación:

### 3.2.2.2.1. Tapa Semi-elíptica.

El procedimiento que se sigue para el diseño de éstas tapas es el siguiente:

1° Se calcula el factor A por la siguiente expresión:

$$A = \frac{0.125}{(R_0 / t)} \quad (3.19)$$

Siendo:

$R_0 = K_0 D_0$ , radio esférico exterior de la tapa.

$D_0$ : Diámetro interior de la tapa.

$K_0$ : Factor dependiente de las proporciones de la tapa semi-elíptica.  $K_0$  se calcula en función de la relación  $D_0/2h_0$ , como se muestra en la tabla 3.3.

$h_0$ : Mitad del eje menor del eje de la tapa semi-elíptica; altura de la tapa.

2° Con el valor de A calculado, se procede a calcular el factor B, de acuerdo al tipo de material utilizado, por medio de las figuras 3.5, 3.6, 3.7, 3.8 y 3.9.

3° Con el valor obtenido, se calcula el valor de presión externa máxima permisible, por medio de la siguiente ecuación:

$$Pa = \frac{B}{(R_0 / t)} \quad (3.20)$$

4° Cuando B no puede determinarse por las figuras 3.5, 3.6, 3.7, 3.8, y 3.9, la presión externa permisible se calcula por la ecuación:

$$Pa = \frac{0.0625E}{(R_0 / t)^2} \quad (3.21)$$

En donde E es el módulo de elasticidad del material a la temperatura de diseño.

5° Se compara Pa con P, y el diseño de la tapa es correcto cuando:  $Pa > P$ .

### 3.2.2.2.2. Tapa toriesférica.

El procedimiento seguido para el diseño de éstas tapas es similar al mostrado para el caso de tapas semielípticas.

1° Se calcula el factor A por la siguiente expresión:

$$A = \frac{0.125}{(R_0 / t)} \quad (3.19-1)$$

Siendo:

$R_0$ : Radio exterior de abombado (R: Radio interno de la corona).

2° Se determina el factor B de acuerdo al tipo de material utilizado mediante las figuras 3.5, 3.6, 3.7, 3.8, y 3.9.

3° Se calcula el valor de la presión máxima permisible, por la ecuación:

$$Pa = \frac{B}{(R_0 / t)} \quad (3.20-1)$$

4° Cuando B no puede determinarse por las figuras 3.5, 3.6, 3.7, 3.8, y 3.9, la presión externa máxima permisible se calcula por la ecuación:

$$Pa = \frac{0.0625E}{(R_0 / t)} \quad (3.21-1)$$

En donde E es el módulo de elasticidad del material a la temperatura de diseño.

5° Se compara Pa con P; y el diseño de la tapa es correcto cuando  $Pa > P$ .

### 3.2.2.2.3. Tapa Semiesférica.

El procedimiento que se sigue para el diseño de éste tipo de tapas es el siguiente:

1° Se calcula el factor A:

$$A = \frac{0.125}{(R_0 / t)} \quad (3.19-2)$$

Siendo  $R_0$  el radio exterior de abombado.

2° Se determina el factor B por medio de las figuras 3.5 a 3.9.

3° Se calcula el valor de la presión externa máxima permisible:

$$Pa = \frac{B}{(R_0 / t)} \quad (3.20-2)$$

4° Cuando B no puede determinarse por las figuras 3.5 a 3.9, la presión externa permisible se calcula por la siguiente ecuación:

$$Pa = \frac{0.0625E}{(R_0 / t)} \quad (3.21-2) \text{ ®}$$

En donde E es el módulo de elasticidad del material a la temperatura de diseño.

5° Se compara  $Pa$  con  $P$ ; el diseño de la tapa es correcto cuando  $Pa > P$ .

### 3.2.2.2.4. Tapa Cónica.

El siguiente procedimiento es aceptable cuando  $\alpha = 60^\circ$  y  $D_L/t_e = 10$ , siendo  $\alpha$  el semi-ángulo del cono,  $D_L$  el diámetro exterior de la sección mayor del cono, y  $t_e$  el espesor efectivo de la sección cónica  $t_e = t \cos \alpha$ .



1° Se establece un valor  $t_e$  y se determinan las relaciones  $L_e/D_L$  y  $D_L/t_e$ .

$$L_e = \left(\frac{L}{2}\right)\left(1 + \frac{D_s}{D_L}\right) \quad (3.22)$$

Siendo:

L: Longitud de la sección del cono.

$D_s$ : Diámetro exterior de la sección menor del cono.

2° Se entra a la figura 3.4 con el valor  $L_e/D_L$  y se hace coincidir con la curva correspondiente a  $D_0/t$ . Para valores de  $L_e/D_L > 50$ , se usa el valor  $L_e/D_L = 50$ .

3° De la figura 3.4 se obtiene el valor del factor A.

4° Con el valor de A se entra a la figura que corresponde al tipo de material (figuras 3.5 a 3.9) y se obtiene el valor del factor B.

5° Se calcula la presión máxima permisible:

$$Pa = \frac{4B}{3(D_L/t_e)} \quad (3.23)$$

6° Cuando B no se puede obtener de las figuras 3.5 a 3.9, el cálculo de la presión máxima permisible se hace por la siguiente ecuación:

$$Pa = \frac{2AE}{3(D_L/t_e)} \quad (3.24)$$

En donde E es el módulo de elasticidad del material a la temperatura del diseño.

7° Se compara  $P_a$  con P. Cuando  $P_a > P$ , el valor propuesto de t es el adecuado.

Nota: El TEMA especifica que el espesor mínimo de las tapas no podrá ser menor al espesor de la carcaza.

### 3.2.3. Diseño de espejos de tubos.

Los espejos de tubos son elementos que contienen perforaciones por los que se insertan los tubos usados para la transferencia de calor, como se muestra en la figura 3.18.

Los espejos de tubos sirven para dividir los fluidos y como elementos de sujeción de los tubos.

El diseño de éstos elementos se hace mediante las normas del TEMA, que recomienda que en ningún caso los espesores de los espejos deben ser menores a las tres cuartas partes del diámetro exterior de los tubos para intercambiadores clase B y C, y al menos del mismo diámetro exterior de los tubos para los intercambiadores clase R.

El cálculo del espesor por flexión se hace por la siguiente ecuación (TEMA RCB-7.132):

$$T = \frac{FG}{3} \sqrt{\frac{P}{\eta S}} \quad (3.25)$$

El cálculo del espesor por cortante se hace por la siguiente ecuación (TEMA RCB-7.133):

$$T = \frac{0.31D_L}{\left(1 - \frac{d_0}{P}\right)} \left(\frac{P}{S}\right) \quad (3.26)$$

Cuando  $\frac{P}{S} < 1.6 \left(1 - \frac{d_0}{P}\right)^2$ , no se considera el esfuerzo cortante.

Siendo:

T: Espesor efectivo del espejo (plg).

S: Esfuerzo máximo permisible del material a la temperatura de diseño (lb/plg<sup>2</sup>).

P: Presión de diseño depende del tipo de soporte del espejo de tubos que se use (lb/plg<sup>2</sup>).

F: Constante que depende del tipo de espejo. El valor de F varía entre 0.8 y 1.25. F se puede evaluar por medio de la figura 3.18.1. La curva U se usa para espejos no fijos, y la curva H se usa para espejos fijos.

G: Diámetro medio del empaque o la carcaza (plg).

$\eta$ : Constante que depende del tipo de arreglo.

$$\eta = 1 - \frac{0.785}{\left[\frac{P}{d_0}\right]^2} \quad \text{para arreglos cuadrados}$$

$$\eta = 1 - \frac{0.907}{\left[\frac{P}{d_0}\right]^2} \quad \text{Para arreglos triangulares}$$

$D_L$ : Diámetro equivalente del espejo ( $D_L=4A/C$  en plg).

P: Paso de tubos (plg).

$d_0$ : Diámetro exterior de tubos (plg).

C: Perímetro de los tubos periféricos del espejo (ver figura 3.19) (plg).

A: Superficie del área encerrada por el perímetro C (plg<sup>2</sup>).

Para el caso particular de espejos fijos:

**\* Presión efectiva de diseño del lado de carcaza.**

La presión efectiva de diseño del lado de carcaza es la que resulte mayor en valor absoluto entre las siguientes:

$$P = \frac{P_{s'} - P_d}{2} \quad (3.27.1)$$

$$P = P_{s'} \quad (3.27.2)$$

$$P = P_{BS} \quad (3.27.3)$$

$$P = \frac{P_{s'} - P_d - P_{BS}}{2} \quad (3.27.4)$$

$$P = \frac{P_{BS} + P_d}{2} \quad (3.27.5)$$

$$P = P_{s'} - P_{BS} \quad (3.27.6)$$

Siendo:

$$P_{s'} = P_s \left\{ \frac{0.4J[1.5 + K(1.5 + f_s)] - \left[ \left( \frac{1-J}{2} \right) \left( \frac{D_f^2}{G^2} \right) - 1 \right]}{1 + JK F_q} \right\} \quad (3.28)$$

Donde:

UNIVERSIDAD AUTÓNOMA DE NUEVO LEÓN

DIRECCIÓN GENERAL DE BIBLIOTECAS

$P_s$ : Presión de diseño en el lado de la coraza (lb/plg<sup>2</sup>).

$$f_s = 1 - N \left( \frac{d_o}{C} \right)^2 \quad (3.29)$$

N: Número de tubos.

$d_o$ : Diámetro exterior de tubos (plg).

G: Diámetro interior de carcaza (plg).

$D_j$ : Diámetro interior de la junta de expansión de fuelle (en la carcaza), (plg). Cuando hay junta de expansión,  $D_j=C$ .

$$J = \frac{S_j L}{S_j L + \pi(D_0 - t_s)t_s E_s}, \text{ para carcazas con junta de expansión} \quad (3.30)$$

$J=1$  Para carcazas sin junta de expansión.

$S_j$ : Constante de resorte de la junta de expansión (lb/plg<sup>2</sup>).

$L$ : Longitud de tubos entre espejos (plg).

$D_0$ : Diámetro exterior de la carcaza (plg).

$t_s$ : Espesor de la pared de la carcaza (plg).

$E_s$ : Módulo de elasticidad del material de la carcaza, a la temperatura media (lb/plg<sup>2</sup>).

$$K = \frac{E_s t_s (D_0 - t_s)}{E_t t_i N (d_0 - t_i)} \quad (3.31)$$

$E_t$ : Módulo de elasticidad del material del tubo, a la temperatura media (lb/plg<sup>2</sup>).

$T_i$ : Espesor de la pared del tubo (plg).

$$F_q = 0.25 + (F - 0.6) \left[ \frac{300 t_s E_s \left( \frac{C}{T} \right)^3}{KLE} \right]^{1/4} \quad (3.32)$$

$E$ : Módulo de elasticidad del material del espejo a la temperatura del metal (lb/plg<sup>2</sup>).

$T$ : Espesor del espejo, que no debe resultar menor que el 98.5% del calculado por la ecuación (3.25) y (3.26).

$$P_d = \frac{4JE_s t_s \left( \frac{NL}{L} \right)}{(D_0 - 3t_s)(1 + JK F_q)} \quad (3.33)$$

$P_d$ : Presión debida a la expansión térmica (lb/plg<sup>2</sup>).

$\Delta L$ : Expansión diferencial entre la carcaza y los tubos (plg).

$$\Delta L = L_t(\alpha_s(T_m - 70) - \alpha_T(t_M - 70)) \quad (3.34)$$

$\alpha_s$ : Coeficiente de expansión térmica de la coraza (plg/plg/°F) (tabla 3.4).

$\alpha_T$ : Coeficiente de expansión térmica de los tubos (plg/plg/°F) (tabla 3.4).

$T_m$ : Temperatura media de la carcaza (°F).

$t_M$ : Temperatura media de los tubos (°F).

$L$ : Longitud de tubos entre espejos (plg).

$$P_{BS} = \frac{6.2M_2}{F^2G^3} \quad (3.35)$$

$P_{BS}$ : Presión equivalente de pernos cuando no actúa la presión del lado de tubos (lb/plg<sup>2</sup>).

$M_2$ : Momento total actuante sobre la extensión bajo condiciones de apemado (lb/plg).

#### **\* Presión efectiva de diseño del lado de tubos.**

La presión efectiva de diseño del lado de tubos es la que resulte mayor absoluto entre las siguientes:

$$P = \frac{P_t + P_{Bt} + P_d}{2} \quad (3.35.1)$$

$$P = P_p + P_{Bt} \quad (3.35.2)$$

$$P = \frac{P_t + P_s + P_{Bt} + P_d}{2} \quad (3.36.3)$$

$$P = P_r - P_s + P_{Bt} \quad (3.36.4)$$

Siendo:

$$P_r = P_t \left[ \frac{1 + 0.4JK(1.5 + f_t)}{1 + JK F_q} \right] \quad (3.37)$$

$P_t$ : Presión de diseño del lado de tubos (lb/plg<sup>2</sup>) (para presión de vacío,  $P_t$  es negativa).

$$f_t = 1 - N \left[ \frac{d_0 - 2t_t}{G} \right]^2$$

(3.38)

$P_{Bt}$ : Presión equivalente de pernos cuando actúa la presión del lado de tubos (lb/plg<sup>2</sup>).

$$P_{Bt} = \frac{6.2M_1}{F^2 G^3}$$

(3.39)

$M_1$ : Momento total actuante sobre la extensión bajo condiciones de operación.

DIRECCIÓN GENERAL DE BIBLIOTECAS

Notas:

1. El signo algebraico de  $P_t$ , debe conservarse en donde se aplique.
2. Cuando  $J=0$ 
  - a) No se aplican las ecuaciones que contienen  $P_d$ .
  - b) Cuando  $P_s$  y  $P_t$  son positivas, se aplica la siguiente ecuación:

$$P = P_t + \frac{P_s}{2} \left[ \left( \frac{D_j}{C} \right) - 1 \right] + P_{Bt} \quad (3.40)$$

\* **Presión efectiva diferencial de diseño.**

En determinadas circunstancias se permite que el diseño se realice en base a la presión del lado de carcaza y del lado de tubos. En esas circunstancias se usa el valor que resulte mayor en valor absoluto entre las siguientes ecuaciones:

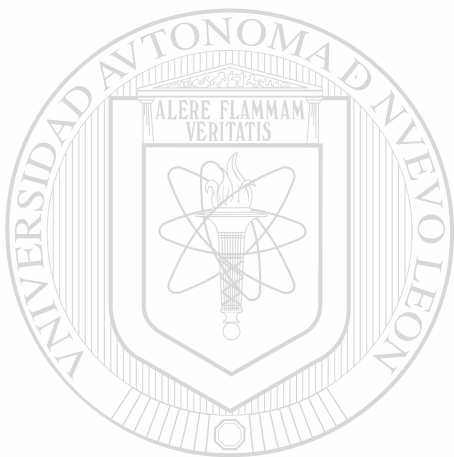
$$P = P_r - P_s + P_{Bt} \quad (3.41.1)$$

$$P = \frac{P_r + P_s + P_{Bt} + P_d}{2} \quad (3.41.2)$$

$$P = P_{BS} \quad (3.41.3)$$

$$P = \frac{P_{BS} + P_d}{2} \quad (3.41.4)$$

$$P = P_r - P_s \quad (3.41.5)$$



UNIVERSIDAD AUTÓNOMA DE NUEVO LEÓN

$$P = \frac{P_r + P_s + P_d}{2} \quad (3.41.6) \text{ ®}$$

DIRECCIÓN GENERAL DE BIBLIOTECAS

$$P = P_{Bt} \quad (3.41.7)$$



### 3.2.4. Diseño de tubos.

El TEMA indica (RCB-2.1 y RCB-2.2) que los tubos que se usan para equipos de transferencia de calor deben ser calibrados e identificados por la nomenclatura BWG (Birmingham Wire Gage); en la tabla 3.5 se muestran los calibres de los tubos más comunes en cobre, acero y aleaciones.

Las longitudes de los tubos más comúnmente usadas son 98, 120, 144, 192 y 240 plg.

El código ASME en sus artículos UG-28 y UG-31 permiten el cálculo de espesores de diseño, e indican el procedimiento a usar.

#### 3.2.4.1. Por presión Interna.

El espesor mínimo del tubo sometido a la presión interna  $P$ , debe ser el que resulte mayor por cálculo de esfuerzos circunferenciales (tangenciales) y longitudinales:

- Esfuerzo Circunferencial.

$$t = \frac{PR}{SE - 0.6P} \quad (3.1)$$

- Esfuerzo Longitudinal.

$$t = \frac{PR}{2SE + 0.4P} \quad (3.2)$$

Cuando se trata de tubos sin costura,  $E=1$ ; para tubos con costura, se considera esfuerzo máximo posible, para tubos que ya consideran la eficiencia de la junta.

### 3.2.4.2. Por Presión Externa.

El procedimiento para el diseño de tubos por presión es el siguiente:

**\* Para tubos con relación  $D_0/t \geq 10$ .**

1. Se determina  $L/D_0$  y  $D_0/t$  con el valor de  $t$  propuesto.

$L$  = Longitud del tubo entre espejos (plg).

$D_0$  = Diámetro exterior de los tubos (plg).

2. Se calcula el factor  $A$  por medio de la figura 3.4, haciendo coincidir el valor de  $L/D_0$  mayores a 50, se usa el de  $L/D_0 = 50$ .

3. Se calcula el factor  $B$  por medio de las figuras 3.5 a 3.9.

4. Se calcula la presión máxima permisible  $P_a$  para el tubo por la ecuación:

$$P_a = \frac{4B}{3(D_0/t)} \quad (3.4)$$

5. Cuando no se puede obtener el valor de  $B$  gráficamente, la presión máxima permisible  $P_a$ , se calcula por la siguiente ecuación:

$$P_a = \frac{2AE}{3(D_0/t)} \quad (3.5)$$

$E$ : Módulo de elasticidad del material (lb/plg<sup>2</sup>).

6. Se compara el valor calculado  $P_a$  con el valor de la presión externa de diseño:

Si  $P_a \geq P$  el espesor  $t$  supuesto es correcto;

Si  $P_a < P$  el espesor  $t$  supuesto no es correcto, y debe iniciarse nuevamente el procedimiento con el valor mayor de  $t$ .

**\* Para tubos con  $D_0/t < 10$ .**

1) Usando el mismo procedimiento anterior se calcula  $B$ . Cuando la relación  $D_0/t < 4$ , el factor  $A$  se calcula por:

$$A = \frac{11}{(D_0/t)^2} \quad (3.6)$$

Para valores de  $A$  mayores a 0.10, se usa 0.10.

2) Se calcula  $Pa_1$ :

$$Pa_1 = \left[ \frac{2.167}{D_0/t} - 0.0833 \right] B \quad (3.7)$$

3) Se calcula  $Pa_2$ :

$$Pa_2 = \frac{2S^*}{(D_0/t)} \left[ 1 - \frac{1}{(D_0/t)} \right] \quad (3.8)$$

Siendo  $S^*$  el menor valor de 2 veces el esfuerzo máximo permisible del material, o 0.9 veces el esfuerzo de cedencia del material.

4)  $Pa$  se selecciona como el menor valor calculado de  $Pa_1$  y  $Pa_2$ , y se compara con la presión externa de diseño:

Si  $P_a \geq P$  el espesor  $t$  supuesto es correcto.

Si  $P_a < P$  el espesor  $t$  supuesto no es correcto, y debe iniciarse nuevamente el procedimiento con un valor mayor de  $t$ .

El TEMA, en su sección 9 proporciona una tabla en la que relaciona la máxima presión interna admisible con los esfuerzos máximos permisibles del material, como se muestra en la Tabla 3.6.

### 3.2.5. Diseño de Bridas.

Las Bridas son elementos que se utilizan para unir diferentes elementos de los equipos de transferencia de calor.

De acuerdo a su forma, se conocen las siguientes Bridas:

- Brida de cuello soldable.
- Brida deslizable.
- Brida roscada.
- Brida de traslape.
- Brida de ciega.

UNIVERSIDAD AUTÓNOMA DE NUEVO LEÓN

Los diferentes tipos de Bridas se muestran en la figura 3.20

DIRECCIÓN GENERAL DE BIBLIOTECAS

#### 3.2.5.1 Espesor de la Brida.

El diseño adecuado de las bridas no es sencillo, pero se puede iniciar con el cálculo del espesor, cuya expresión es la siguiente:

$$t = 0.72 \sqrt{MY / S_f} \quad (3.42)$$

Siendo:

$M$  = Momento Total de diseño (lb/plg).

$Y$  = Factor de forma de la brida.

$S_f$  = Esfuerzo del material de la brida a las condiciones de diseño (lb/plg<sup>2</sup>).

Para comprender los términos anteriores se usa la figura 3.21

\* Cálculo de momentos que actúan sobre la brida.

$$M_o = H_D h_D \quad (3.43)$$

$H_D$  : Fuerza Hidrostática sobre el área interior de la brida (lb).

$$H_D = \pi B^2 P / 4 \quad (3.44)$$

$h_D$  : Distancia del brazo de la palanca (plg).

$B$  : Diámetro interior de la brida (plg).

$P$  : Presión de diseño (lb/plg<sup>2</sup>).

$$M_G = H_G h_G \quad (3.45)$$

$H_G$  : Carga sobre el empaque (lb).

$h_G$  : Distancia del brazo de la palanca (plg).

$$H_G = W - H \quad (3.46)$$

$W$  : Carga de los pernos de diseño de bridas.

$$W = (Ab + Am) Sa / 2 \quad (3.47)$$

**H** : Fuerza Hidrostática total en el área del diámetro medio del empaque (lb).

$$H = \pi G^2 P / 4 \quad (3.48)$$

**Ab** : Área de la sección transversal de pernos usando el diámetro más pequeño de la sección sin rosca ( $\text{plg}^2$ ).

**Am** : Área de la sección transversal de pernos requerida ( $\text{plg}^2$ ), tomar la mayor de **Am1** y **Am2**.

**Am1** : Área de la sección de los pernos en la raíz de la rosca, a las condiciones de operación ( $\text{plg}^2$ ).

**Am2** : Área de la sección transversal de los pernos en la raíz de la rosca, a las condiciones de asentamiento del empaque ( $\text{plg}^2$ ).

**S<sub>a</sub>** : Esfuerzo permisible del material de los pernos a la temperatura ambiente ( $\text{lb/plg}^2$ ).

**G** : Diámetro medio del empaque (plg).

$$M_T = H_T h_T \quad (3.49)$$

$$H_T = H - H_D \quad (3.50)$$

**h<sub>T</sub>**: Distancia total en condiciones de operación es:

El momento total en condiciones de asentamiento del empaque es:

$$M_A = W h_G \quad (3.51)$$

El código exige que el diseño de las bridas se haga para las dos condiciones anteriores de momentos.

**\* Cálculo del factor de forma.**

Se parte del cálculo de la relación:

$$K = A / B \quad (3.52)$$

A: Diámetro exterior de la brida (plg).

Con el valor K calculado se puede obtener mediante la tabla 3.7, el factor de forma y correspondiente.

**3.2.5.2. Empaque.**

Se calculan dos fuerzas que se ejercen sobre el empaque: la requerida para asentar el empaque, y las condiciones de operación.

La fuerza requerida para asentar el empaque está dada por:

$$W_{m2} = b \pi G y \quad (3.53)$$

Siendo:

b: Ancho efectivo de asentamiento de la superficie de contacto del empaque (plg).

y: Factor de asentamiento del empaque por unidad de superficie de contacto (lb/plg<sup>2</sup>).

Ver figura 3.17.

En la figura 3.16 se muestran diferentes situaciones para las que se indica como se obtiene el ancho efectivo de asentamiento del empaque  $b$ , y el brazo de palanca  $h_G$ .

La fuerza requerida para mantener el empaque hermético en condiciones de operación, está dada por:

$$W_{m1} = \frac{\pi G^2 P}{4} + 2b\pi GmP \quad (3.54)$$

$m$ : Factor de asentamiento del empaque. Ver figura 3.17.

El cálculo de ancho del empaque está dado por la siguiente ecuación:

$$\frac{d_0}{d_1} = \left( \frac{y - Pm}{y - P(m+1)} \right) \quad (3.55)$$

Siendo:

$d_0$ : Diámetro exterior del empaque (plg).

$d_1$ : Diámetro interior del empaque (plg).

UNIVERSIDAD AUTÓNOMA DE NUEVO LEÓN  
 El TEMA recomienda que el ancho del empaque debe ser cuando menos 3/8" para ®  
 diámetros menores a 23" y de 1/2" para diámetros mayores.  
 DIRECCIÓN GENERAL DE BIBLIOTECAS

### 3.2.5.3. Pernos.

El TEMA en RCB-11, recomienda que el diámetro mínimo de pernos debe ser de 1/2" para intercambiadores tipo R, de 5/8" para el tipo B y de 1/2" para el tipo C.



En la tabla 3.8 se presentan las principales características de los pernos y de algunas dimensiones principales en la colocación y el espaciamiento mínimo recomendado entre pernos.

El espaciamiento máximo recomendado entre centros de pernos está dado por la siguiente ecuación:

$$B_{max} = 2d_B + \frac{6t}{(m + 0.5)} \quad (3.56)$$

Siendo:

$B_{max}$ : Espaciamiento máximo entre pernos (plg).

$d_B$ : Diámetro nominal de pernos (plg).

$t$ : Espesor de la brida (plg).

$m$ : Factor de asentamiento del empaque.

### 3.2.6. Diseño de Boquillas (Registros).

Para colocar una boquilla o registro en la carcasa de un equipo para transferencia de calor, se requiere de refuerzos para evitar la rotura. El código ASME, en su sección UG proporciona las reglas a seguir para el diseño de esos refuerzos.

De la figura 3.22, en la que se muestra la colocación del refuerzo, se observa que el área total de la sección transversal del refuerzo,  $A$ ,

Se calcula por:

$$A = d \times t \quad (3.57)$$

Siendo:

d: Diámetro de la abertura para la boquilla (plg).

t: Espesor del recipiente (plg).

La extensión del refuerzo se calcula por la siguiente relación:

$$\frac{d'-d}{2} \leq \sqrt{Rt} \quad (3.58)$$

Donde:

d': Diámetro de la extensión del refuerzo (plg).

R: Radio de curvatura de la carcaza (plg).

### 3.2.7. Diseño de Deflectores.

Estos elementos cumplen con la función de desviar los fluidos y a la vez evitar vibraciones excesivas en los tubos. Sus características geométricas se muestran en la figura 3.23.

En la tabla 3.9 se encuentran los espesores de deflectores recomendados por el TEMA para diferentes situaciones. También recomienda que el espacio mínimo entre deflectores no debe ser menor que 1/5 del diámetro interior de la carcaza.

**Tabla 3.1. Espesor mínimo de la carcaza (todas las dimensiones en pulgadas). Intercambiador tipo R\***

Diámetro nominal de la carcaza	Espesor mínimo		
	Acero al carbón		Aleación
	Tubo	Placa	
6	Ced 40	-	1/8
8 - 12	Ced 30	-	1/8
13 - 29	3/8	3/8	3/16
30 - 39	-	7/16	1/4
40 - 60	-	1/2	5/16

\* El TEMA define al intercambiador tipo R, como el usado en aplicaciones de la industria petrolera y en aplicaciones de procesos. Sin incluir corrosión que dependerá de la aplicación.

UNIVERSIDAD AUTÓNOMA DE NUEVO LEÓN

DIRECCIÓN GENERAL DE BIBLIOTECAS



**Tabla 3.2. Espesor mínimo de la carcaza (todas las dimensiones en pulgadas). Intercambiador tipo C\* y B\*\***

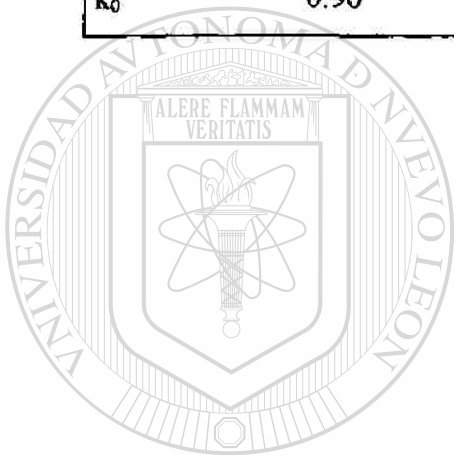
Diámetro nominal de la carcaza	Espesor mínimo		
	Acero al carbón		Aleación
	Tubo	Placa	
6	Ced 40	-	1/8
8 - 12	Ced 30	-	1/8
13 - 23	Ced 20	5/16	1/8
24-29	-	5/16	3/16
30 - 39	-	3/8	1/4
40 - 60	-	7/16	1/4

\* El TEMA define al intercambiador tipo C, como el usado en aplicaciones comerciales.

\*\* El TEMA define al intercambiador tipo B, como el usado en aplicaciones de procesos químicos.

**Tabla 3.3. Valor de  $K_0$  para tapas semielípticas sometidas a presión externa. Se permite la interpolación.**

$D_0/2h_0$	...	3.0	2.8	2.6	2.4	2.2
$k_0$	...	1.36	1.27	1.18	1.08	0.99
$d_0/2h_0$	2.0	1.8	1.6	1.4	1.2	1.0
$k_0$	0.90	0.81	0.81	0.65	0.57	0.50



# UANL

UNIVERSIDAD AUTÓNOMA DE NUEVO LEÓN



DIRECCIÓN GENERAL DE BIBLIOTECAS

**Tabla 3.4. Coeficientes medios de expansión Térmica**

MATERIAL	TEMP. °F	PULG. POR PULG. POR °F X 10 <sup>6</sup> , ENTRE 70 °F Y							
		-200	-100	100	200	300	400	500	600
AC. AL CARBÓN Y C-MN		5.60	5.90	6.50	6.67	6.87	7.07	7.25	7.42
AC. C-Si, C-1/2 Mo & 1 Cr-1/2 Mo		5.60	5.64	5.73	6.09	6.43	6.74	7.06	7.28
AC. C-Mn-Si, 1-1/4 Cr-1/2 Mo & 3 Cr-1 Mo				5.53	5.89	6.26	6.61	6.91	7.17
AC. Mn-Mo		5.60	6.08	7.06	7.25	7.43	7.58	7.70	7.83
2-1/2 & 3-1/2 Ni				6.27	6.54	6.78	6.98	7.16	7.32
2-1/4 Cr-1 Mo		5.60	5.90	6.50	6.70	6.90	7.07	7.23	7.38
5 Cr-1/2 Mo		5.60	5.90	6.50	6.73	6.87	6.97	7.05	7.15
7 Cr-1/2 Mo & 9 Cr-1 Mo		5.60	5.68	5.85	6.02	6.15	6.29	6.40	6.51
12 Cr & 13 Cr		5.10	5.39	5.98	6.15	6.30	6.40	6.48	6.53
15 Cr & 17 Cr		5.10	5.19	5.37	5.52	5.65	5.75	5.85	5.95
TODOS LOS GRADOS DE AI									
316 & 317				8.54	8.76	8.97	9.21	9.42	9.60
TP 304				8.55	8.79	9.00	9.19	9.37	9.53
TP 321				9.02	9.16	9.26	9.34	9.42	9.48
TP 347				8.62	8.92	9.22	9.45	9.65	9.83
25 Cr-12 Ni, 23 Cr-12 Ni & 25 Cr-20 Ni				8.87	9.02	9.10	9.14	9.18	9.21
ALUMINIO (3003)		11.80	12.04	12.54	12.8	13.1	13.4		
ALUMINIO (6061)		11.80	12.06	12.60	12.9	13.2	13.5		
TITANIO (GRAD. 1,2,3,7)				4.65	4.70	4.75	4.80	4.85	4.90
Ni-Cu (aleación 400)				7.78	8.08	8.33	8.54	8.69	8.81
Ni-Cr-Fe (aleación 600)				6.90	7.20	7.40	7.57	7.70	7.82
Ni-Fe-Cr (AL. 800, 800H)				7.95	6.34	8.60	8.78	8.92	9.00
Ni-Fe-Cr-Mo-Cu (AL. 825)				7.53	7.71	7.85	7.97	8.08	8.20
Ni-Mo (AL. B)				6.08	6.24	6.35	6.40	6.41	6.47
Ni-Mo-Cr (AL. C-276)				6.06	6.30	6.50	6.71	6.91	7.08
Ni (AL. 200)		6.20	6.39	6.77	7.21	7.52	7.74	7.91	8.05
70 -30 Cu-Ni					8.50	8.70	8.90		
90 - 10 & 80 - 20 Cu-Ni						9.50	9.80		
COBRE		8.60	9.00	9.40	9.60	9.70	10.2	9.90	10.1
LATÓN		9.10	9.30	9.60	9.70	10.0		10.5	10.7
BRONCE ALUMINIO								9.00	
COBRE - SILICON								10.0	
ADMIRALTY									11.2
ZIRCONIA				3.20		3.50	3.70	3.90	
Cr-Ni-Fe-Mo-Cu-Cb (ALEACIÓN 20Cb)				8.30	8.30				
Ni-Cr-Mo-Cb (ALEACIÓN 625)		5.20	6.20	6.80	7.10	7.20	7.30	7.35	7.40

DIRECCIÓN GENERAL DE BIBLIOTECAS

Tabla 3.4. (Continuación)

MATERIAL	TEMP. °F	PULG. POR PULG. POR °F X 10 <sup>6</sup> , ENTRE 70 °F Y							
		700	800	900	1000	1100	1200	1300	1400
AC. AL CARBÓN Y C-MN		7.59	7.76	7.89					
AC. C-Si, C-1/2 Mo & 1 Cr-1/2 Mo		7.51	7.71	7.86	8.00				
AC. C-Mn-Si, 1-1/4 Cr-1/2 Mo & 3 Cr-1 Mo		7.41	7.59	7.77	7.94	8.07	8.24		
AC. Mn-Mo		7.94	8.05	8.14	8.23				
2-1/2 & 3-1/2 Ni		7.47	7.61						
2-1/4 Cr-1 Mo		7.50	7.62	7.72	7.82	7.90	7.97		
5 Cr-1/2 Mo		7.24	7.32	7.41	7.48	7.56	7.64		
7 Cr-1/2 Mo & 9 Cr-1 Mo		6.62	6.71	6.82	6.90	7.00	7.08		
12 Cr & 13 Cr		6.60	6.67	6.72	6.78	6.83	6.88		
15 Cr & 17 Cr		6.05	6.13	6.22	6.30	6.37	6.44		
TODOS LOS GRADOS DE AI									
316 & 317		9.76	9.90	10.0	10.1	10.2	10.4	10.5	10.6
TP 304		9.69	9.82	9.95	10.0	10.1	10.2	10.3	10.4
TP 321		9.55	9.61	9.67	9.73	9.79	9.85	9.90	9.95
TP 347		9.97	10.0	10.2	10.3	10.4	10.5	10.6	10.7
25 Cr-12 Ni, 23 Cr-12 Ni & 25 Cr-20 Ni		9.25	9.28	9.32	9.37	9.41	9.47	9.54	9.62
ALUMINIO (3003)									
ALUMINIO (6061)									
TITANIO (GRAD. 1,2,3,7)		4.97	5.05						
Ni-Cu (aleación 400)		8.88	8.91						
Ni-Cr-Fe (aleación 600)		7.94	8.04						
Ni-Fe-Cr (AL. 800, 800H)		9.11	9.20	9.30	9.40				
Ni-Fe-Cr-Mo-Cu (AL. 825)		8.30	8.40						
Ni-Mo (AL. B)		6.57	6.68						
Ni-Mo-Cr (AL. C-276)		7.22	7.33						
Ni (AL. 200)		8.16	8.27	8.50	8.60	8.70	8.80	8.90	8.90
70-30 Cu-Ni									
90-10 & 80-20 Cu-Ni									
COBRE		10.2	10.3	10.4	10.5				
LATÓN		10.9	11.2	11.4	11.6	11.9	12.1		
BRONCE ALUMINIO									
COBRE - SILICON									
ADMIRALTY									
ZIRCONIA		4.10							
Cr-Ni-Fe-Mo-Cu-Cb (ALEACIÓN 20Cb)				9.40				9.60	
Ni-Cr-Mo-Cb (ALEACIÓN 625)		7.50	7.60	7.70	7.80	8.00	8.20	8.35	8.50

DIRECCIÓN GENERAL DE BIBLIOTECAS

**Tabla 3.5. Calibres de los tubos más comunes en Cobre, Acero y Aleaciones.**

<b>DIÁMETROS DE TUBOS Y CALIBRES</b>			
<b>D E pulg.</b>	<b>COBRE Y ALEACIONES DE Cu</b>	<b>ACERO AL CARBÓN, ALUMINIO Y ALEACIONES DE ALUMINIO</b>	<b>OTRAS ALEACIONES</b>
	<b>B W G</b>	<b>B W G</b>	<b>B W G</b>
1/4	27	-	27
	24	-	24
	22	-	22
3/8	22	-	22
	20	-	20
	18	-	18
1/2	20	-	20
	18	-	18
5/8	20	18	20
	18	16	18
	16	14	16
3/4	20	16	18
	18	14	16
	16	12	14
7/8	18	14	16
	16	12	14
	14	10	12
	12	-	-
1	18	14	18
	16	12	14
	14	-	12
1 - 1/4	16	14	14
	14	12	12
1 - 1/2	16	14	14
	14	12	12
2	14	14	14
	12	12	12



**Tabla 3.6. Presión interna de trabajo (psi) de tubos a diferentes valores de esfuerzos permisibles.**

DE pulg	CALIBRE DE TUBO B W G	ESFUERZOS PERMISIBLES (PSI)									
		2000	4000	6000	8000	10000	12000	14000	16000	18000	20000
¼	27	269	539	809	1079	1349	1618	1888	2158	2428	2698
	26	305	611	916	1222	1528	1833	2139	2444	2750	3056
	24	378	757	1135	1514	1893	2271	2650	3029	3407	3786
	23	439	869	1304	1739	2173	2608	3043	3478	3913	4347
	22	492	984	1476	1968	2460	2952	3444	3936	4428	4920
	21	570	1140	1711	2281	2852	3422	3992	4563	5133	5704
	20	630	1261	1891	2522	3153	3783	4414	5045	5675	6308
	19	776	1552	2329	3105	3881	4658	5434	6210	6987	7763
	18	929	1859	2789	3719	4648	5578	6508	7438	8368	9297
	3/8	24	246	492	738	984	1231	1477	1723	1969	2216
22		317	635	952	1270	1588	1905	2223	2451	2858	3176
21		366	732	1099	1465	1831	2198	2564	2930	3297	3663
20		403	806	1210	1613	2017	2420	2824	3227	3631	4034
19		492	984	1476	1968	2460	2952	3444	3936	4428	4920
18		583	1167	1751	2334	2918	3502	4085	4669	5253	5836
17		706	1412	2118	2824	3530	4236	4942	5648	6354	7060
16		804	1609	2414	3219	4024	4829	5634	6439	7244	8049
15		907	1814	2722	3629	4536	5444	6351	7258	8166	9073
14		1075	2151	3227	4303	5379	6454	7530	8606	9682	10758
½	22	234	469	703	938	1172	1407	1641	1876	2110	2345
	20	296	593	889	1186	1483	1779	2076	2372	2669	2966
	19	360	720	1080	1440	1801	2161	2521	2881	3241	3602
	18	425	850	1276	1701	2126	2552	2977	3402	3828	4253
	17	511	1022	1534	2045	2557	3068	3580	4091	4603	5114
	16	580	1160	1741	2321	2901	3484	4062	4642	5223	5803
	15	650	1301	1952	2603	3254	3905	4556	5207	5858	6509
	14	765	1531	2297	3062	3828	4594	5359	6125	6891	7556
	13	896	1792	2688	3584	4481	5377	6273	7169	8066	8962
	12	1056	2112	3168	4224	5281	6337	7393	8449	9505	10562
5/8	20	234	469	703	938	1172	1407	1641	1876	2110	2345
	19	284	568	852	1136	1420	1704	1988	2272	2556	2840
	18	334	669	1003	1338	1672	2007	2342	2676	3011	3345
	17	400	801	1202	1603	2004	2405	2806	3207	3608	4009
	16	453	907	1361	1815	2268	2722	3176	3660	4083	4537
	15	507	1015	1522	2030	2537	3045	3553	4060	4568	5075
	14	594	1188	1783	2377	2971	3566	4160	4754	5349	5943
	13	692	1384	2076	2768	3460	4153	4845	5537	6229	6921
	12	810	1621	2432	3242	4053	4864	5674	6485	7296	8107
	11	907	1814	2722	3629	4536	5444	6351	7258	8166	9073
10	1035	2070	3105	4140	5175	6210	7246	8281	9316	10351	

Tabla 3.6. (Continuación)

DE pulg	CALIBRE DE TUBO B W G	ESFUERZOS PERMISIBLES (PSI)									
		2000	4000	6000	8000	10000	12000	14000	16000	18000	20000
¾	20	193	387	581	775	969	1163	1357	1151	1745	1939
	18	275	551	827	1102	1378	1654	1930	2205	2481	2757
	17	329	659	989	1318	1648	1978	2308	2637	2967	3297
	16	372	744	1117	1489	1862	2234	2607	2679	3352	3724
	15	415	831	1247	1663	2079	2495	2911	3327	3743	4159
	14	485	971	1456	1942	2428	2913	3399	3885	4370	4856
	13	563	1127	1691	2255	2818	3382	3946	4510	5074	5637
	12	657	1315	1973	2631	3289	3946	4604	5262	5920	6578
	11	733	1467	2201	2935	3669	4403	5137	5871	6605	7339
	10	833	1667	2501	3335	4169	5003	5836	6670	7504	8338
	9	937	1874	2811	3749	4686	5623	6561	7498	8435	9373
8	1067	2135	3203	4271	5339	6407	7475	8543	9611	10679	
7/8	20	165	330	495	661	826	991	1157	1322	1487	
	18	234	469	703	938	1172	1407	1641	1876	2110	
	17	279	559	839	1119	1399	1679	1959	2239	2519	
	16	315	631	947	1263	1579	1895	2211	2527	2843	
	15	352	704	1057	1409	1761	2114	2466	2818	3171	
	14	410	821	1231	1642	2052	2463	2874	3284	3695	
	13	475	951	1426	1902	2377	2853	3329	3804	4280	
	12	553	1106	1660	2213	2767	3320	3874	4427	4980	
	11	616	1232	1848	2464	3080	3697	4313	4929	5545	
	10	698	1396	2094	2792	3490	4188	4886	5584	6282	
	9	782	1564	2347	3129	3912	4694	5477	6259	7042	
8	888	1776	2664	3553	4441	5329	6218	7106	7994		
1	20	144	288	432	576	720	864	1008	1152	1296	1440
	18	203	407	611	815	1019	1223	1427	1631	1835	2039
	17	243	486	729	973	1216	1459	1703	1946	2189	2432
	16	274	548	822	1097	1371	1645	1919	2194	2468	2742
	15	305	611	916	1222	1528	1833	2139	2444	2750	3056
	14	355	711	1066	1422	1778	2133	2489	2844	3200	3556
	13	411	822	1233	1645	2056	2467	2878	3290	3701	4112
	12	477	955	1432	1910	2388	2865	3343	3821	4298	4776
	11	530	1061	1592	2123	2654	3185	3716	4247	4778	5309
	10	600	1200	1801	2401	3001	3602	4202	4802	5403	6003
	9	671	1343	2014	2686	3357	4029	4700	5372	6043	6715
8	760	1520	2281	3041	3801	4562	5322	6082	6843	7603	

**Tabla 3.7 Factor de Forma de la Brida (Y)**

K	T	Z	Y	U	K	T	Z	Y	U
1.001	1.91	1000.5	1911.1	2100.1	1.051	1.89	20.12	38.68	42.51
1.002	1.91	500.50	956.16	1050.7	1.052	1.89	19.74	37.96	41.73
1.003	1.91	333.83	637.85	700.93	1.053	1.89	19.38	37.27	40.96
1.004	1.91	250.50	478.71	526.05	1.054	1.89	19.03	36.60	40.23
1.005	1.91	200.50	383.22	421.12	1.055	1.89	18.69	35.96	39.64
1.006	1.91	167.17	319.56	351.16	1.056	1.89	18.38	35.34	38.84
1.007	1.91	143.36	274.09	301.20	1.057	1.89	18.06	34.74	38.19
1.008	1.91	125.50	239.95	263.75	1.058	1.89	17.76	34.17	37.56
1.009	1.91	111.61	213.40	234.42	1.059	1.89	17.47	33.62	36.95
1.010	1.91	100.50	192.19	211.19	1.060	1.89	17.18	33.04	36.34
1.011	1.91	91.41	174.83	192.13	1.061	1.89	16.91	32.55	35.78
1.012	1.91	83.84	160.38	176.25	1.062	1.89	16.64	32.04	35.21
1.013	1.91	77.43	148.06	162.81	1.063	1.89	16.40	31.55	34.68
1.014	1.91	71.93	137.69	151.30	1.064	1.89	16.15	31.08	34.17
1.015	1.91	67.17	128.61	141.33	1.065	1.89	15.90	30.61	33.65
1.016	1.90	63.00	120.56	132.49	1.066	1.89	15.67	30.17	33.17
1.017	1.90	59.33	111.98	124.81	1.067	1.89	15.45	29.74	32.69
1.018	1.90	56.06	107.36	118.00	1.068	1.89	15.22	29.32	32.22
1.019	1.90	53.14	101.72	111.78	1.069	1.89	15.02	28.91	31.79
1.020	1.90	50.51	96.73	106.30	1.070	1.89	14.80	28.51	31.34
1.021	1.90	48.12	92.21	101.33	1.071	1.89	14.61	28.13	30.92
1.022	1.90	45.96	88.04	96.75	1.072	1.89	14.41	27.76	30.51
1.023	1.90	43.98	84.30	92.94	1.073	1.89	14.22	27.39	30.11
1.024	1.90	42.14	80.81	88.81	1.074	1.88	14.04	27.04	29.72
1.025	1.90	40.51	77.61	85.29	1.075	1.88	13.85	26.69	29.34
1.026	1.90	38.97	74.70	82.09	1.076	1.88	13.68	26.36	28.98
1.027	1.90	37.54	71.97	79.03	1.077	1.88	13.56	26.03	28.69
1.028	1.90	36.22	69.43	76.30	1.078	1.88	13.35	25.72	28.27
1.029	1.90	34.92	68.11	73.75	1.079	1.88	13.18	25.40	27.92
1.030	1.90	33.84	64.21	71.33	1.080	1.88	13.02	25.10	27.59
1.031	1.90	32.76	62.85	69.06	1.081	1.88	12.87	24.81	27.27
1.032	1.90	31.76	60.92	66.94	1.082	1.88	12.72	24.52	26.95
1.033	1.90	30.81	59.11	64.95	1.083	1.88	12.57	24.24	26.45
1.034	1.90	29.92	57.41	63.08	1.084	1.88	12.43	24.00	26.34
1.035	1.90	29.08	55.80	61.32	1.085	1.88	12.29	23.69	26.05
1.036	1.90	28.29	54.29	59.66	1.086	1.88	12.15	23.44	25.77
1.037	1.90	27.54	52.85	58.08	1.087	1.88	12.02	23.18	25.48
1.038	1.90	26.63	51.50	56.59	1.088	1.88	11.89	22.93	25.20
1.039	1.90	26.15	50.21	55.17	1.089	1.88	11.76	22.68	24.93
1.040	1.90	25.51	48.97	53.82	1.090	1.88	11.63	22.44	24.66
1.041	1.90	24.90	47.81	53.10	1.091	1.88	11.52	22.22	24.41
1.042	1.90	24.32	46.71	51.33	1.092	1.88	11.40	21.99	24.16
1.043	1.90	23.77	45.64	50.15	1.093	1.88	11.28	21.76	23.91
1.044	1.90	23.23	44.64	49.05	1.094	1.88	11.16	21.34	23.67
1.045	1.90	22.74	43.69	48.02	1.095	1.88	11.05	21.32	23.44
1.046	1.90	22.05	42.75	46.99	1.096	1.88	10.94	21.11	23.20
1.047	1.90	21.79	41.87	46.03	1.097	1.88	10.83	20.91	22.97
1.048	1.90	21.35	41.02	45.09	1.098	1.88	10.73	20.71	22.75
1.049	1.90	20.92	40.21	44.21	1.099	1.88	10.62	20.51	22.39
1.050	1.89	20.51	39.43	43.34	1.100	1.88	10.52	20.31	22.18

Tabla 3.7 (Continuación)

K	T	Z	Y	U	K	T	Z	Y	U
1.101	1.88	11.43	20.15	22.12	1.151	1.86	7.16	13.86	15.23
1.102	1.88	10.33	19.94	21.92	1.152	1.86	7.11	13.77	15.14
1.103	1.88	10.23	19.76	21.72	1.153	1.86	7.07	13.69	15.05
1.104	1.88	10.14	19.68	21.52	1.154	1.86	7.03	13.61	14.96
1.105	1.88	10.05	19.38	21.30	1.155	1.86	6.99	13.54	14.87
1.106	1.88	9.96	19.33	21.14	1.156	1.86	6.95	13.45	14.78
1.107	1.87	9.87	19.07	20.96	1.157	1.86	6.91	13.37	14.70
1.108	1.87	9.78	18.90	20.77	1.158	1.86	6.87	13.30	14.61
1.109	1.87	9.70	18.74	20.59	1.159	1.86	6.83	13.22	14.53
1.110	1.87	9.62	18.55	20.38	1.160	1.86	6.79	13.15	14.45
1.111	1.87	9.54	18.42	20.25	1.161	1.85	6.75	13.07	14.36
1.112	1.87	9.46	18.27	20.08	1.162	1.85	6.71	13.00	14.28
1.113	1.87	9.38	18.13	19.91	1.163	1.85	6.67	12.92	14.20
1.114	1.87	9.30	17.97	19.75	1.164	1.85	6.64	12.85	14.12
1.115	1.87	9.22	17.81	19.55	1.165	1.85	6.60	12.78	14.04
1.116	1.87	9.16	17.66	19.43	1.166	1.85	6.56	12.71	13.97
1.117	1.87	9.08	17.54	19.27	1.167	1.85	6.53	12.64	13.89
1.118	1.87	9.00	17.40	19.12	1.168	1.85	6.49	12.58	13.82
1.119	1.87	8.94	17.27	18.99	1.169	1.85	6.46	12.51	13.74
1.120	1.87	8.86	17.13	18.83	1.170	1.85	6.42	12.43	13.66
1.121	1.87	8.79	17.01	18.68	1.171	1.85	6.39	12.38	13.60
1.122	1.87	8.72	16.89	18.54	1.172	1.85	6.35	12.31	13.53
1.123	1.87	8.65	16.76	18.40	1.173	1.85	6.32	12.25	13.46
1.124	1.87	8.59	16.62	18.26	1.174	1.85	6.29	12.18	13.39
1.125	1.87	8.53	16.42	18.13	1.175	1.85	6.25	12.10	13.30
1.126	1.87	8.47	16.37	17.99	1.176	1.85	6.22	12.06	13.25
1.127	1.87	8.40	16.24	17.86	1.177	1.85	6.19	12.00	13.18
1.128	1.87	8.34	16.14	17.73	1.178	1.85	6.16	11.93	13.11
1.129	1.87	8.25	15.02	17.60	1.179	1.85	6.13	11.87	13.05
1.130	1.87	8.22	15.90	17.48	1.180	1.85	6.10	11.79	12.96
1.131	1.87	8.16	15.79	17.36	1.182	1.85	6.04	11.70	12.86
1.132	1.87	8.11	15.68	17.24	1.184	1.85	5.98	11.58	12.73
1.133	1.86	7.06	15.57	17.12	1.186	1.85	5.92	11.47	12.61
1.134	1.86	7.99	15.46	16.99	1.188	1.85	5.86	11.36	12.49
1.135	1.86	7.94	15.36	16.90	1.190	1.84	5.81	11.26	12.37
1.136	1.86	7.88	15.26	16.77	1.192	1.84	5.75	11.15	12.25
1.137	1.86	7.83	15.15	16.65	1.194	1.84	5.70	11.05	12.14
1.138	1.86	7.78	15.05	16.54	1.196	1.84	5.65	10.95	12.03
1.139	1.86	7.73	14.95	16.43	1.198	1.84	5.60	10.85	11.92
1.140	1.86	7.68	14.86	16.35	1.200	1.84	5.55	10.75	11.81
1.141	1.86	7.62	14.76	16.22	1.202	1.84	5.50	10.65	11.71
1.142	1.86	7.57	14.66	16.11	1.204	1.84	5.45	10.56	11.61
1.143	1.86	7.53	14.57	16.01	1.206	1.84	5.40	10.47	11.51
1.144	1.86	7.44	14.48	15.91	1.208	1.84	5.35	10.38	11.41
1.145	1.86	7.43	14.39	15.83	1.210	1.84	5.31	10.30	11.32
1.146	1.86	7.38	14.29	15.71	1.212	1.83	5.27	10.21	11.22
1.147	1.86	7.34	14.20	15.61	1.214	1.83	5.22	10.12	11.12
1.148	1.86	7.29	14.12	15.51	1.216	1.83	5.18	10.04	11.03
1.149	1.86	7.25	14.03	15.42	1.218	1.83	5.14	9.96	10.94
1.150	1.86	7.20	13.95	15.34	1.220	1.83	5.10	9.89	10.87

Tabla 3.7 (Continuación)

K	T	Z	Y	U	K	T	Z	Y	U
1.222	1.83	5.05	9.80	10.77	1.354	1.77	3.40	6.57	7.21
1.224	1.83	5.01	9.72	10.68	1.358	1.77	3.37	6.50	7.14
1.226	1.83	4.98	9.65	10.60	1.362	1.77	3.34	6.44	7.08
1.228	1.83	4.94	9.57	10.52	1.366	1.77	3.31	6.38	7.01
1.230	1.83	4.90	9.50	10.44	1.370	1.77	3.28	6.32	6.95
1.232	1.83	4.86	9.43	10.36	1.374	1.77	3.25	6.27	6.89
1.234	1.83	4.83	9.36	10.28	1.378	1.76	3.22	6.21	6.82
1.236	1.82	4.79	9.29	10.20	1.382	1.76	3.20	6.16	6.77
1.238	1.82	4.76	9.22	10.13	1.386	1.76	3.17	6.11	6.72
1.240	1.82	4.72	9.15	10.05	1.390	1.76	3.15	6.06	6.66
1.242	1.82	4.69	9.05	9.98	1.394	1.76	3.12	6.01	6.60
1.244	1.82	4.65	9.02	9.91	1.398	1.75	3.10	5.96	6.55
1.246	1.82	4.62	8.95	9.84	1.402	1.75	3.07	5.92	6.49
1.248	1.82	4.59	8.89	9.77	1.406	1.75	3.05	5.87	6.44
1.250	1.82	4.56	8.83	9.70	1.410	1.75	3.02	5.82	6.39
1.252	1.82	4.52	8.77	9.64	1.414	1.75	3.00	5.77	6.34
1.254	1.82	4.49	8.71	9.57	1.418	1.75	2.98	5.72	6.29
1.256	1.82	4.46	8.65	9.51	1.422	1.75	2.96	5.68	6.25
1.258	1.81	4.43	8.59	9.44	1.426	1.74	2.94	5.64	6.20
1.260	1.81	4.40	8.53	9.38	1.430	1.74	2.91	5.60	6.16
1.263	1.81	4.36	8.45	9.28	1.434	1.74	2.89	5.56	6.10
1.266	1.81	4.32	8.37	9.19	1.438	1.74	2.87	5.52	6.05
1.269	1.81	4.28	8.29	9.11	1.442	1.74	2.85	5.48	6.01
1.272	1.81	4.24	8.21	9.02	1.446	1.74	2.83	5.44	5.97
1.275	1.81	4.20	8.13	8.93	1.450	1.73	2.81	5.40	5.93
1.278	1.81	4.16	8.05	8.85	1.454	1.73	2.80	5.36	5.89
1.281	1.81	4.12	7.98	8.77	1.458	1.73	2.78	5.32	5.85
1.284	1.80	4.08	7.91	8.69	1.462	1.73	2.76	5.28	5.80
1.287	1.80	4.05	7.84	8.61	1.466	1.73	2.74	5.24	5.76
1.290	1.80	4.01	7.77	8.53	1.470	1.72	2.72	5.20	5.71
1.293	1.80	3.98	7.70	8.46	1.475	1.72	2.70	5.16	5.64
1.296	1.80	3.94	7.68	8.39	1.480	1.72	2.68	5.12	5.61
1.299	1.80	3.91	7.57	8.31	1.485	1.72	2.66	5.08	5.57
1.302	1.80	3.88	7.50	8.24	1.490	1.72	2.64	5.04	5.53
1.305	1.80	3.84	7.44	8.18	1.495	1.71	2.62	5.00	5.49
1.308	1.79	3.81	7.38	8.11	1.500	1.71	2.60	4.96	5.45
1.311	1.79	3.78	7.32	8.05	1.505	1.71	2.58	4.92	5.41
1.314	1.79	3.75	7.26	7.98	1.510	1.71	2.56	4.88	5.37
1.317	1.79	3.72	7.20	7.92	1.515	1.71	2.54	4.84	5.33
1.320	1.79	3.69	7.14	7.85	1.520	1.70	2.53	4.80	5.29
1.323	1.79	3.67	7.09	7.79	1.525	1.70	2.51	4.77	5.25
1.326	1.79	3.64	7.03	7.73	1.530	1.70	2.49	4.74	5.21
1.329	1.78	3.61	6.98	7.67	1.535	1.70	2.47	4.70	5.17
1.332	1.78	3.58	6.92	7.61	1.540	1.69	2.46	4.66	5.13
1.335	1.78	3.56	6.87	7.55	1.545	1.69	2.44	4.62	5.09
1.338	1.78	3.53	6.82	7.50	1.55	1.69	2.43	4.60	5.05
1.341	1.78	3.51	6.77	7.44	1.56	1.69	2.40	4.54	4.99
1.344	1.78	3.48	6.72	7.39	1.57	1.68	2.37	4.48	4.92
1.347	1.78	3.45	6.68	7.33	1.58	1.68	2.34	4.42	4.84
1.350	1.78	3.43	6.63	7.28	1.59	1.67	2.31	4.36	4.79

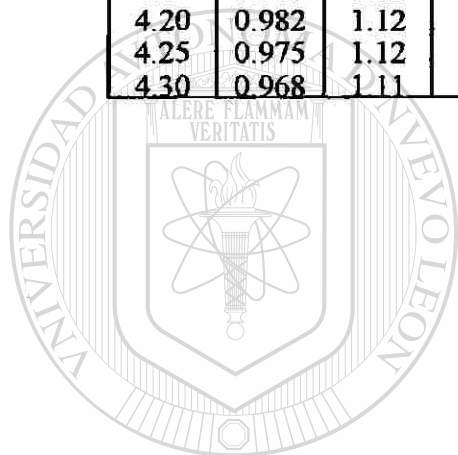
Tabla 3.7 (Continuación)

K	T	Z	Y	U	K	T	Z	Y	U
1.60	1.67	2.28	4.31	4.73	2.18	1.44	1.53	2.64	2.90
1.61	1.66	2.26	4.25	4.67	2.20	1.44	1.52	2.61	2.87
1.62	1.65	2.23	4.20	4.61	2.22	1.43	1.51	2.58	2.84
1.63	1.65	2.20	4.15	4.56	2.24	1.42	1.50	2.56	2.81
1.64	1.65	2.18	4.10	4.50	2.26	1.41	1.49	2.53	2.78
1.65	1.65	2.16	4.05	4.45	2.28	1.41	1.48	2.50	2.75
1.66	1.64	2.14	4.01	4.40	2.30	1.40	1.47	2.48	2.72
1.67	1.64	2.12	3.96	4.35	2.32	1.40	1.46	2.45	2.69
1.68	1.63	2.10	3.92	4.30	2.34	1.39	1.45	2.43	2.67
1.69	1.63	2.08	3.88	4.26	2.36	1.38	1.44	2.40	2.64
1.70	1.63	2.06	3.83	4.21	2.38	1.38	1.43	2.38	2.61
1.71	1.62	2.04	3.78	4.17	2.40	1.37	1.42	2.36	2.59
1.72	1.62	2.02	3.75	4.12	2.42	1.36	1.41	2.33	2.56
1.73	1.61	2.00	3.72	4.08	2.44	1.36	1.40	2.31	2.54
1.74	1.61	1.99	3.68	4.01	2.46	1.35	1.40	2.29	2.52
1.75	1.60	1.97	3.64	4.00	2.48	1.35	1.39	2.27	2.50
1.76	1.60	1.95	3.61	3.96	2.50	1.34	1.38	2.25	2.47
1.77	1.60	1.94	3.57	3.93	2.53	1.33	1.37	2.22	2.44
1.78	1.59	1.92	3.54	3.89	2.56	1.32	1.36	2.19	2.41
1.79	1.59	1.91	3.51	3.85	2.59	1.31	1.35	2.17	2.38
1.80	1.58	1.89	3.47	3.82	2.62	1.30	1.34	2.14	2.35
1.81	1.58	1.88	3.44	3.78	2.65	1.30	1.33	2.12	2.32
1.82	1.58	1.86	3.41	3.75	2.68	1.29	1.32	2.09	2.30
1.83	1.57	1.86	3.38	3.72	2.71	1.28	1.31	2.07	2.27
1.84	1.57	1.84	3.35	3.69	2.74	1.27	1.31	2.04	2.25
1.85	1.56	1.83	3.33	3.65	2.77	1.26	1.30	2.02	2.22
1.86	1.56	1.81	3.30	3.62	2.80	1.26	1.29	2.00	2.20
1.87	1.56	1.80	3.27	3.59	2.83	1.25	1.28	1.98	2.17
1.88	1.55	1.79	3.24	3.56	2.86	1.24	1.28	1.96	2.15
1.89	1.55	1.78	3.22	3.54	2.89	1.23	1.27	1.94	2.13
1.90	1.54	1.77	3.19	3.51	2.92	1.22	1.27	1.92	2.11
1.91	1.54	1.75	3.17	3.48	2.95	1.22	1.26	1.90	2.09
1.92	1.54	1.74	3.14	3.45	2.98	1.21	1.25	1.88	2.07
1.93	1.53	1.73	3.12	3.43	3.02	1.20	1.25	1.86	2.04
1.94	1.53	1.72	3.09	3.40	3.06	1.19	1.24	1.83	2.01
1.95	1.53	1.71	3.07	3.38	3.10	1.18	1.23	1.81	1.99
1.96	1.52	1.70	3.05	3.35	3.14	1.17	1.23	1.79	1.97
1.97	1.52	1.69	3.03	3.33	3.18	1.16	1.22	1.77	1.94
1.98	1.51	1.68	3.01	3.30	3.22	1.16	1.21	1.75	1.92
1.99	1.51	1.68	2.98	3.28	3.26	1.15	1.21	1.73	1.90
2.00	1.51	1.67	2.96	3.26	3.30	1.14	1.20	1.71	1.88
2.01	1.50	1.66	2.94	3.23	3.34	1.13	1.20	1.69	1.84
2.02	1.50	1.65	2.92	3.21	3.38	1.12	1.19	1.67	1.84
2.04	1.49	1.63	2.88	3.17	3.42	1.11	1.19	1.66	1.83
2.06	1.48	1.62	2.85	3.13	3.46	1.11	1.18	1.64	1.80
2.08	1.48	1.60	2.81	3.09	3.50	1.10	1.18	1.62	1.78
2.10	1.47	1.59	2.78	3.05	3.54	1.09	1.17	1.61	1.76
2.12	1.46	1.57	2.74	3.01	3.58	1.08	1.17	1.59	1.75
2.14	1.46	1.56	2.71	2.97	3.62	1.07	1.16	1.57	1.73
2.16	1.45	1.55	2.67	2.94	3.66	1.07	1.16	1.56	1.71

**Tabla 3.7 (Continuación)**

K	T	Z	Y	U
3.70	1.06	1.16	1.55	1.70
3.74	1.05	1.15	1.53	1.68
3.78	1.05	1.15	1.52	1.67
3.82	1.04	1.15	1.50	1.65
3.86	1.03	1.14	1.49	1.64
3.90	1.03	1.14	1.48	1.62
3.94	1.02	1.14	1.46	1.61
3.98	1.01	1.13	1.45	1.60
4.00	1.009	1.13	1.43	1.59
4.05	1.002	1.13	1.42	1.57
4.10	0.996	1.13	1.42	1.56
4.15	0.989	1.12	1.40	1.54
4.20	0.982	1.12	1.39	1.53
4.25	0.975	1.12	1.38	1.51
4.30	0.968	1.11	1.36	1.50

K	T	Z	Y	U
4.35	0.962	1.11	1.35	1.48
4.40	0.955	1.11	1.34	1.47
4.45	0.948	1.11	1.33	1.46
4.50	0.941	1.10	1.31	1.44
4.55	0.934	1.10	1.30	1.43
4.60	0.928	1.10	1.29	1.42
4.65	0.921	1.10	1.28	1.41
4.70	0.914	1.09	1.27	1.39
4.75	0.908	1.09	1.26	1.38
4.80	0.900	1.09	1.25	1.37
4.85	0.893	1.09	1.24	1.36
4.90	0.887	1.09	1.23	1.35
4.95	0.880	1.08	1.22	1.34
5.00	0.873	1.08	1.21	1.33



# UANL

UNIVERSIDAD AUTÓNOMA DE NUEVO LEÓN

DIRECCIÓN GENERAL DE BIBLIOTECAS



**Tabla 3.8. Pernos mínimos recomendados  
(Todas las dimensiones en plgs)**

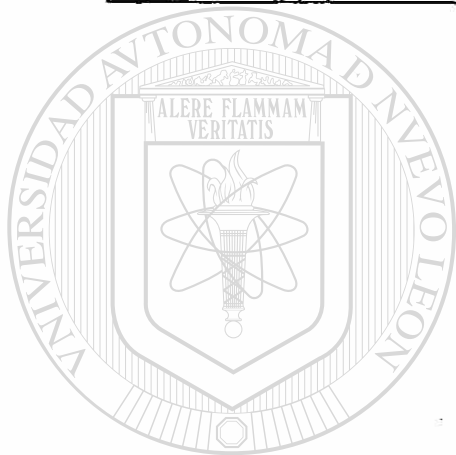
TAMAÑO DE PERNOS	CUERDAS		TUERCA		ESPACIO ENTRE PERNOS	DISTANCIA RADIAL	DISTANCIA AL EXTERIOR
	No. DE CUERDAS	ÁREA DE RAÍZ	ENTRE FLANCOS	ENTRE ESQUINAS			
1/2	13	0.12	7/8	0.969	1 1/4	13/16	5/8
5/8	11	0.20	1 1/16	1.175	1 1/2	15/16	3/4
3/4	10	0.30	1 1/4	1.383	1 3/4	1 1/8	13/16
7/8	9	0.41	1 7/16	1.589	2 1/16	1 1/4	15/16
1	8	0.55	1 5/8	1.796	2 1/4	1 3/8	1 1/16
1 1/8	8	0.72	1 13/16	2.002	2 1/4	1 1/2	1 1/8
1 1/4	8	0.92	2	2.209	2 13/16	1 3/4	1 1/4
1 3/8	8	1.15	2 3/16	2.416	3 1/16	1 7/8	1 3/8
1 1/2	8	1.40	2 3/8	2.622	3 1/4	2	1 1/2
1 5/8	8	1.68	2 9/16	2.828	3 1/2	2 1/8	
1 3/4	8	1.99	2 3/4	3.035	3 3/4	2 1/4	
1 7/8	8	2.30	2 15/16	3.242	4	2 3/8	
2	8	2.65	3 1/8	3.449	4 1/4	2 1/2	
2 1/4	8	3.42	3 1/2	3.862	4 3/4	2 3/4	
2 1/2	8	4.29	3 7/8	4.275	5 1/4	3 1/16	
2 3/4	8	5.25	4 1/4	4.688	5 3/4	3 3/8	
3	8	6.32	4 5/8	5.102	6 1/4	3 5/8	
3 1/4	8	7.48	5	5.515	6 5/8	3 3/4	
3 1/2	8	8.74	5 3/8	5.928	7 1/8	4 1/8	
3 3/4	8	10.1	5 3/4	6.341	7 5/8	4 7/16	
4	8	11.5	6 1/8	6.755	8 1/8	4 5/8	

DIRECCIÓN GENERAL DE BIBLIOTECAS  
Las dimensiones de las tuercas están basadas en la Norma Americana 318.2.2.



**Tabla 3.9. Espesores de deflectores (dimensiones en pulgadas).**

DIÁMETRO INTERIOR DE LA CARCAZA	ESPESOR DE PLACA				
	DISTANCIA ENTRE DEFLECTORES				
	24 Y MENORES	24 A 36	36 A 48	48 A 60	MAYOR A 60
6 - 14	1/8	3/16	¼	3/8	3/8
15 - 28	3/16	¼	3/8	3/8	½
29 - 38	5/15	5/16	3/8	½	5/8
39 - 60	3/8	3/8	1/2	5/8	5/8

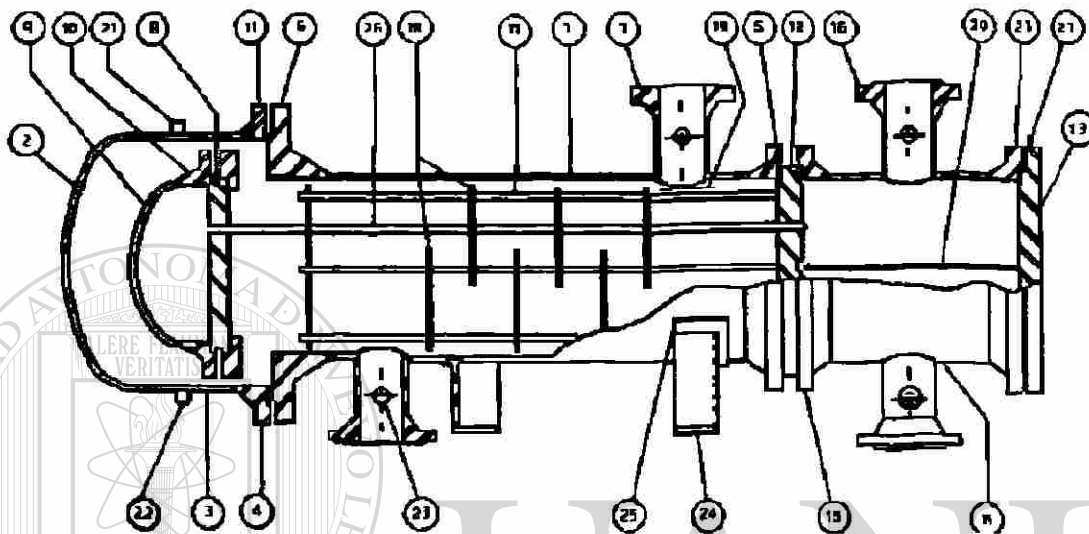


# UANL

UNIVERSIDAD AUTÓNOMA DE NUEVO LEÓN

DIRECCIÓN GENERAL DE BIBLIOTECAS





- |                                       |   |
|---------------------------------------|---|
| 1. Envolvente                         | 16. Boquilla de cabezal de distribución       |
| 2. Tapa de envoltorio                 | 17. Válvulas de amarre y espaciadores         |
| 3. Carrete cilíndrico                 | 18. Mamparas                                  |
| 4. Brida de tapa envoltorio           | 19. Placas de choque                          |
| 5. Brida de envoltorio a cabezal fijo | 20. Mampara divisoria                         |
| 6. Brida de envoltorio a la tapa      | 21. Conexión para venteo                      |
| 7. Boquilla de envoltorio             | 22. Conexión para drenaje                     |
| 8. Espejo flotante                    | 23. Conexión para medición de presión y temp. |
| 9. Tapa de cabezal flotante           | 24. Soporte tipo silleta                      |
| 10. Brida de tapa de cabezal flotante | 25. Refuerzo de silletas                      |
| 11. Contra brida                      | 26. Tubos                                     |
| 12. Espejo estacionario               | 27. Orejas Izaje                              |
| 13. Tapa de cabezal de distribución   |   |
| 14. Cabezal de distribución           |   |
| 15. Brida de cabezal de distribución  |   |







TIPOS DE UNIONES	EFICIENCIA DE LA UNIÓN CUANDO LA JUNTA ESTÁ		
	RADIOGRAFIADA AL 100%	RADIOGRAFIADA POR PUNTOS	SIN RADIOGRAFIAR
	1.00	0.85	0.70
	0.90	0.80	0.65
	---	---	0.60
	---	---	0.55
	---	---	0.50
	---	---	0.45

Figura 3.2.1. Valores típicos de la eficiencia de las uniones de soldadura.

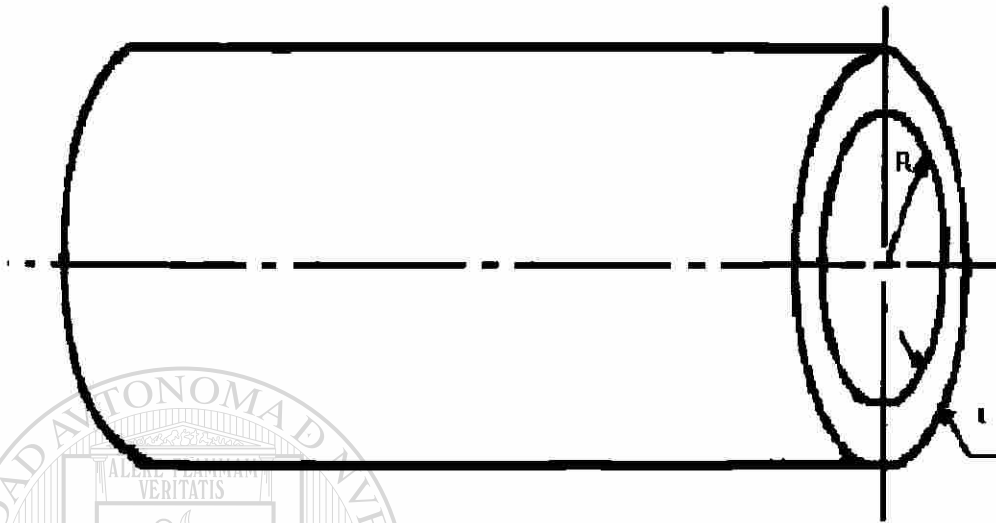


Figura 3.2. Diagrama de carcaza cilíndrica.

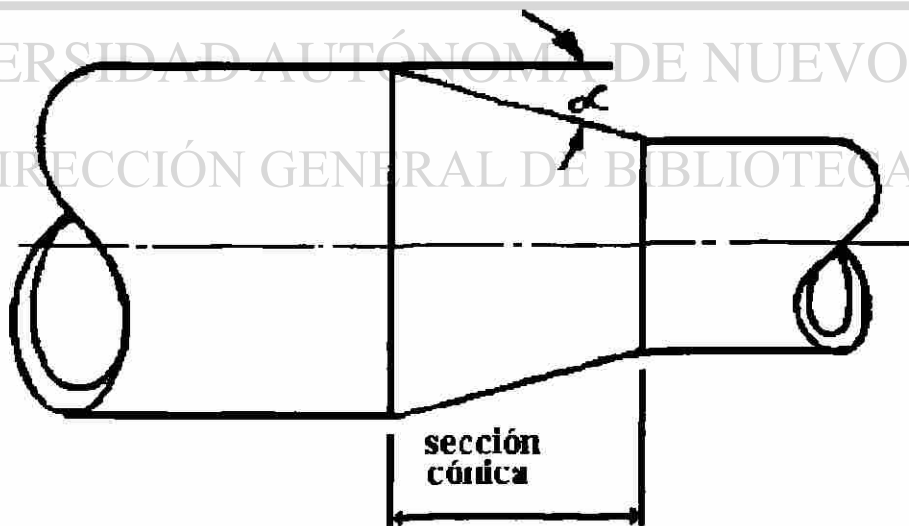


Figura 3.3. Diagrama de sección cónica.

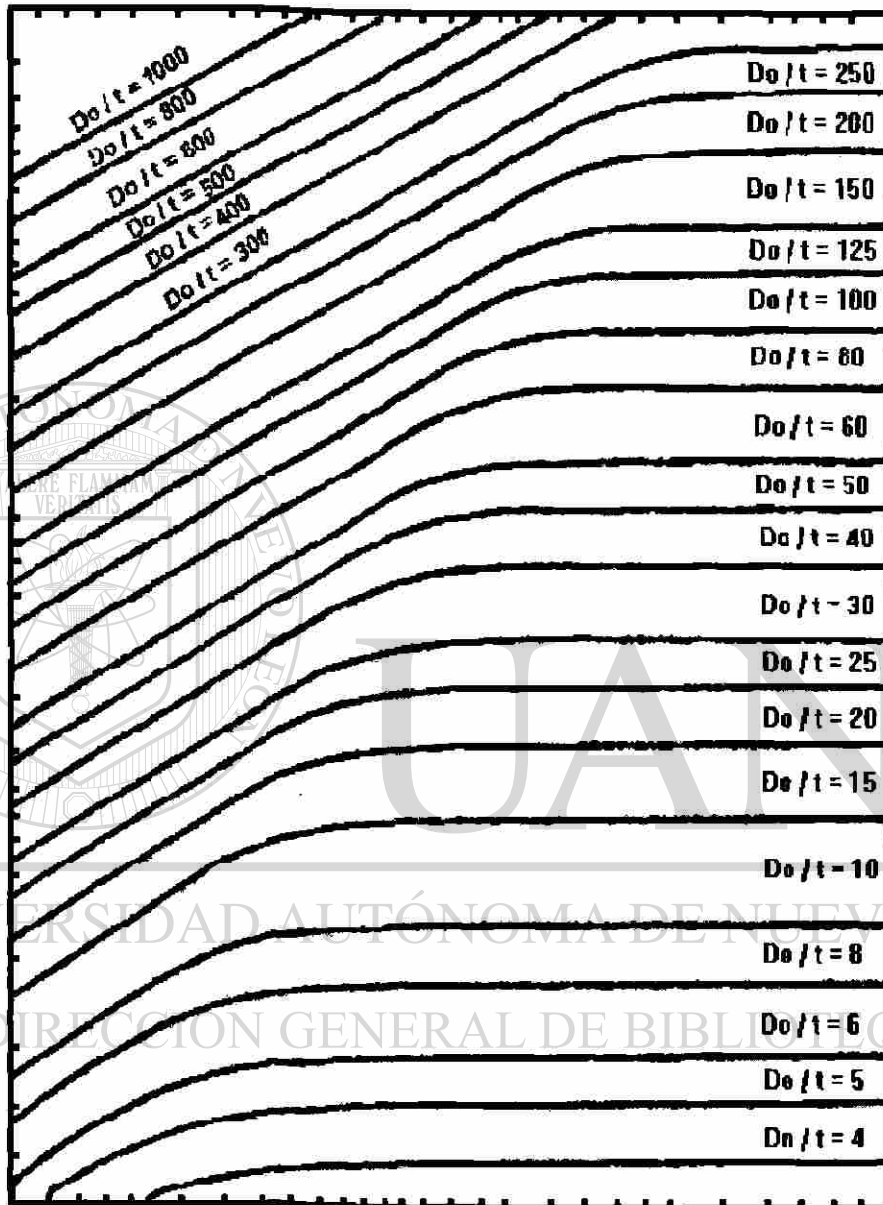


Figura 3.4. (Parte 1) Diagrama para envolventes cilíndricas sometidas a presión externa o cargas de compresión (para todos los materiales)

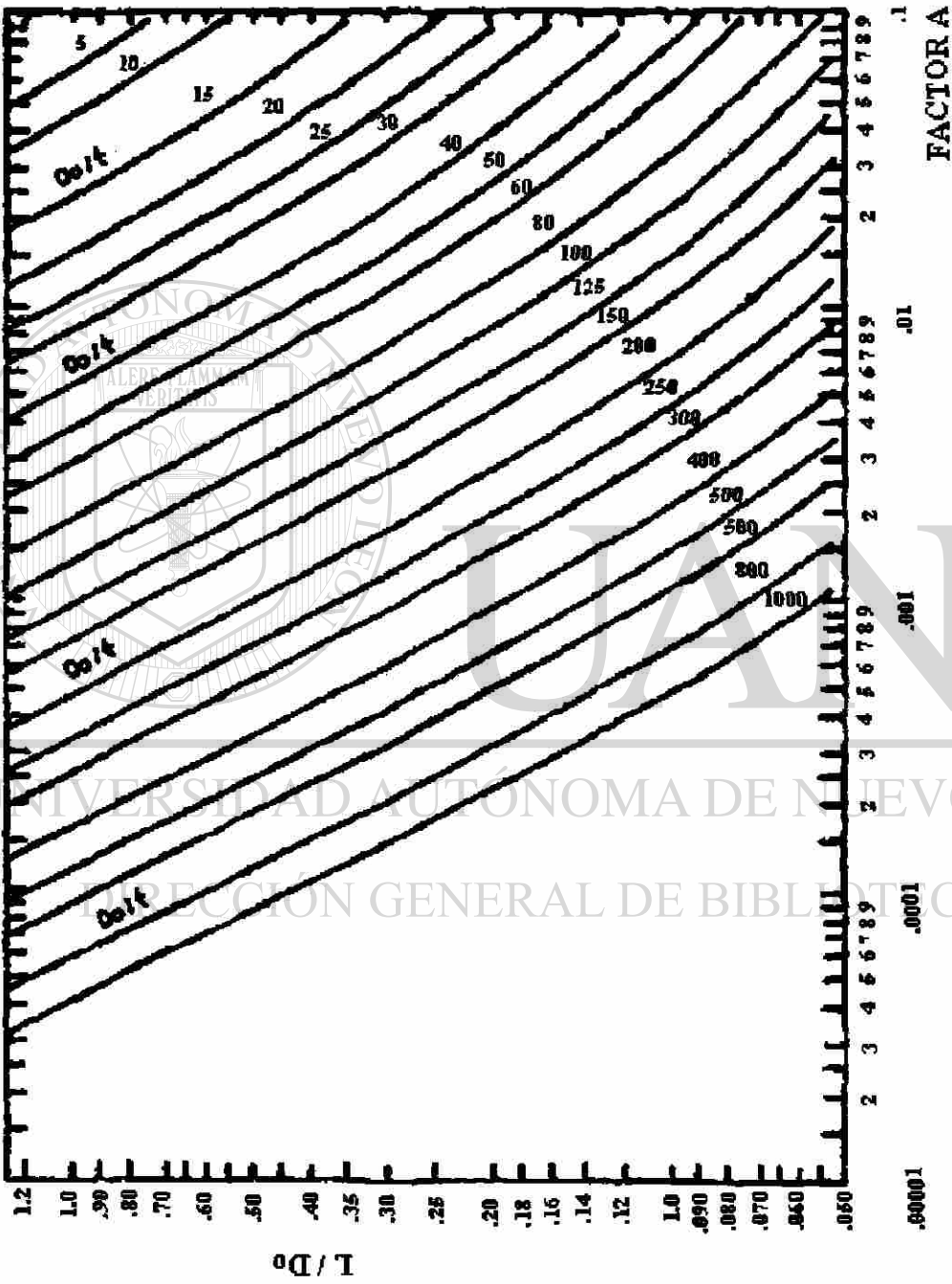
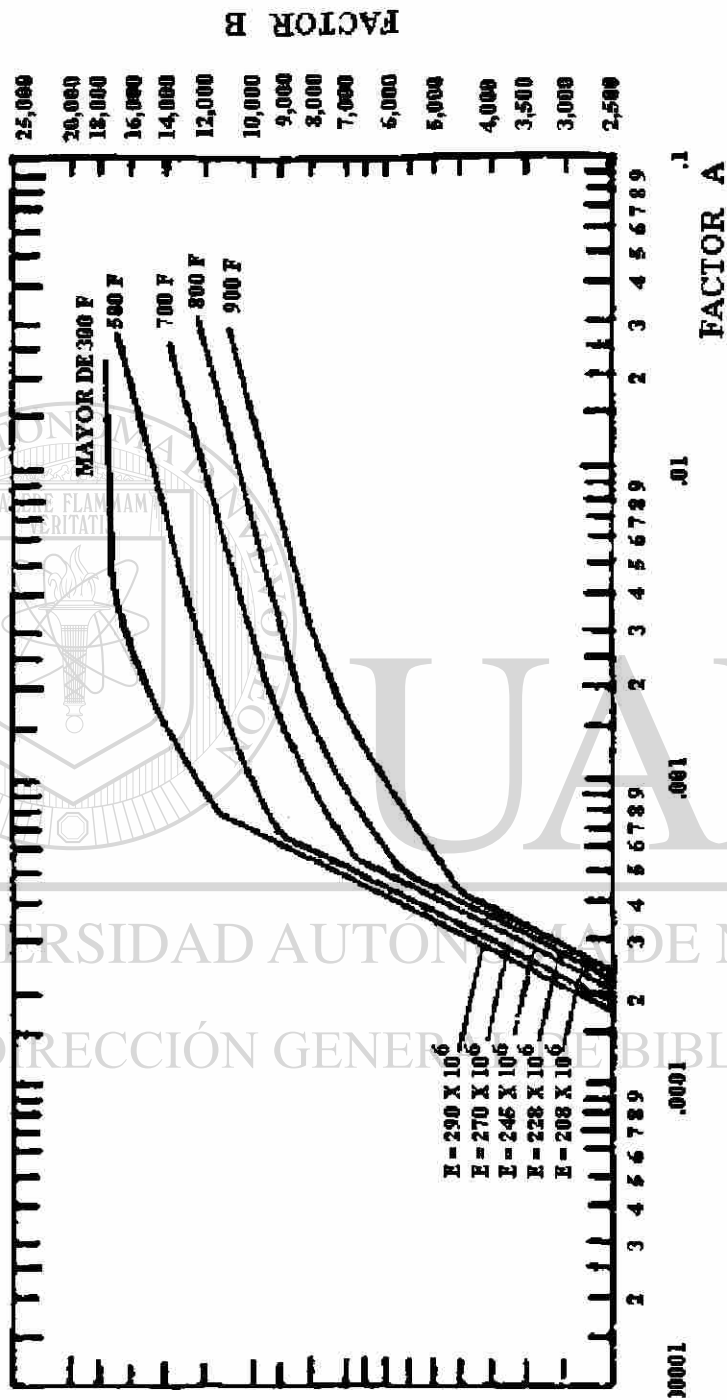
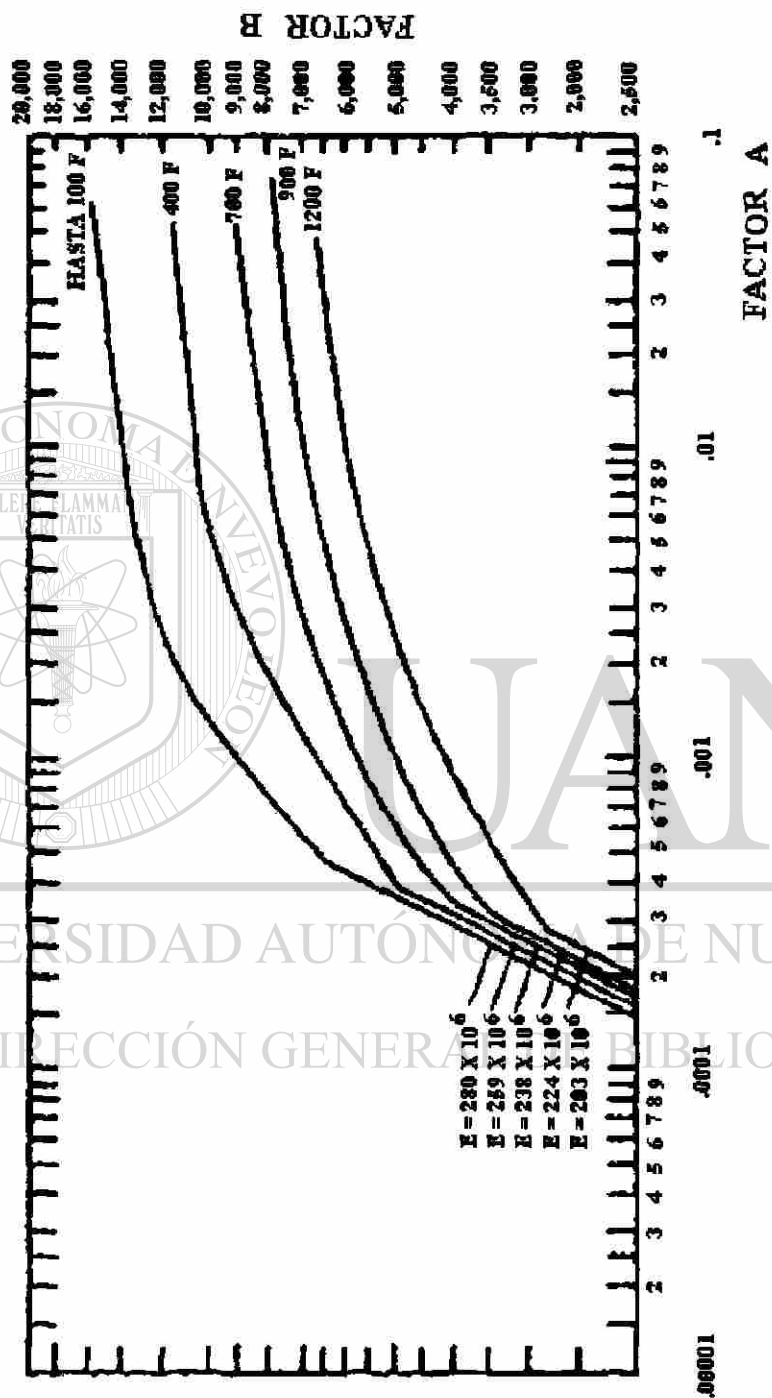


Figura 3.4. (Parte 2) Diagrama para envolventes cilíndricas sometidas a presión externa o cargas de compresión (para todos los materiales)

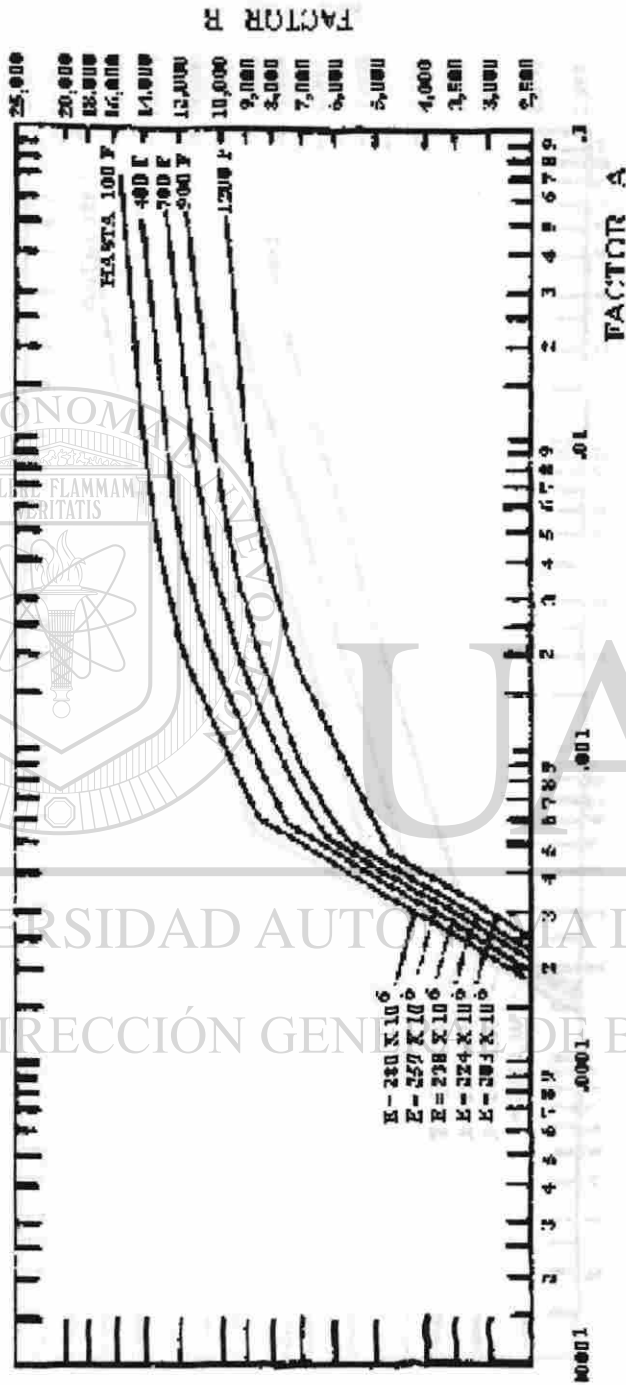


**Figura 3.5.** Diagrama para determinar el espesor de la envolvente cilíndrica y esférica, sometida a presión externa, y construido en acero al carbono o de baja aleación (punto de cedencia de 30000 a 38000 PSI) y aceros inoxidables tipos 405 y 410.

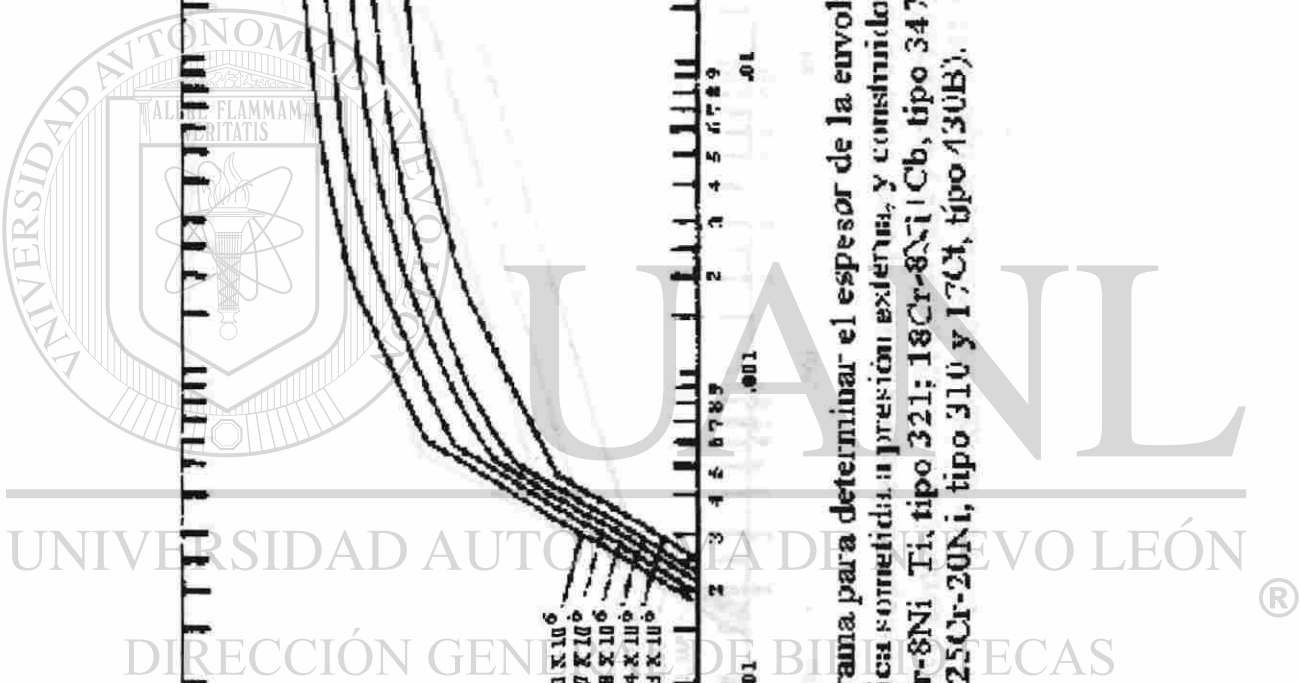


**Figura 3.6.** Diagrama para determinar el espesor de la envolvente cilíndrica y esférica sometida a presión externa, y construido de acero austenítico (18Cr-8Ni, tipo 304).





**Figura 3.7.** Diagrama para determinar el espesor de la envolvente cilíndrica y esférica sometida a presión externa, y construido de acero austenítico (18Cr-8Ni Ti, tipo 321; 18Cr-8Ni 1Cb, tipo 347; 25Cr-12Ni, tipo 509; 25Cr-20Ni, tipo 310 y 17Cr, tipo 430B).



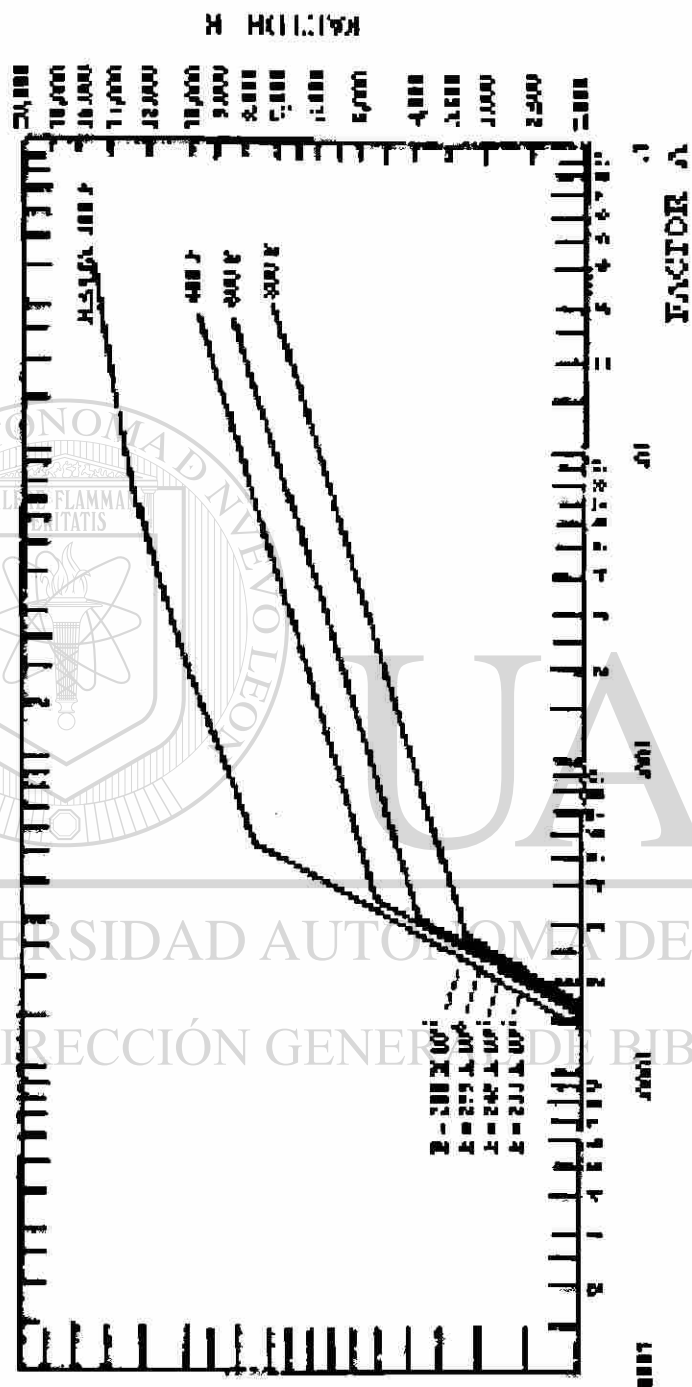
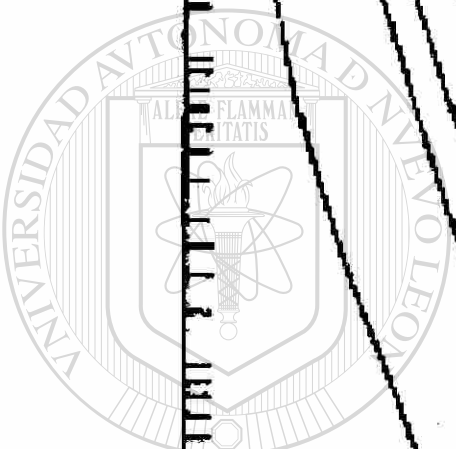
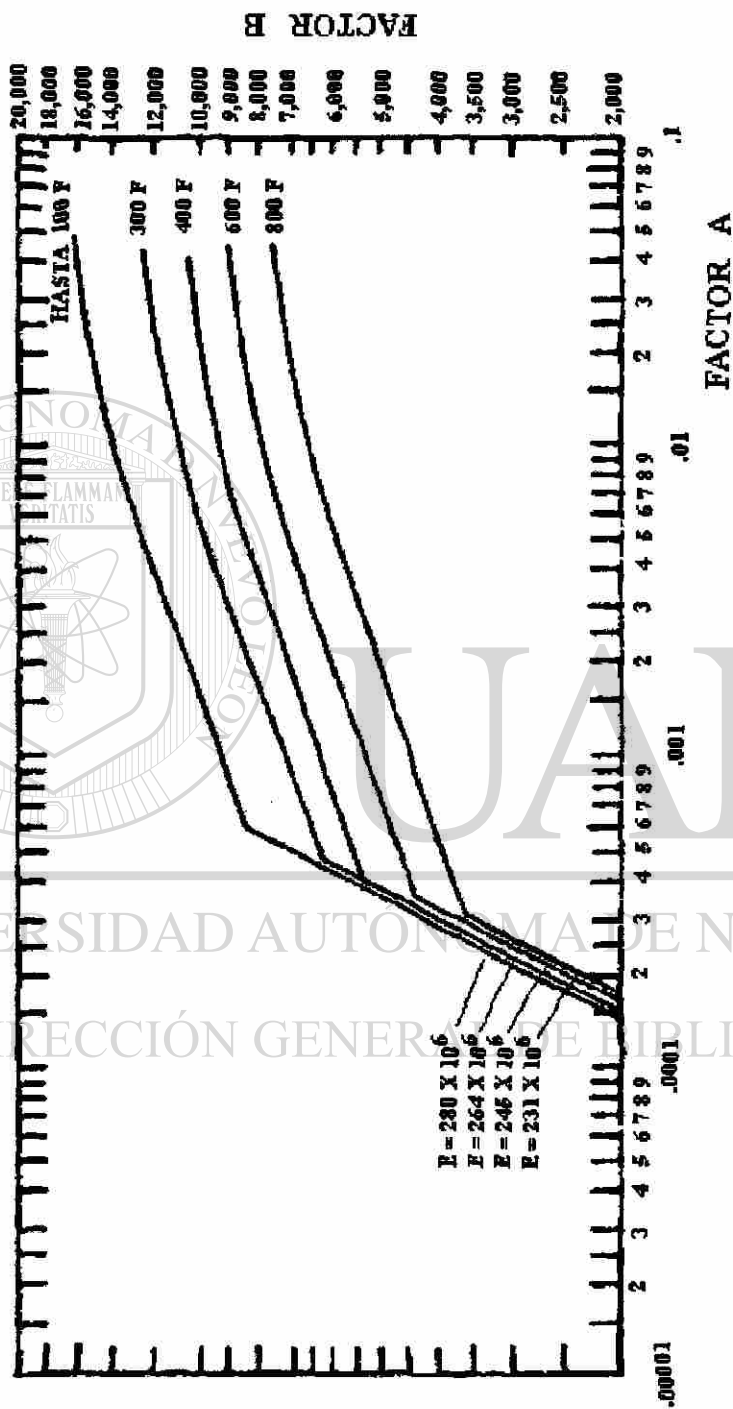


Figura 3.8. Diagrama para determinar el espesor de la envuelta cilíndrica y cáscara soldada a presión exterior, y construido de acero austenítico 18Cr-8Ni-0.03 máximo de carbono, tipo 304L.



UNIVERSIDAD AUTONOMA DE NUEVO LEÓN  
DIRECCIÓN GENERAL DE BIBLIOTECAS



**Figura 3.9.** Diagrama para determinar el espesor de la envolvente cilíndrica y esférica sometida a presión externa, y construido de acero austenítico (18Cr-8Ni+Mo, 0.09 máximo de carbono 316L y 317).

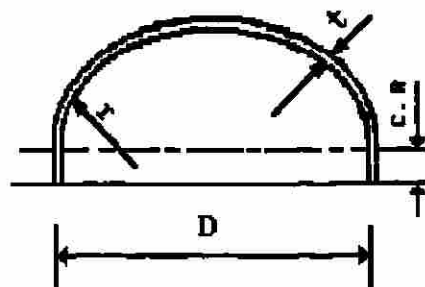
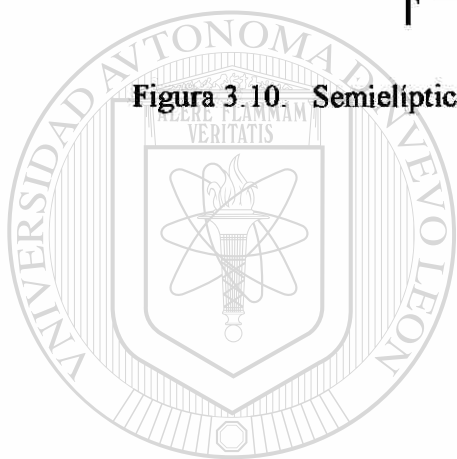


Figura 3.10. Semiéptica



UANL

UNIVERSIDAD AUTÓNOMA DE NUEVO LEÓN

DIRECCIÓN GENERAL DE BIBLIOTECAS

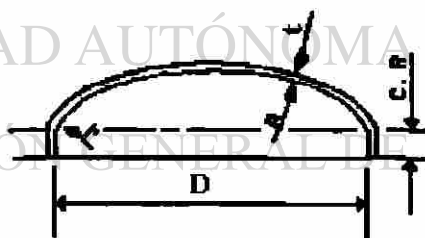


Figura 3.11. Toriesférica

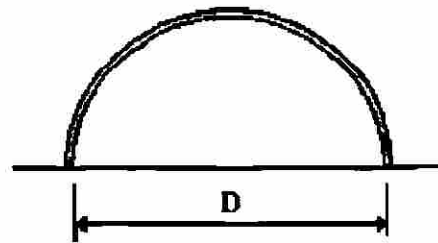


Figura 3.12. Semiesférica

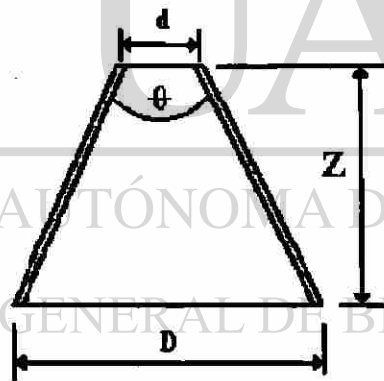
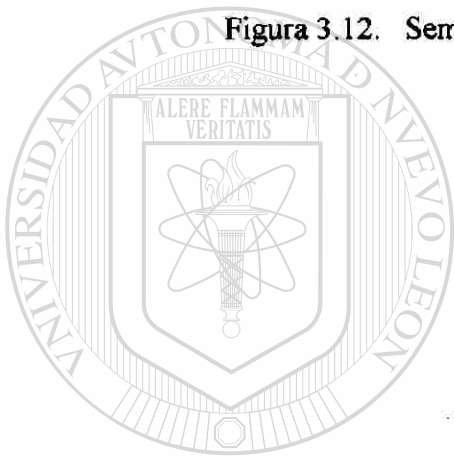


Figura 3.13. Cónica

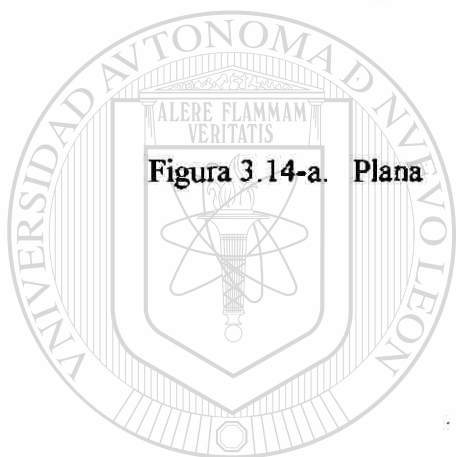
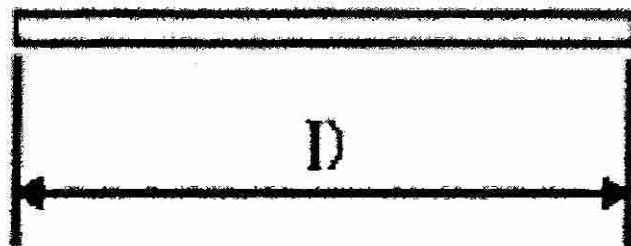


Figura 3.14-a. Plana

UANL

UNIVERSIDAD AUTÓNOMA DE NUEVO LEÓN

DIRECCIÓN GENERAL DE BIBLIOTECAS



Figura 3.14-b. Plana con ceja

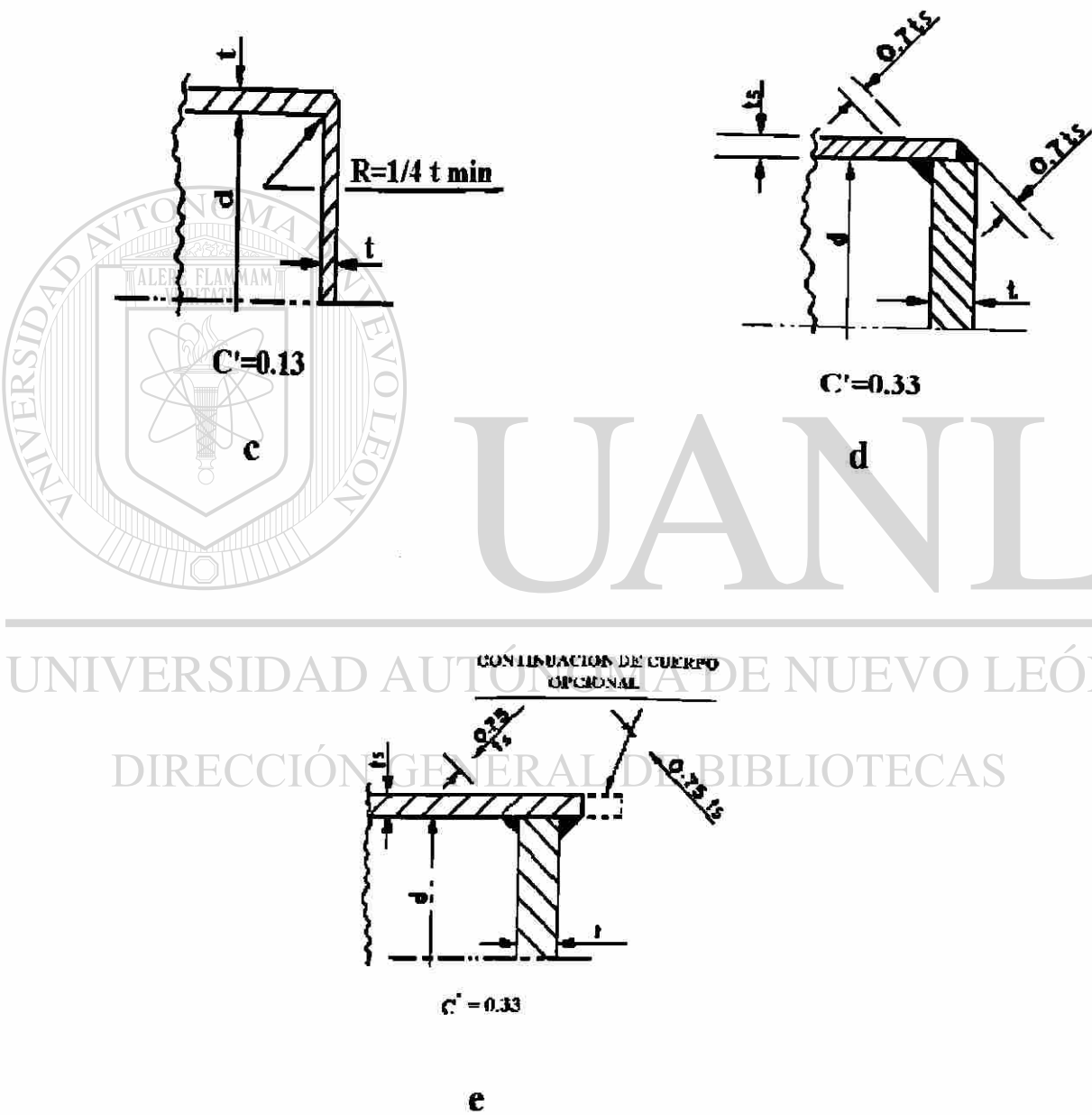
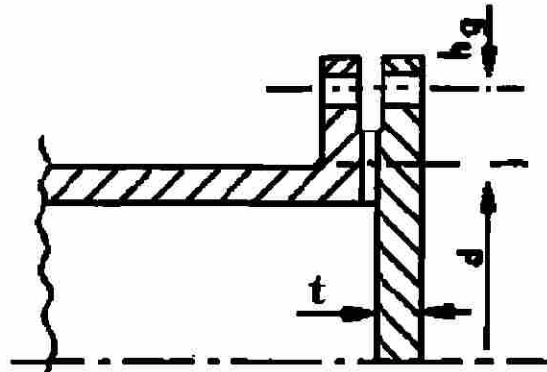
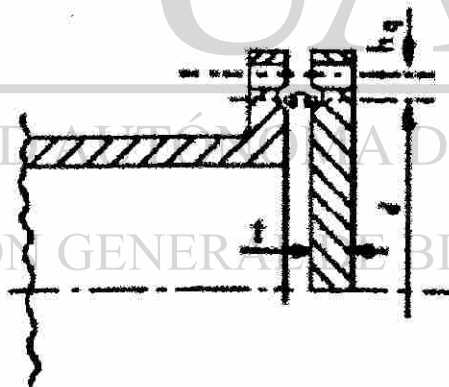


Figura 3.14-c, d, e. Tipos de uniones de tapas planas



$$C' = 0.3$$

a



$$C' = 0.3$$

b

Figura 3.15-a,b. Tipos de empaques entre la carcaza y tapas.



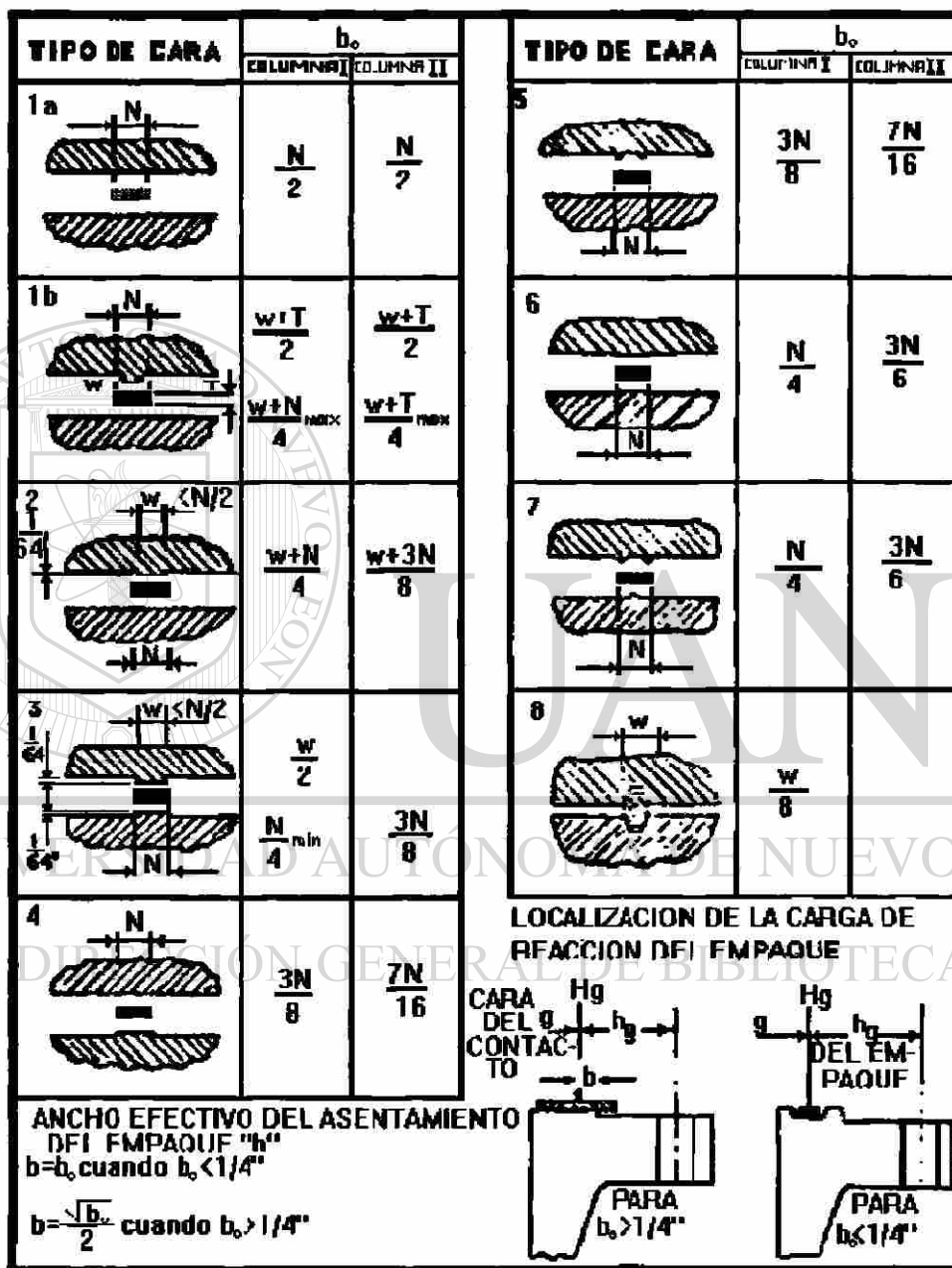


Figura 3.16. Ancho efectivo del asentamiento del empaque, b.

Factores de empaque  $m$  para condiciones de operación y esfuerzo mínimo de sello de diseño  $y$ .











MATERIAL DE EMPAQUE	FACTOR DE EMPAQUE (m)	ESFUERZO Y PSI	FORMAS	REF. A FIG. 3.1 b
ELASTÓMERO SIN TEFER.				
DUREZA SHORE (75	0.50	0		(1a, b, c, d)
DUREZA SHORE (75	1.00	200		(4, 5) : col. II
ASBESTO CON LIGADO ACEPTABLE.				
1/8" ESP.	2.00	1600		(1a, b, c, d)
1/16" ESP.	2.75	3700		(4, 5) : col. II
1/32" ESP.	3.50	6500		
ELASTÓMERO CON TEFIDO DE ALGODÓN	1.25	400		(1a, b, c, d)
				(4, 5) : col. II
ELASTÓMERO CON ASBESTO INSERTADO				
3 CAPAS	2.25	2200		(1a, b, c, d)
2 CAPAS	2.50	2900		(4, 5) : col. II
1 CAPA	2.75	3700		
				
FIBRA VEGETAL.	1.75	1100		(1a, b, c, d)
				(4, 5) : col. II
METAL DEVANADO EN ESPIRAL CON ASP.				
CARBÓN	2.50	10000		(1a, b) col. II
ACERO O MONEL	3.00	10000		
METAL CORREGADO				
ASBESTO				
INSERTADO	2.50	2000		(1a, b) col. II
ALUMINIO SUAVE	2.75	3700		
COBRE SUAVE	3.00	4500		
HERRO	3.25	5500		
MONEL O 4-6% Cr.	3.50	6500		
ACERO INOX.				

Figura 3.17. Materiales de empaque y caras de contacto.

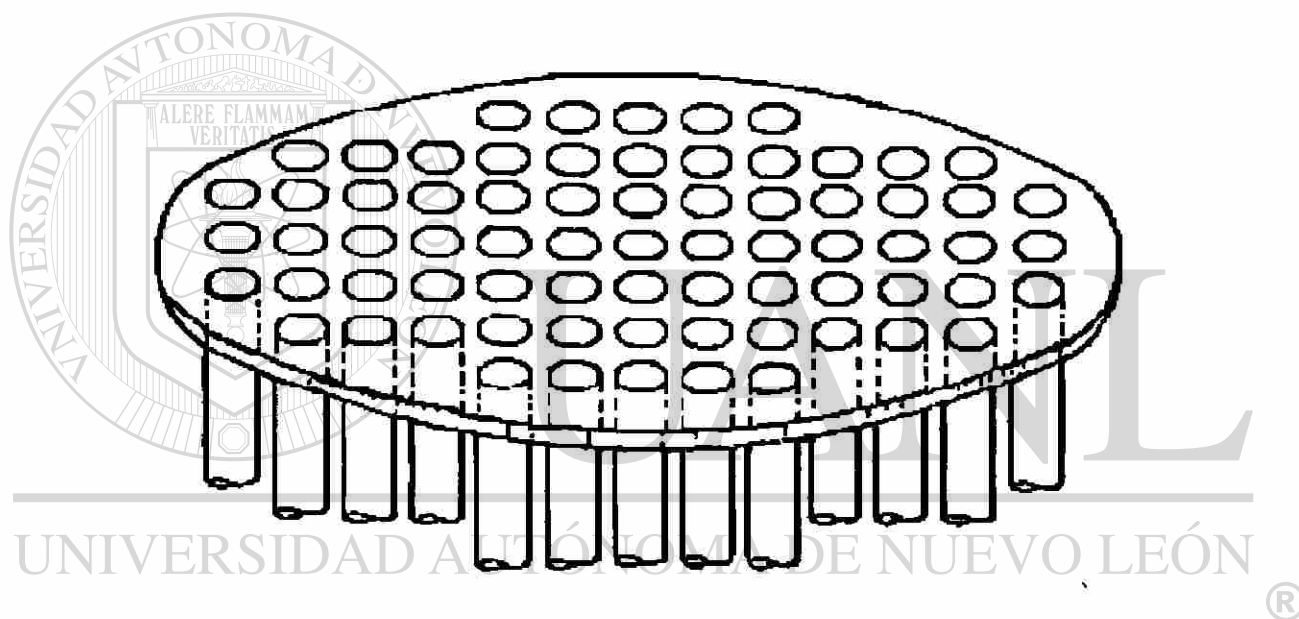
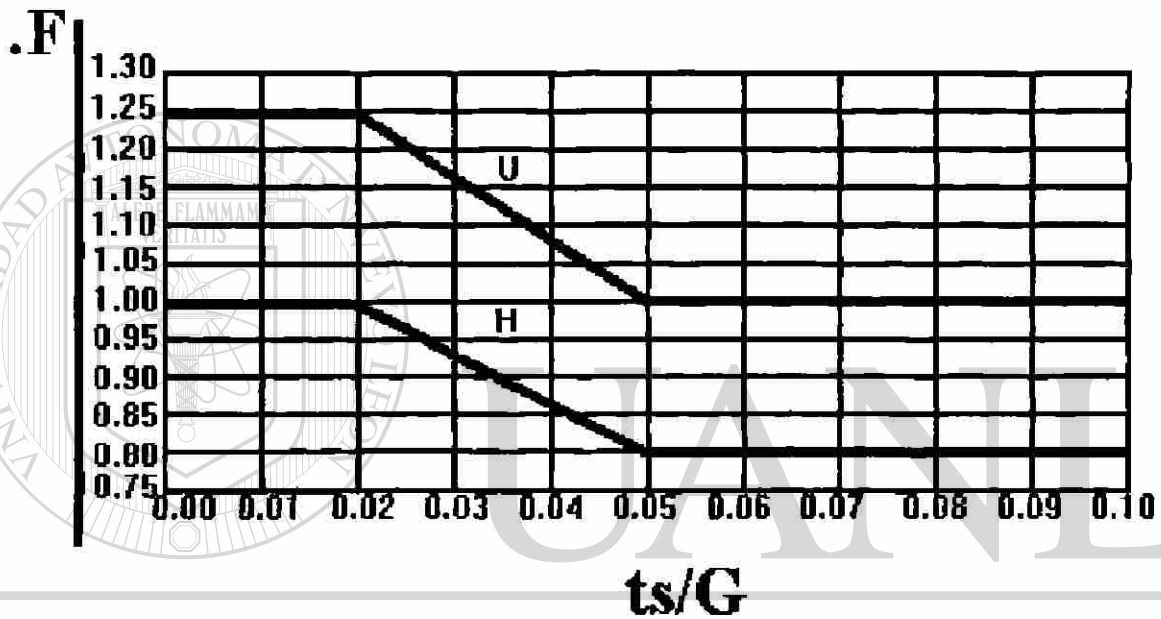


Figura 3.18. Espejo de tubos.

DIRECCIÓN GENERAL DE BIBLIOTECAS

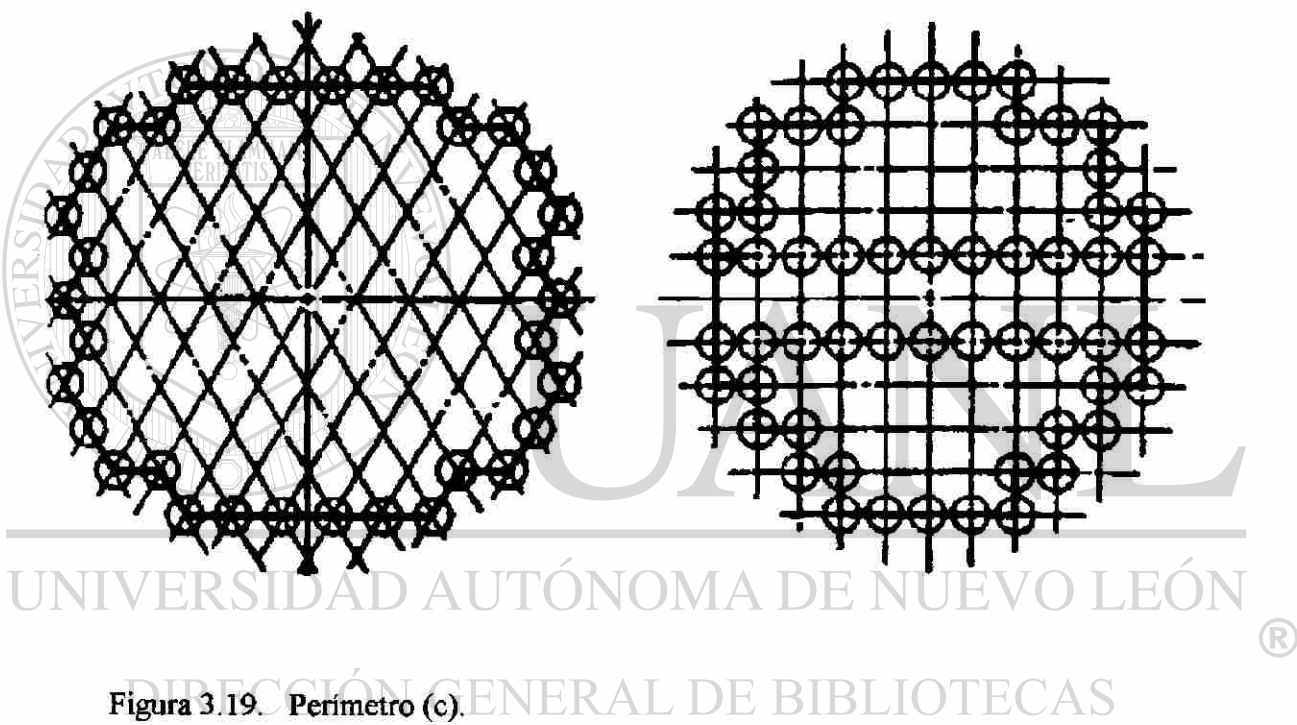


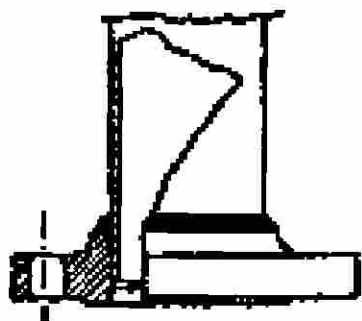
UNIVERSIDAD AUTÓNOMA DE NUEVO LEÓN

Figura 3.18-1 Relación espesor de pared / diámetro para espejos integrales.

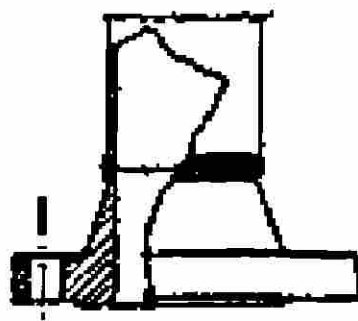
DIRECCIÓN GENERAL DE BIBLIOTECAS

®

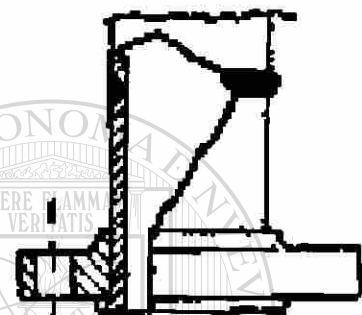




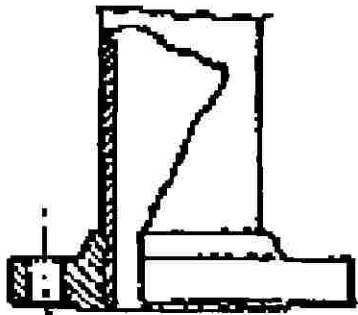
**DESGLIZABLE**



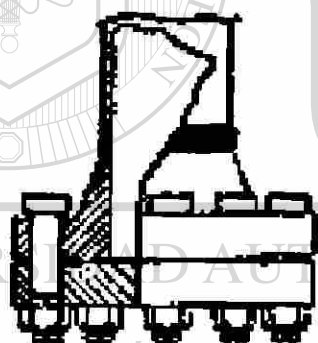
**CUELLO SOLDABLE**



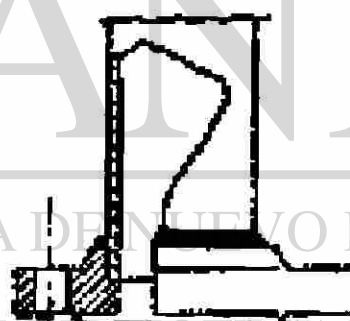
**DE UNION O EMPAQUE**



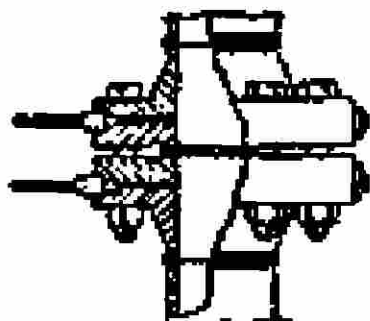
**ROSCADA**



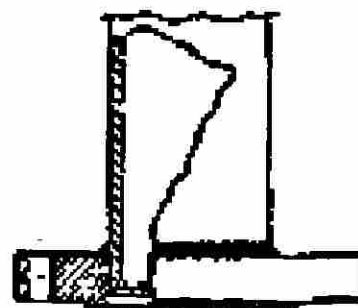
**CIEGA**



**TIPO ENCHUFE**



**DE ORIFICIO**



**ESPECIAL**

Figura 3.20. Tipo de bridas.

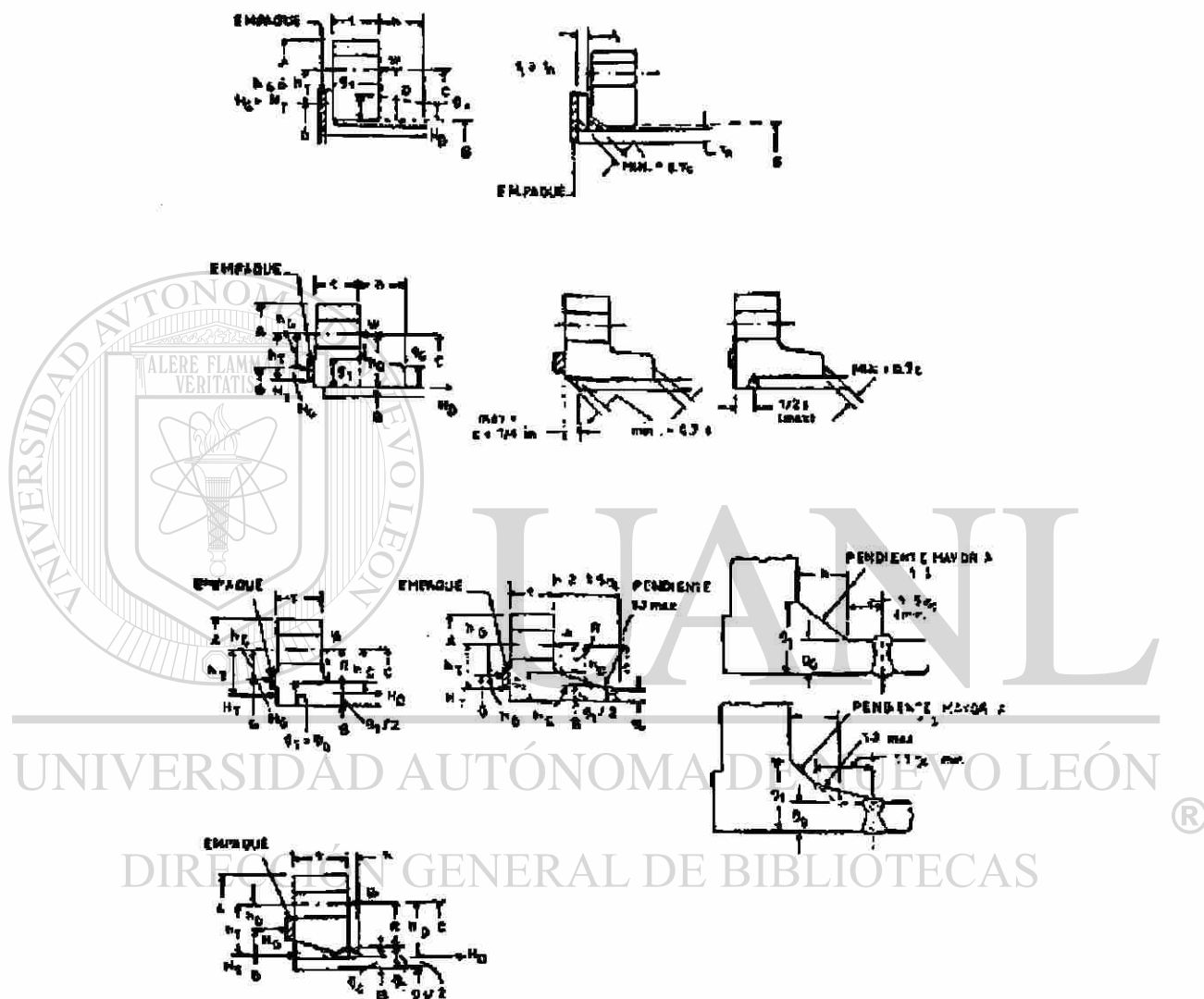


Figura 3.21. Nomenclatura de las bridas.

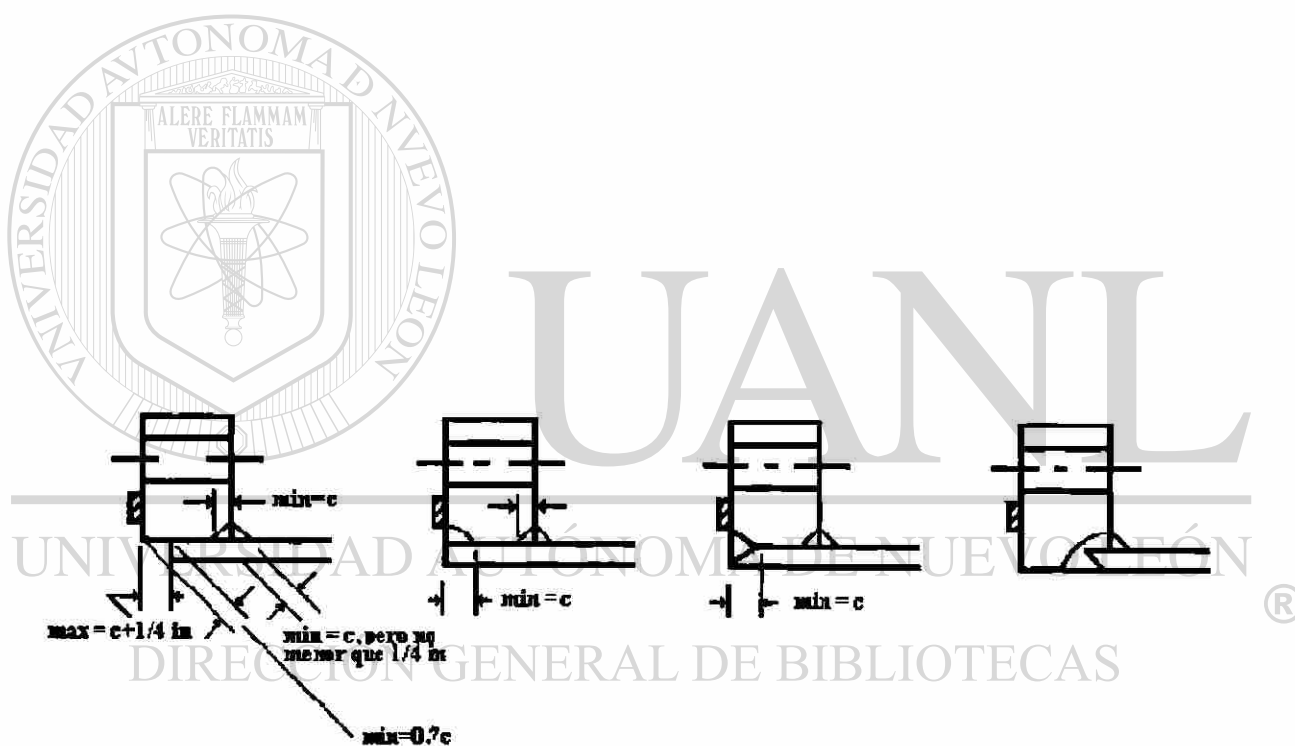


Figura 3.21. Continuación de nomenclatura de las bridas.



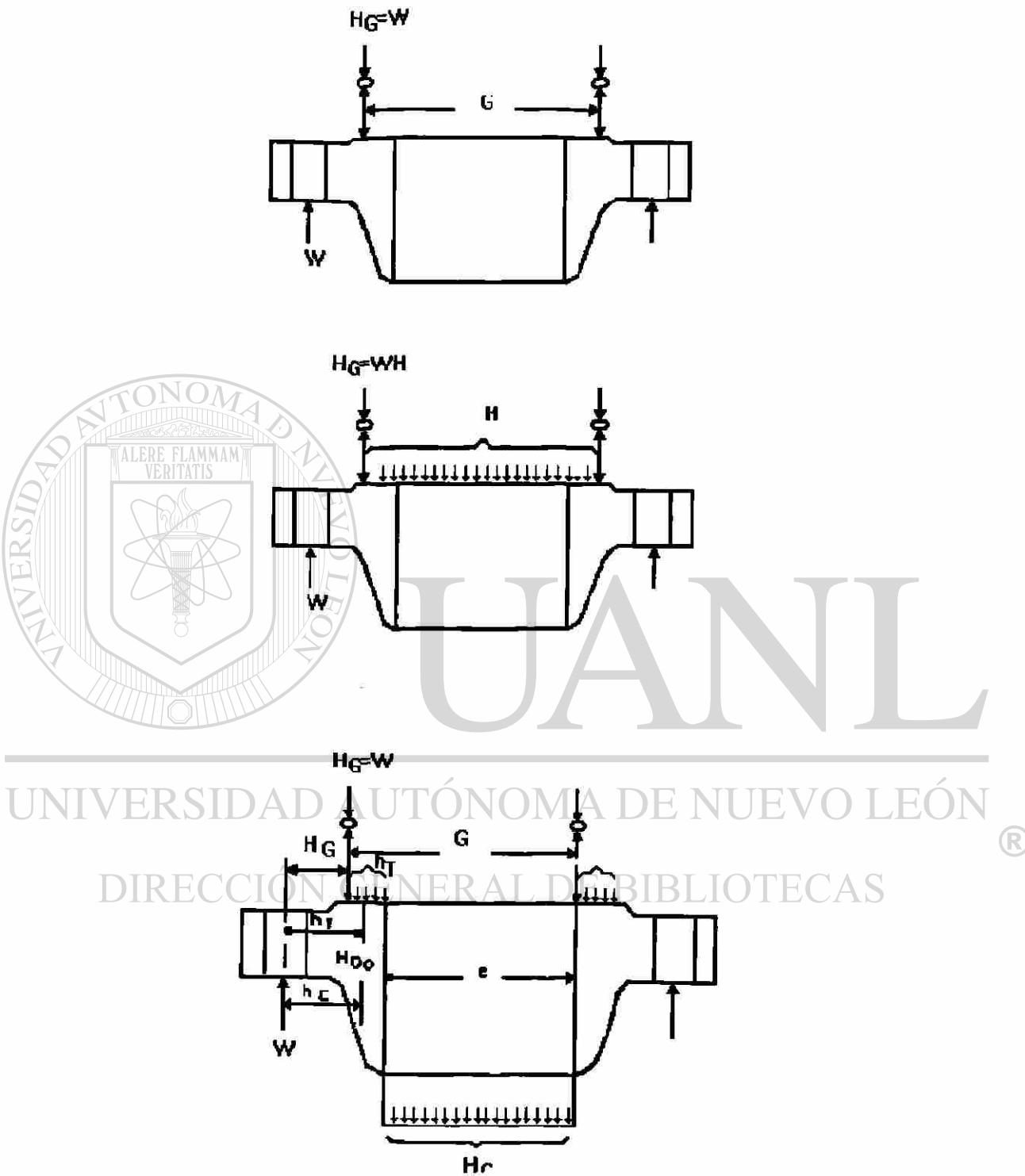


Figura 3.21. Continuación de nomenclatura de las bridas.

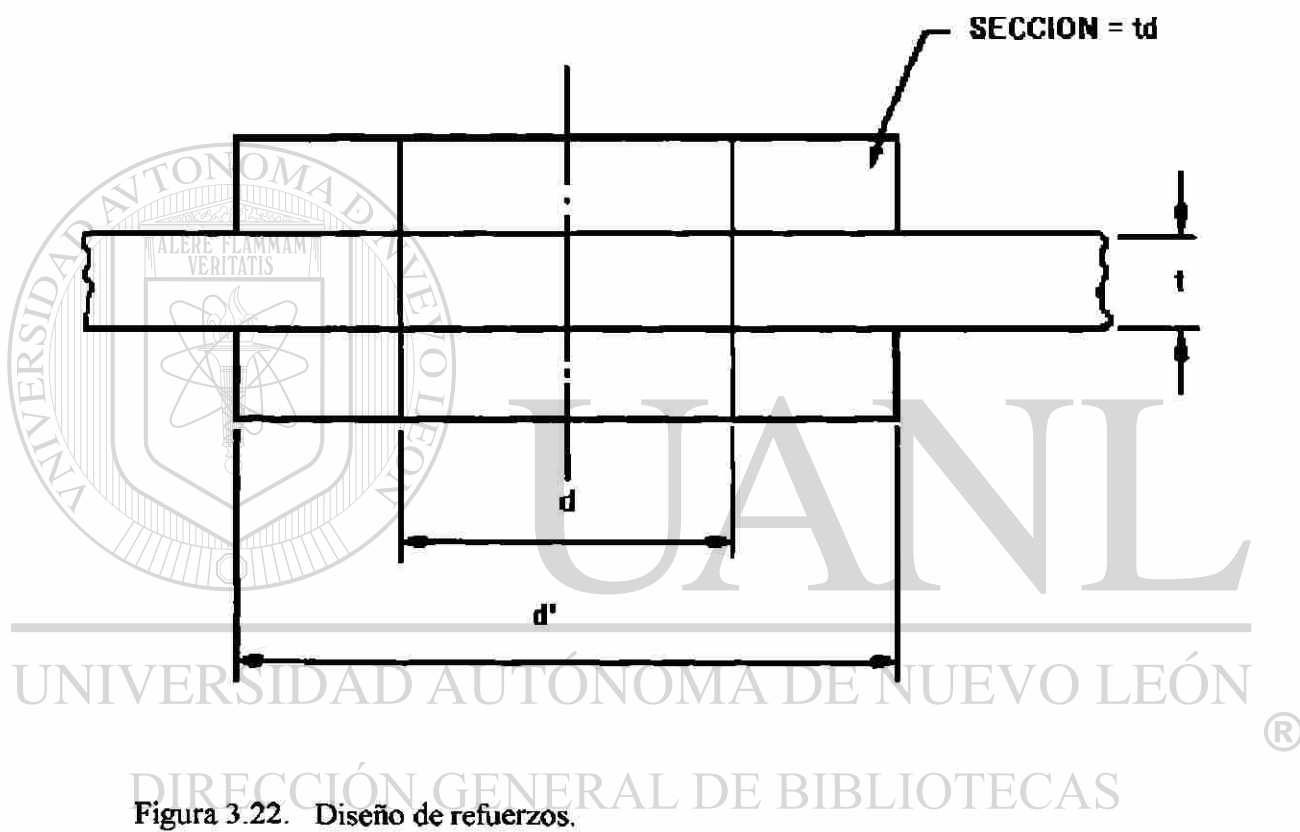
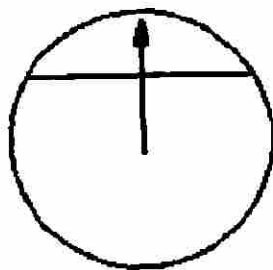
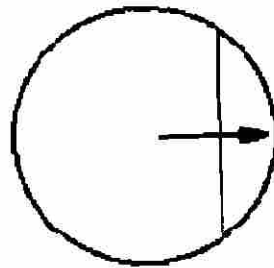


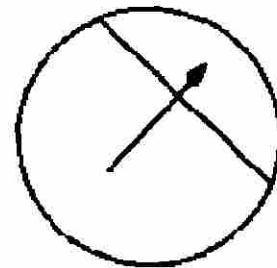
Figura 3.22. Diseño de refuerzos.



Horizontal

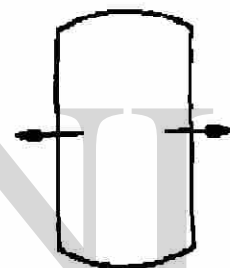
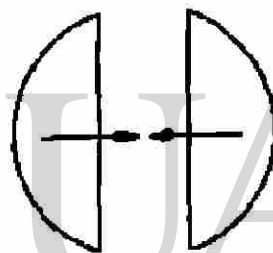
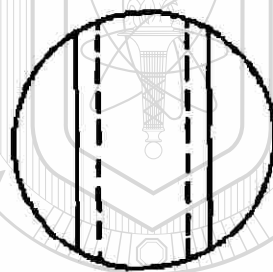


Vertical

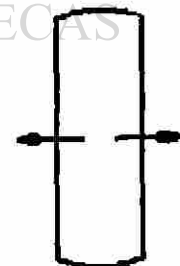
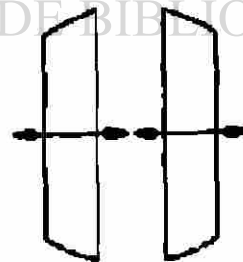
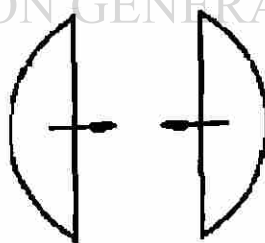
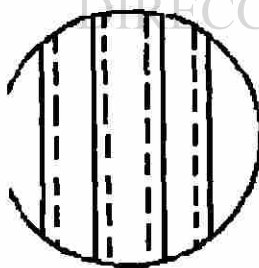


Rotado

CORTE SENCILLO



CORTE DOBLE



CORTE TRIPLE

Figura 3.23. Diferentes diseños de deflectores.

## CAPÍTULO 4

### SOLUCION AL ENSUCIAMIENTO DE TRANSFERENCIA DE CALOR

Los principales efectos del ensuciamiento en los equipos de transferencia de calor son los siguientes:

- Incremento de la caída de presión
- Aceleración de la corrosión
- Decremento del coeficiente global de transferencia de calor

#### DIRECCIÓN GENERAL DE BIBLIOTECAS

El ensuciamiento se puede clasificar en los siguientes tipos:

- Por precipitación:

Cristalización como resultado de la sobresaturación de una sal insoluble. El carbonato de calcio se forma sobre la superficie de transferencia de calor como resultado de la descomposición térmica del ion bicarbonato y su reacción con iones de calcio.

- Por partículas:

Sedimentación de partículas como arena, arcilla, herrumbre, etc.

- Planeación de métodos de limpieza y frecuencia requerida.
- Colocar el fluido más propicio al ensuciamiento, del lado de tubos.

También es necesario hacer consideraciones de tipo económicas para establecer el nivel de ensuciamiento aceptable, porque el tipo y frecuencia de limpieza varía considerablemente con el uso y la operación.

Para el resto de los equipos de transferencia de calor se presentan en la tabla 4.1, algunos valores típicos de la resistencia por ensuciamiento de algunos fluidos industriales.



# UANL

UNIVERSIDAD AUTÓNOMA DE NUEVO LEÓN

DIRECCIÓN GENERAL DE BIBLIOTECAS



- Planeación de métodos de limpieza y frecuencia requerida.
- Colocar el fluido más propicio al ensuciamiento, del lado de tubos.

También es necesario hacer consideraciones de tipo económicas para establecer el nivel de ensuciamiento aceptable, porque el tipo y frecuencia de limpieza varía considerablemente con el uso y la operación.

Para el resto de los equipos de transferencia de calor se presentan en la tabla 4.1, algunos valores típicos de la resistencia por ensuciamiento de algunos fluidos industriales.



# UANL

UNIVERSIDAD AUTÓNOMA DE NUEVO LEÓN

DIRECCIÓN GENERAL DE BIBLIOTECAS



**Tabla 4.1. Resistencia al ensuciamiento para fluidos industriales.**

<b>Oils:</b>	
Fuel Oil # 2	0.002
Fuel Oil # 6	0.005
Transformer Oil	0.001
Engine Lube Oil	0.001
Quench Oil	0.004
<b>Gases And Vapors:</b>	
Manufactured Gas	0.010
Engine Exhaust Gas	0.010
Steam (Non-Oil Bearing)	0.0005
Exhaust Steam (Oil Bearing)	0.0015-0.002
Compressed Air	0.002
Ammonia Vapor	0.001
CO <sub>2</sub> Vapor	0.001
Chlorine Vapor	0.001
Coal Flue Gas	0.002
Natural Gas Flue Gas	0.010
<b>Liquids:</b>	
Molten Heat Transfer Salts	0.0005
Refrigerant Liquids	0.001
Hydraulic Fluid	0.001
Industrial Organic Heat Transformer Media	0.002
Ammonia Liquid	0.001
Ammonia Liquid (Oil Bearing)	0.003
Calcium Chloride Solutions	0.003
Sodium Chloride C\Solutions	0.003
CO <sub>2</sub> Liquid	0.001
Chlorine Liquid	0.002
Methanol Solutions	0.002
Ethanol Solutions	0.002
Ethylene Glycol Solutions	0.002

**Tabla 4.1. (Continuación)****Fouling Resistentes For Chemical Processing Streams**

<b>Gases And Vapors:</b>	
Acid Gases	0.002-0.003
Solvent Vapors	0.001
Stable Overhead Products	0.001
<b>Liquids:</b>	
MEA And DEA Solutions	0.002
DEG And TEG Solutions	0.002
Stable Side Draw And Bottom Product	0.001-0.002
Caustic Solutions	0.002
Vegetable Oils	0.003

**Fouling Resistences For Natural Gas-Gasoline Processing Steams**

<b>Gases And Vapor:</b>	
Natural Gas	0.001-0.002
Overhead Products	0.001-0.002
<b>Liquids:</b>	
Lean Oil	0.002
Rich Oil	0.001-0.002
Natural Gasoline And Liquefied Petroleum Gases	0.001-0.002

UNIVERSIDAD AUTÓNOMA DE NUEVO LEÓN

DIRECCIÓN GENERAL DE BIBLIOTECAS





## CAPITULO 5

### CONCLUSIONES - CASO PRACTICO

Diseño de un intercambiador de calor de baja presión 300 psig (21 kg/cm<sup>2</sup>) para Isobutano líquido como fluido de trabajo en un ciclo de potencia geotérmico. El flujo de masa del Isobutano es de 380,000 lb/ hr (172,727.3 Kg/hr); El Isobutano se calienta desde 95°F ( 34.65°C) a 205°F ( 95.15°C) usando 232,000 lb/hr (105,454.6 Kg/hr) de Salmuera de baja salinidad y entrando a 230°F (108.9°C). El Isobutano se encuentra por el lado de la carcaza de un intercambiador de carcaza y tubos ( 8 o más en serie pueden ser requeridos), con la Salmuera por dentro de los tubos. El Isobutano deberá permitir

una resistencia por suciedad de  $0.0005 \frac{hr - ft^2 - ^\circ F}{BTU}$ . La Salmuera tiene una resistencia

de  $0.00015 \frac{hr - ft^2 - ^\circ F}{BTU}$  con una velocidad mínima permitida de 4.5 ft / seg. (1.364 m / seg) y una máxima de 6 ft / seg (1.82 m/seg)

Las caídas de presión de diseño permitidas pueden ser 20 psi (1.4 kg/cm<sup>2</sup>) en el Isobutano y 25 psi (1.76 kg/cm<sup>2</sup>) en la Salmuera.

El intercambiador de calor puede ser construido de tubos fijos o de cabezal flotante (tubos en U no es aceptable). Los tubos pueden ser de  $\frac{3}{4}$  de plg ( 1.905 cm. ) o de 1 pulgada (2.54 cm ) de diámetro exterior, 90-10 cromo-níquel, con un 12 BWG de pared.

Las dimensiones máximas de la carcasa pueden ser de 60 pulgadas (152.4 cm.) de diámetro interior y 40 ft (12.19 m.) de longitud efectiva.

La Salmuera puede considerarse que tiene las mismas propiedades del agua. Las propiedades del Isobutano son dadas enseguida y se pueden considerar constantes para el propósito presente.

Densidad ----- 31.1 lb/ft<sup>3</sup>

Calor específico ----- 0.58 Btu/lb-OF

Viscosidad ----- 0.27 lb/ft-hr

Conductividad térmica ----- 0.075 Btu/ hr-ft-OF

## DISEÑO TERMICO

### 1.- Cálculo del Calor Transferido

$$Q = mc(t_2 - t_1)$$

$$Q = 3805000(0.58)(205 - 95) = 24.24 \times 10^6 \text{ BTU / hr}$$

$$Q = MC(T_1 - T_2)$$

$$(T_1 - T_2) = \frac{Q}{MC} = \frac{24024 \times 10^6}{232,000 \times 1} = 104.5^\circ F$$

$$T_2 = T_1 - 104.5 = 230 - 104.5$$

$$T_2 = 125.5^\circ F$$

2.- Cálculo del número de pasos de carcaza y los pasos de tubos.

Cálculo de la Eficiencia Térmica

$$P = \frac{t_2 - t_1}{T_1 - t_2} = \frac{205 - 95}{230 - 95} = \frac{110}{135} = 0.815$$

Cálculo de la Capacidad Calorífica

$$R = \frac{T_1 - T_2}{t_2 - t_1} = \frac{230 - 125.5}{205 - 95} = 0.95$$

Con estos valores de P y R en la Figura 2.8 se determina el factor de corrección F,

igual a 0.87 y en esta figura le corresponde 4 pasos de carcaza y 8 o múltiplos de 8 pasos en los tubos.

3. - Cálculo de la Diferencia Media Logarítmica de Temperatura. Se calcula para un flujo contracorriente por ser el más crítico.

$$\Delta T_{cc} = \frac{(T_1 - t_2) - (T_2 - t_1)}{\ln \left( \frac{T_1 - t_2}{T_2 - t_1} \right)}$$

$$\Delta T_{m_{cc}} = \frac{(230 - 205) - (125.5 - 95)}{\ln \left( \frac{230 - 205}{125.5 - 95} \right)} = 27.66^\circ F$$

$$\Delta T_m = 27.66 \times 0.87 = 24.10 F$$

4. - Cálculo del área máxima de los tubos. Si se usa una velocidad de 4.5 ft/seg. y una densidad del agua de 60.6 lb/ Se tiene que

$$\dot{M} = Avp; v = 4.5 \text{ ft seg}; p = 60.6 \text{ lb}$$

$$A_{\max} = \frac{\dot{M}}{v\rho} = \frac{232,000}{4.5 \times 3600 \times 60.6} = 0.2363 \text{ ft}^2 (0.022 \text{ m}^2)$$

5.- Cálculo del número de tubos por paso.

El área máxima de los tubos es de  $A_{..} = 0.2363 \text{ft}^2$  ( $0.022 \text{m}^2$ ) Y si usamos tubos de 1 pulgada (2.54 cm) por 12 BWG. De la tabla 6.2 se obtienen  $A_i = 0.4803 \text{plg}^2$  ( $0.044 \text{M}^2$ );  $d_i = 0.78 \text{plg}$  (1.98 cm),  $\Delta r = 0.109 \text{plg}$  (0.277 cm)

$$A_{\text{max}} = A_i N_t; N_t = \frac{A_{\text{max}}}{A_i} = \frac{0.2363 \times 144}{0.4803} \approx 71 \text{ tubos / paso}$$

6. - Cálculo de la longitud de los tubos o de la carcaza.

Considerando la salmuera como agua y el Isobutano como un líquido orgánico ligero

$125 \leq U_o \leq 175$  de la tabla 2.1 se toma un valor de  $U_o = 165 \frac{\text{BTU}}{\text{hr} - \text{ft}^2 - ^\circ\text{F}} \left( 936.9 \frac{\text{W}}{\text{m}^2 - ^\circ\text{C}} \right)$

$$Q = U_o A_T \Delta T_m, A_T = \frac{Q}{U_o \Delta T_m} = \frac{24.24 \times 10^6}{165 \times 24.1} = 6095.8 \text{ft}^2 (566.5 \text{m}^2)$$

$$A_o = \frac{6095.8}{4} = 1524 \text{ft}^2 / \text{Carcaza} (141.6 \text{m}^2 / \text{Carcaza})$$

$$A_o^* = F_1 \times F_2 \times F_3 \times A_o = 1.34 \times 1.03 \times 1.09 \times 1524 = 2292.73 \text{ft}^2 / \text{Carcaza}$$

$$A_o^* = \pi d L N_t; L = \frac{A_o^*}{\pi d N_t};$$

$$L = \frac{2292.73}{\pi \left( \frac{1}{12} \right) 284} = 31 \text{ft}$$

Longitud de los tubos o carcaza es 9.32 m

$A_o'$  = Área requerida, calculada

$F_1$  = Factor de corrección por arreglo de tubos ( 1.34 para 1 plg en 1.25 plg triángulo equilátero), tabla 5.4.

$F_2$  = Factor de corrección por el número de pasos en los tubos ( 1.03 para dos pasos en tubos), tabla 5.5.

$F_3$  = Factor de corrección por tipo de haz por carcasa ( 1.09 para tubos fijos), tabla 5.6.

7. - Cálculo de la velocidad del agua. ( $v_{agua}$ )

$$v_{agua} = \frac{M}{\rho A_0 N_t} = \frac{232,000}{60.6 \times 3600 \times \frac{0.4803}{144} \times \frac{284}{4}} = 4.49 \text{ ft/seg}$$

$$v_{agua} = 4.49 \text{ ft/seg} (1.37 \text{ m/seg})$$

Donde este valor es igual al supuesto en el punto 4.

8. - Cálculo del número de detectores que se tienen que colocar.

$$A_m = \ell_s \left[ D_s - D_i + \left( \frac{D_i - d_0}{P} \right) (p - d_0) \right]$$

$$A_m = \ell_s \left[ 25 - 23.375 + \left( \frac{23.375 - 1}{1.25} \right) (1.25 - 1) \right]$$

$$A_m = 6.10 \ell_s \text{ en plg cuadradas}$$

Usamos  $\ell_s = 24$  plg de espaciado del baffle

$\ell_s$  = Separación entre detectores

$$A_m = 6.10 \times 24 = \frac{146.4 \text{ plg}^2}{144} = 1.017 \text{ ft}^2$$

$$v_{\max} = \frac{m}{\rho A_m} = \frac{380,000}{3600 \times 31.1 \times 1.017} = 3.34 \text{ ft/seg}$$

Este valor es aceptable

9. - Cálculo de  $h_i$ 

Con la velocidad igual a 4.5 ft/seg. y con una temperatura promedio del agua calculada como:

$$T_m = \frac{T_E + T_S}{2} = \frac{230 - 125.5}{2} = 177.75 \approx 178^\circ F \quad (81.11^\circ C)$$

Con estos datos en la Fig. 5.3 se obtiene un valor de  $h_i = 897155 \frac{W}{m^2 - ^\circ C}$  y como es para

un diámetro de  $\frac{3}{4}$  plg ( 1.9 cm.) se consulta la parte superior de la fig. 25 y se obtiene un

factor de corrección de 0.96 y entonces  $h_i = 1580 \times 0.96 = 8612.7 \frac{W}{m^2 - ^\circ C}$  y con

un diámetro interior de  $d_i = 0.782$  plg se obtiene una

$$h_{i0} = h_i \frac{d_i}{d_o} = 1516.8 \times \frac{0.782}{1} = 1186.14 \frac{BTU}{hr \cdot ft^2 - ^\circ F} \left( 6735.14 \frac{W}{m^2 - ^\circ C} \right)$$

10.- Cálculo de  $h_o$ 

Con la ecuación  $h_o = J_H \frac{k}{d_o} \left( \frac{C\rho\mu}{k} \right)^{1/3} \left( \frac{\mu}{\mu_s} \right)^{0.14}$  y con

$$Re = \frac{d_o \dot{m}_r}{\mu A_m} = \frac{\left( \frac{1}{12} \right) (380,000)}{0.27 \times 1.017} = 115,323 \text{ y la razón } L / d_o \text{ igual a } 20.5.$$

De la Fig. 5.2  $J_H = 350$  entonces el valor de la  $h_o$  se calcula como:

$$h_o = 350 \left( \frac{0.075}{\frac{1}{12}} \right) (2.088)^{1/3} (1) = 403 \frac{BTU}{hr \cdot ft^2 - ^\circ F} \left( 2288.3 \frac{W}{m^2 - ^\circ C} \right)$$

11. - Cálculo del coeficiente global de transferencia de calor.

$$U_o = \frac{1}{\frac{1}{h_o} + R_{f0} + \frac{\Delta r}{k_w} + \frac{A_o}{A_w} + \left(R_{fi} + \frac{1}{hi}\right) \frac{A_o}{Ai}}$$

$$U_o = \frac{1}{\frac{1}{403} + 0.0005 + \left(\frac{0.109}{12 \times 23}\right) \times \left(\frac{1.0}{1.0 - 0.109}\right) + \left(0.0015 + \frac{1}{1516.8}\right) \left(\frac{1.0}{0.78}\right)}$$

$$U_o = \frac{1}{2.951 \times 10^{-3} + 0.44324 \times 10^{-3} + 2.741 \times 10^{-3}}$$

$$U_o = \frac{1}{6.1352 \times 10^{-3}} = 163 \frac{BTU}{hr \cdot ft^2 \cdot ^\circ F} \quad \left(925.55 \frac{W}{m^2 \cdot ^\circ C}\right)$$

Este valor es muy cercano al que se selecciono de la tabla 2.1 en el paso 6.

12. - Caída de Presión en el lado de la Carcaza ( $\Delta P_s$ )

Con la ecuación  $(\Delta P_s) = \frac{fG^2 D_s (N+1)}{5.22 \times 10^{10} \text{dis}\phi}$ ,  $lb/ptg^2$  se puede calcular la caída de

presión en el lado de la carcaza y conociendo el número de Reynold en la Fig. 5.6 se obtiene el coeficiente de fricción de 0.00132

DIRECCIÓN GENERAL DE BIBLIOTECAS

$$Re = \frac{d_o m_s}{\mu A_m} = \frac{\left(\frac{1}{12}\right)(380,000)}{0.27 \times 1.017} = 115,323$$

Área de Flujo

$$a_s = \frac{DiC'\ell_s}{144P_r} = \frac{23.32 \times 0.25 \times 24}{144 \times 1.25}$$

de donde :  $C' = P_r - d_t$  ;  $\ell_s =$  Espaciado de los deflectores

$$a_s = 0.779 \text{ft}^2$$

### Cálculo de la Velocidad de la Masa

$$G_s = \frac{M}{a_s} = \frac{380,000}{0.779} = 487,700 \text{ lb/hr} - ft^2$$

$G_s$  = Velocidad de la masa

$d_i$  = Diámetro interior de los tubos

$f$  = Coeficiente de fricción

$N$  = Número de detectores

$$N+1 = \frac{12L}{\ell} = \frac{12 \times 31}{24}$$

Aplicando la siguiente ecuación para el cálculo de la caída de presión en el lado de la

carcaza

$$\Delta P_s = \frac{0.0032 \times (487,700)^2 \left( \frac{23.375}{12} \right) (15+1)}{5.22 \times 10^{16} \times \left( \frac{0.782}{12} \right) \times 1 \times 1}$$

Este cálculo corresponde a una carcaza y como son 4 se multiplica por 4.

$$\Delta P_s = 2.87 \text{ lb/plg l carcaza} \times 4 \text{ carcazas}$$

Cálculo de la caída total de presión

$$\Delta P_s = 11.5 \text{ lb/plg}$$



### 13. - Caída de Presión del lado de los Tubos

Se calcula el número de Reynolds

$$R_e = \frac{diG_t}{\mu} = \frac{0.782}{12} \times 983,090 = 52,943.88$$

Enseguida la velocidad de la masa es calculada:

$$G_t = \frac{\dot{m}}{a_t} = \frac{232,000}{0.236} = 983,090 \frac{lb}{hr - ft^2}$$

$$a_t = \frac{N_t a_i}{144 \times n} = \frac{71 \times 0.479}{144} = 0.236 ft^2$$

$$a_i = 0.479 ft^2$$

$\mu = 0.5 \times 242 = 1.21$ ; Este valor se obtuvo con las coordenadas de la tabla 5.1 y en la

fig. 5.1.

Este valor del coeficiente de fricción  $f = 0.00017$  se obtiene de la fig. 5.4, con el número de Reynolds y para tubos de intercambiadores.

$$\Delta P_t = \frac{f G_t^2 L n}{5.22 \times 10^{10} di S \phi_t} = \frac{0.00017 \times (983,090)^2 (31)(4)}{5.22 \times 10^{10} \times \frac{0.782}{12} \times 1 \times 1}$$

$$\Delta P_t = 6 \text{ lb / plg}^2$$

Este cálculo de la caída de presión es para el lado de los tubos, Entonces para la caída de presión por retorno en el lado de los tubos se calcula con la ecuación

$$\Delta P_r = \frac{4n V^2}{S 2g}$$

De la gráfica de la fig. 5.5 se obtiene

$$\frac{V^2}{2g} \left( \frac{62.5}{144} \right) = 0.130$$

Para la caída de presión:

$$\Delta P_r = \frac{4 \times 2}{1} = (0.130) = 1.04 \text{ lb/plg}^2$$

La caída de presión total por coraza es la suma de la caída del lado de los tubos más la caída de presión por retorno:

$$\Delta P_T = \Delta P_t + \Delta P_r = 6 + 1.04 = 7.04 \text{ lb/plg}^2$$

Como son 4 corazas entonces la caída total en el intercambiador es:

$$\Delta P_p = 7.04 \times 4 = 28.16 \text{ lb/plg}^2$$

# DISEÑO MECANICO

## 1.- Diseño de Carcaza o Envolverte

Las carcazas pueden ser roladas y soldadas para cuando tenemos un diámetro de carcaza de 24 pulgadas (0.60 mts) o mayor, se usa tipo tubería cuando el diámetro la carcaza es menor de 24 pulgadas (0.60 mts). Es importante la redondez por las fugas debidas a la claridad entre el deflector y la carcaza.

Dejando los casos extremos para cuando son vaciados y rectificados.

Calculado por presión interna para carcaza cilíndrica.

Datos:  $P = 300$  psia, para un material (SA-515-70) el esfuerzo obtenido de la tabla 5.7;  $S = 16.6 \times 10^3$  lb / plg<sup>2</sup> el diámetro de la carcaza es de 25 pulgadas y la eficiencia de la unión soldada se obtiene de la fig. 3.2.1 para soldadura simple a tope con solera de respaldo la cual permitirá en el interior del recipiente y radiografiada al 100% ( $E = 0.90$ )

Calcular el mínimo espesor, primero por esfuerzo circunferencias.

$$P < 0.385 SE \Rightarrow P < 0.385 \times 16600 \times 0.9 = 5752$$

$$300 < 5,752$$

$$t = \frac{PR}{SE - 0.6P} = \frac{300 \times 12.5}{16600 \times 0.9 - 0.6 \times 300} = 0.254 \text{ plg (6.45mm)}$$

y enseguida se calcula el espesor por esfuerzo longitudinal

$$P < 1.25 SE; P < 1.25 \times 16600 \times 0.9 = 18.675$$

$$300 < 18675$$

$$t = \frac{PR}{2SE + 0.4P} = \frac{300 \times 12.5}{2 \times 16600 \times 0.9 + 0.4 \times 300} = 0.125 \text{ plg } (3.17 \text{ mm})$$

Se tomará como base el espesor de  $t = 6.45 \text{ mm}$ , pero comercialmente el mínimo espesor recomendado por TEMA para intercambiadores tipo R, según tabla 3.1 deberá ser un espesor de  $3/8 \text{ plg}$  o  $0.375 \text{ p/g}$  igual a  $9.525 \text{ mm}$ .

**Cálculo por presión externa para carcasa cilíndrica para cilindros con  $D_o / t \geq 10$**

$$D_o = D_i + 2t = 25 + 2\left(\frac{3}{8}\right) = 25\frac{3}{4} = 25.75 \text{ plg } (65.4 \text{ cm})$$

$$\frac{D_o}{t} = \frac{25.75}{\frac{3}{8}} = \frac{25.75}{0.375} = 68.67 \geq 10$$

Para una longitud de carcasa de 24ft se calcula con la razón  $\frac{L}{D_o} = \frac{24 \times 12}{25.75} = 11.18$  y

con la razón de  $\frac{D_o}{t} = 68.67$  en la fig. 3.4 se consulta el factor  $A = 0.0011$ ,  $B = 14,000$  y  $E = 290 \times 10^6$ , los valores de  $B$  y  $E$  se obtienen de la fig. 3.5 y con una temperatura

$$P_a = \frac{4B}{3\left(\frac{D_o}{t}\right)} = \frac{4 \times 14000}{3(68.67)} = 271.83 \text{ lb/plg}^2$$

## 2.- Diseño de Tapas.

El diseño de las tapas se hizo de acuerdo a UG-32 y UG-33 del ASME, sección VIII, división I.

Cálculo de la tapa por presión interna.

Se selecciono una tapa semiesférica y se cálculo el espesor mínimo por presión interna, con la ecuación (3.1 I)

$$t = \frac{PR}{2SE - 0.2P} = \frac{300 \times 12.5}{2 \times 16600 \times 0.9 - 0.2 \times 300} = 0.1257 \text{ plg} \approx \frac{1}{8} \text{ plg}$$

En el diseño del espesor mínimo de las tapas por presión externa se sigue el procedimiento siguiente:

a) Se calcula A como

$$A = \frac{0.125}{R_o/t} \quad \text{Siendo } R_o, \text{ el diámetro exterior de la carcaza.}$$

$$R_o = R + t_s = 12.5 + 0.375 = 12.875 \text{ plg} \quad \text{entonces,}$$

$$A = \frac{0.125}{\left(\frac{12.875}{0.375}\right)} = 3.64 \times 10^{-3} = 0.00364$$

b) En la fig. 3.5 se determina el valor del factor B, considerando una temperatura mayor de 300°F y con un valor de A = 0.00364 se obtiene que B = 17000 y E = 29.0x10<sup>6</sup>

- c) Con los valores anteriores se calcula la presión externa máxima permisible de la siguiente ecuación:

$$Pa = \frac{B}{(R_0/t)} = \frac{17000}{\left(\frac{12.875}{0.375}\right)} = 495 \text{ lb / plg}^2$$

- d) Se compara la presión externa máxima con la presión exterior del diseño y debe resultar  $Pa > P$ , lo cual si resulta  $495 \text{ lb / plg}^2 > 14.7 \text{ lb / plg}^2$

### 3. - Diseño de Espejos.

El diseño se hace bajo las normas del TEMA que recomienda que en ningún caso los espesores de los espejos deben ser al menos del diámetro exterior de los tubos para intercambiadores tipo "R":

El cálculo del espesor se puede hacer por flexión a por corte, pero si se cumple que

$$\frac{P}{S} < 1.6 \left(1 - \frac{1}{1.25}\right)^2$$

$$\frac{P}{S} = \frac{300}{16600} < 0.064$$

$$0.01807 < 0.064$$

Con esta condición no se tomará el esfuerzo cortante.

El cálculo del esfuerzo por flexión se hace con la siguiente ecuación

$$t = \frac{FG}{2} \sqrt{\frac{P}{nS}}$$

$$\frac{tS}{G} = \frac{3/8 p \lg}{25^{3/8} p \lg} = \frac{0.035}{25.375} = 0.0148, \text{ con este valor y en la Figura 3.18-1 se obtiene el}$$

valor de  $F$  igual a 1.25.

El valor de  $n$  se calcula para el arreglo triangular con

$$n = 1 - \frac{0.907}{\left(\frac{p}{d}\right)^2} = 1 - \frac{0.907}{\left(\frac{1.25}{1}\right)^2} = 0.4195$$

Entonces

$$t = \frac{1.25 \times 25.35}{3} \sqrt{\frac{0.0187}{0.4195}} = 2.20 \text{ plg}$$

#### 4. - Selección de Tubos.

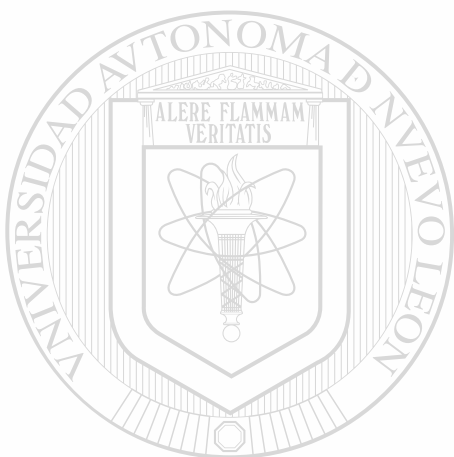
El TEMA indica que los tubos que se usan por equipo de transferencia de calor deben ser calibrados e identificados por la nomenclatura BWG en la Tabla 3.5 y se seleccionaron tubos de 1 plg de diámetro exterior con una aleación de 90 - 10 Cromo Níquel 12 BWG.

#### 5. - Diseño de Deflectores.

Los espesores de los detectores recomendados por el TEMA en la Tabla 3.9 se puede obtener en función del diámetro de la carcasa, también recomienda que el espesor mínimo entre detectores no debe ser menor de 1/5 del diámetro interior de la carcasa.

El espacio mínimo es igual a 1/5(25) pulgada, de la Tabla 3.9 se obtiene el espesor de la placa que es igual a 3/16 pulgada y con un espaciamiento de detectores de 24 pulgadas y aplicando la ecuación:

$$N = \frac{31ft}{\frac{24}{12}} - 1 = 15 \text{ deflectores}$$



# UANL

UNIVERSIDAD AUTÓNOMA DE NUEVO LEÓN

DIRECCIÓN GENERAL DE BIBLIOTECAS





**Tabla 5.1. Viscosidades de líquidos,**

Para usarse como Coordenadas con la Figura 5.1.

LÍQUIDO	x	y
Acetaldehído	15.2	4.8
Acetato de Amilo	11.8	12.5
Acetato de Butilo	12.3	11.0
Acetato de Etilo	13.7	9.1
Acetato de Metilo	14.2	8.2
Acetato de Vinilo	14.0	8.8
Acetona 100%	14.5	7.2
Acetona 35%	7.9	15.0
Agua	10.2	13.0
Ácido Acético 100%	12.1	14.2
Ácido Acético 75%	9.5	17.0
Ácido Butírico	12.1	15.3
Ácido Clorosulfónico	11.2	18.1
Ácido Fórmico	10.7	14.4
Ácido Isobutírico	12.2	13.8
Ácido Nítrico 95%	10.8	17.0
Ácido Nítrico 60%	12.8	13.8
Ácido Propiónico	7.2	27.4
Ácido Sulfúrico 110%	7.0	24.8
Ácido Sulfúrico 98%	10.2	21.3
Ácido Sulfúrico 60%	10.2	14.3
Alcohol Alílico	7.5	18.4
Alcohol Butílico	8.6	17.2
Alcohol Etilico 100%	10.5	13.8
Alcohol Etilico 95%	9.8	14.3
Alcohol Etilico 40%	6.5	16.6
Ácido Clorhídrico 31.5%	13.0	16.6
Alcohol Isobutílico	7.1	18.0
Alcohol Isopropílico	8.2	16.0
Alcohol Octílico	6.2	21.1
Alcohol Propílico	9.1	16.5
Amoniaco 100%	12.6	2.0
Amoniaco 26%	10.1	13.9
Anhidrido Acético	12.7	12.8
Analina	8.1	18.7
Anisol	12.3	13.5
Benceno	12.5	10.9
Bióxido de Azufre	15.2	7.1
Bióxido de Carbono	11.6	0.3
Bisulfuro de Carbono	16.1	7.5

Tabla 5.1. Continuación.

	<b>LÍQUIDO</b>	<b>x</b>	<b>y</b>
Bromo		14.2	13.2
Bromotolueno		20.0	15.9
Bromuro de Etilo		14.5	5.1
Bromuro de Propilo		14.5	9.6
n-Butano		15.3	3.3
Ciclohexanol		2.9	24.3
Clorobenceno		12.3	12.4
Cloroformo		14.4	10.2
Clorotolueno, orto		13.0	13.3
Clorotolueno, meta		13.3	12.5
Clorotolueno, para		13.3	12.5
Cloruro de Etilo		14.8	6.0
Cloruro de Metilo		15.0	3.8
Cloruro de Propilo		14.4	7.5
Cloruro de Sulfurilo		15.2	12.4
Cloruro Estánico		13.5	12.8
Cresol, meta		2.5	20.8
Dibrometano		12.7	15.8
Dicloroetano		13.2	12.2
Diclorometano		14.6	8.9
Difenilo		12.0	18.3
Eter Etilico		14.5	5.3
Etilbenceno		13.2	11.5
Etilenglicol		6.0	23.6
Fenol		6.9	20.8
Formiato de Etilo		14.2	8.4
Freon 11		14.4	9.0
Freon 12		16.8	5.6
Freon 21		15.7	7.5
Freon 22		17.2	4.7
Feon 113		12.5	11.4
Freon 114		14.6	8.3
Glicerina 100%		2.0	30.0
Glicerina 50%		6.9	19.6
Heptano		14.1	8.4
Hexano		14.7	7.0
Hidróxido de Sodio 50%		3.2	25.8
Yoduro de Etilo		14.7	10.3
Yoduro de Propilo		14.1	11.6
Isobutano		14.5	3.7
Mercurio		18.4	16.4

**Tabla 5.1. Continuación.**

	<b>LÍQUIDO</b>	<b>x</b>	<b>y</b>
Metanol 100%		12.4	10.5
Metanol 90%		12.3	11.8
Metanol 40%		7.8	15.5
Metiletilcetona		13.9	8.6
Naftaleno		7.9	18.1
Nitrobenceno		10.6	16.2
Nitrotolueno		11.0	17.0
Octano		13.7	10.0
Oxalato de Dietilo		11.0	16.4
Oxalato de Dimetilo		12.3	15.8
Oxalato de Dipropilo		10.3	17.7
Pentacloroetano		10.9	17.3
Pentano		14.9	5.2
Propano		15.3	1.0
Salmuera CaCl <sub>2</sub> 25%		6.6	15.9
Salmuera NaCl 25%		10.2	16.6
Sodio		16.4	13.9
Tetracloroetano		11.9	15.7
Tetracloroetileno		14.2	12.7
Tetracloruro de Carbono		12.7	13.1
Tetracloruro de Titanio		14.4	12.3
Tribromuro de Fósforo		13.8	16.7
Tricloruro de Arsénico		13.9	14.5
Tricloruro de Fósforo		16.2	10.9
Tricloroetileno		14.8	10.5
Tolueno		13.7	10.4
Turpentina		11.5	14.9
Xileno, orto		13.5	12.1
Xileno, meta		13.9	12.1
Xileno, para		13.9	10.9

**Tabla 5.2 Datos de Tubos para Intercambiadores de Calor.**

Tubos DE, plg.	BWG	Espesor de la pared,	DI, plg	Área de flujo de tubo, plg <sup>2</sup>	Superficie por Ft lin. ft <sup>2</sup>		Peso por pie lineal, lb, de acero
					Exterior	Interior	
½	12	0.109	0.282	0.625	0.1309	0.0748	0.493
	14	0.083	0.334	0.0876		0.0874	0.403
	16	0.065	0.370	0.1076		0.0969	0.329
	18	0.049	0.402	0.127		0.1052	0.258
¾	20	0.035	0.430	0.145	0.1963	0.1125	0.190
	10	0.134	0.482	0.182		0.1263	0.965
	11	0.120	0.510	0.204		0.1335	0.884
	12	0.109	0.532	0.223		0.1393	0.817
	13	0.095	0.560	0.247		0.1466	0.727
	14	0.083	0.584	0.268		0.1529	0.647
	15	0.072	0.606	0.289		0.1587	0.571
	16	0.065	0.620	0.302		0.1623	0.520
1	17	0.058	0.634	0.314	0.2618	0.1660	0.469
	18	0.049	0.652	0.334		0.1707	0.401
	8	0.165	0.670	0.355		0.1754	1.61
	9	0.148	0.704	0.389		0.1843	1.47
	10	0.134	0.732	0.421		0.1916	1.36
	11	0.120	0.760	0.455		0.1990	1.23
	12	0.109	0.7823	0.479		0.2048	1.14
	13	0.095	0.810	0.515		0.2121	1.00
	14	0.083	0.834	0.546		0.2183	0.890
	15	0.072	0.856	0.576		0.2241	0.781
1 ¼	16	0.065	0.870	0.954	0.3271	0.2277	0.710
	17	0.058	0.884	0.613		0.2314	0.639
	18	0.049	0.902	0.639		0.2361	0.545
	8	0.165	0.920	0.665		0.2409	2.09
	9	0.148	0.954	0.714		0.2498	1.91
	10	0.134	0.982	0.757		0.2572	1.75
	11	0.120	1.01	0.800		0.2644	1.58
	12	0.109	1.03	0.836		0.2701	1.45
	13	0.095	1.06	0.884		0.2775	1.28
	14	0.083	1.08	0.923		0.2839	1.13
1 ½	15	0.072	1.11	0.960	0.3925	0.2896	0.991
	16	0.065	1.12	0.985		0.2932	0.900
	17	0.058	1.13	1.01		0.2969	0.808
	18	0.049	1.15	1.04		0.3015	0.688
	8	0.165	1.17	1.175		0.3063	2.57
	9	0.148	1.20	1.14		0.3152	2.34
	10	0.134	1.23	1.19		0.3225	2.14
	11	0.120	1.26	1.25		0.3299	1.98
	12	0.109	1.28	1.29		0.3356	1.77
	13	0.095	1.31	1.35		0.3430	1.56
1 ¾	14	0.083	1.33	1.40	0.3670	0.3492	1.37
	15	0.072	1.36	1.44		0.3555	1.20
	16	0.065	1.37	1.47		0.3587	1.09
	17	0.058	1.38	1.50		0.3623	0.978
	18	0.049	1.40	1.54		0.3670	0.831

Tabla 5.3 Conteo de Tubos.

Diámetro Interior de Carcaza Di, plg	Diámetro Exterior del Haz de Tubos De, plg	Diámetro Exterior del Tubo do, plg	Paso y Arreglo de Tubos P, plg	Número de pasos en los tubos				
				1	2	4	6	8
8.071	6.821	$\frac{3}{4}$ $\frac{3}{4}$ 1 1	15/16 $\Delta$	38	32	26	24	18
			1 $\diamond \square$	32	26	20	20	
			1 $\Delta$	37	30	24	24	
			1 $\frac{1}{4} \diamond \square$	21	16	16	14	
			1 $\frac{1}{4} \Delta$	22	18	16	14	
10.02	8.77	$\frac{3}{4}$ $\frac{3}{4}$ 1 1	15/16 $\Delta$	62	56	47	42	36
			1 $\diamond \square$	52	52	40	36	
			1 $\Delta$	61	52	48	48	
			1 $\frac{1}{4} \diamond \square$	32	32	26	24	
			1 $\frac{1}{4} \Delta$	37	32	28	28	
12	10 $\frac{3}{4}$	$\frac{3}{4}$ $\frac{3}{4}$ 1 1	15/16 $\Delta$	109	98	86	82	
			1 $\diamond \square$	80	72	68	68	60
			1 $\Delta$	90	84	70	70	68
			1 $\frac{1}{4} \diamond \square$	48	44	38	38	36
			1 $\frac{1}{4} \Delta$	57	52	42	42	40
13 $\frac{1}{4}$	12	$\frac{3}{4}$ $\frac{3}{4}$ 1 1	15/16 $\Delta$	127	114	96	90	86
			1 $\diamond \square$	95	90	81	77	70
			1 $\Delta$	110	101	90	88	74
			1 $\frac{1}{4} \diamond \square$	60	56	51	46	44
			1 $\frac{1}{4} \Delta$	67	63	56	54	50
15 $\frac{1}{4}$	14	$\frac{3}{4}$ $\frac{3}{4}$ 1 1	15/16 $\Delta$	170	160	140	136	128
			1 $\diamond \square$	138	132	116	112	108
			1 $\Delta$	163	152	136	133	110
			1 $\frac{1}{4} \diamond \square$	88	82	75	70	64
			1 $\frac{1}{4} \Delta$	96	92	86	84	72
17 $\frac{1}{4}$	16	$\frac{3}{4}$ $\frac{3}{4}$ 1 1	15/16 $\Delta$	239	224	194	188	178
			1 $\diamond \square$	188	178	168	164	142
			1 $\Delta$	211	201	181	176	166
			1 $\frac{1}{4} \diamond \square$	112	110	102	98	82
			1 $\frac{1}{4} \Delta$	130	124	116	110	94
19 $\frac{1}{4}$	18	$\frac{3}{4}$ $\frac{3}{4}$ 1 1	15/16 $\Delta$	301	282	252	244	234
			1 $\diamond \square$	236	224	216	208	188
			1 $\Delta$	273	256	242	236	210
			1 $\frac{1}{4} \diamond \square$	148	142	136	129	116
			1 $\frac{1}{4} \Delta$	172	162	152	148	128
21	19 1/2	$\frac{3}{4}$ $\frac{3}{4}$ 1 1	15/16 $\Delta$	361	342	314	306	290
			1 $\diamond \square$	276	264	246	240	234
			1 $\Delta$	318	308	279	269	260
			1 $\frac{1}{4} \diamond \square$	170	168	157	150	148
			1 $\frac{1}{4} \Delta$	199	188	170	164	160

Tabla 5.3 Continuación.

Diámetro Interior de Carcaza Di, plg	Diámetro Exterior del Haz de Tubos De, plg	Diámetro Exterior del Tubo d, plg	Paso y Arreglo de Tubos P, plg	Número de pasos en los tubos				
				1	2	4	6	8
23 ¼	21 ½	¾	15/16 Δ	442	420	386	378	364
			1 ◇ □	341	321	308	296	292
			1 Δ	381	369	349	326	328
			1 ¼ ◇ □	210	199	197	186	184
			1 ¼ Δ	247	230	216	208	202
25	23 3/8	¾	15/16 Δ	531	506	468	446	434
			1 ◇ □	397	391	370	360	343
			1 Δ	470	452	422	394	382
			1 ¼ ◇ □	250	248	224	216	210
			1 ¼ Δ	294	282	256	252	242
27	25 3/8	¾	15/16 Δ	637	602	550	536	524
			1 ◇ □	465	452	427	418	408
			1 Δ	559	534	488	474	464
			1 ¼ ◇ □	286	275	267	257	250
			1 ¼ Δ	349	334	302	296	286
29	27 3/8	¾	15/16 Δ	721	692	640	620	594
			1 ◇ □	554	542	525	509	500
			1 Δ	630	534	556	538	508
			1 ¼ ◇ □	348	275	322	314	313
			1 ¼ Δ	397	334	354	334	316
31	29 3/8	¾	15/16 Δ	847	822	766	722	720
			1 ◇ □	633	616	590	568	570
			1 Δ	745	728	678	666	640
			1 ¼ ◇ □	405	390	366	360	384
			1 ¼ Δ	472	454	430	420	400
33	31 3/8	¾	15/16 Δ	974	938	872	852	826
			1 ◇ □	742	713	687	683	672
			1 Δ	856	830	774	760	732
			1 ¼ ◇ □	460	453	430	420	414
			1 ¼ Δ	538	522	468	470	454
35	33 3/8	¾	15/16 Δ	1102	1086	1004	988	958
			1 ◇ □	827	811	773	762	756
			1 Δ	970	938	882	864	848
			1 ¼ ◇ □	517	513	487	486	480
			1 ¼ Δ	608	592	566	546	532
37	35 ¼	¾	15/16 Δ	1242	1200	1144	1104	1078
			1 ◇ □	929	902	880	870	852
			1 Δ	1090	1042	982	966	958
			1 ¼ ◇ □	588	580	555	544	538
			1 ¼ Δ	678	664	632	614	598

Tabla 5.3 Continuación.

Diámetro Interior de Carcaza Di, plg	Diámetro Exterior del Haz de Tubos De, plg	Diámetro Exterior del Tubo de, plg	Paso y Arreglo de Tubos P, plg	Número de pasos en los tubos				
				1	2	4	6	8
39	37 ¼	¾	15/16 Δ	1377	1330	1258	1248	1212
			1 ◇ □	1025	1012	984	964	952
			Δ	1206	1176	1128	1100	1078
			1	645	637	619	610	605
			1 ¼ ◇ □	766	736	700	688	672
42	40 ¼	¾	15/16 Δ	1611	1580	1498	1464	1456
			1 ◇ □	1201	1171	1144	1109	1087
			Δ	1409	1378	1314	1296	1280
			1	7456	728	708	686	680
			1 ¼ ◇ □	890	878	834	808	800
44	42 ¼	¾	15/16 Δ	1782	1738	1650	1624	1592
			1 ◇ □	1349	1327	1286	1270	1252
			Δ	1562	1535	1464	1422	1394
			1	856	837	809	778	763
			1 ¼ ◇ □	990	966	921	888	871
48	46	¾	15/16 Δ	1965	1908	1834	1801	1766
			1 ◇ □	1620	1598	1553	1535	1505
			Δ	1827	1845	1766	1724	1690
			1	1029	1010	975	959	940
			1 ¼ ◇ □	1188	1163	1098	1076	1055
52	50	¾	15/16 Δ	2347	2273	2178	2152	2110
			1 ◇ □	1918	1890	1848	1826	1790
			Δ	2212	2183	2092	2050	2010
			1	1216	1196	1167	1132	1110
			1 ¼ ◇ □	1405	1375	1323	1287	1262
56	54	¾	15/16 Δ	2704	2660	2556	2526	2489
			1 ◇ □	2241	2214	2167	2142	2110
			Δ	2588	2545	2446	2409	2373
			1	1420	1400	1371	1333	1307
			1 ¼ ◇ □	1638	1605	1549	1501	1472
60	58	¾	15/16 Δ	3399	3343	3232	3195	3162
			1 ◇ □	2587	2556	2510	2485	2460
			Δ	2987	2945	2827	2798	2770
			1	1639	1615	1587	1553	1522
			1 ¼ ◇ □	1889	1851	1797	1761	1726

**Tabla 5.4** Valores de  $F_1$  para varios diámetros de tubos y arreglos.

DIÁMETRO EXTERNO DE TUBO, PLG	SEPARACIÓN ENTRE CENTROS DE TUBO, PLG		ARREGLO	$F_1$
5/8	13/16	→	△	0.90
5/8	13/16	→	◇ □	1.04
¾	15/16	→	△	1.00
¾	15/16	→	◇ □	1.16
¾	1	→	△	1.14
¾	1	→	◇ □	1.31
1	1 ¼	→	△	1.34
1	1 ¼	→	◇ □	1.54

NOTA.- Esta tabla se puede usar también para tubos con aletas pequeñas (low-finned) de la forma siguiente:

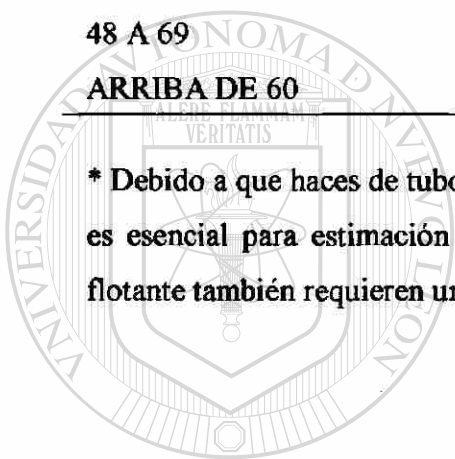
El valor estimado de  $U_0$  debe estar basado en el área externa total (incluyendo las aletas) del tubo aletado. Este valor será generalmente más pequeño (10 a 30 %) que los valores para tubo plano dados en la tabla 2. entonces el valor requerido de  $A_0$  está basado en el área del tubo aletado, y los valores de  $F_1$  dados se dividen por la razón del área del tubo aletado del área del tubo plano (por unidad de longitud). Típicamente este valor será de 2.5 a 4.



**Tabla 5.5** Valores de F<sub>2</sub> para varios números de pasos en los tubos.

DIÁMETRO INTERNO DE CARCAZA, PLG	F <sub>2</sub>			
	NUMERO DE PASOS EN LOS TUBOS			
	2	4	6	8
HASTA 12	1.20	1.40	1.80	---
13 ¼ A 17 ¼	1.06	1.18	1.25	1.50
19 ¼ A 23 ¼	1.04	1.14	1.19	1.35
25 A 33	1.03	1.12	1.16	1.20
35 A 45	1.02	1.08	1.12	1.16
48 A 69	1.02	1.05	1.08	1.12
ARRIBA DE 60	1.01	1.03	1.04	1.06

\* Debido a que haces de tubos en U siempre tienen al menos 2 pasos, el uso de esta tabla es esencial para estimación de estos tipos. La mayoría de haces de tubos de cabezal flotante también requieren un número par de pasos en los tubos.



UANL

UNIVERSIDAD AUTÓNOMA DE NUEVO LEÓN

DIRECCIÓN GENERAL DE BIBLIOTECAS



**Tabla 5.6** Valores de  $F_1$  para varios tipos de haces de tubos.

TIPO DE CONSTRUCCIÓN DE HAZ DE TUBOS	$F_3$				
	DIÁMETRO INTERNO DE CARCAZA,				
	PLG				
	HASTA 12	13 – 22	23 – 36	37 – 48	MAYOR 48
SPLIT BACKING RING (TEMA S)	1.30	1.15	1.09	1.06	1.04
OUTSIDE PACKED FLOATING HEAD (TEMA P)	1.30	1.15	1.09	1.06	1.04
TUBO EN U (TEMA U)*	1.12	1.08	1.03	1.01	1.01
PULL – THROUGH FLOATING HEAD (TEMA T)	—	1.40	1.25	1.18	1.15

\* Usar además de  $F_2$  de tabla 4 cuando sea TEMA U.



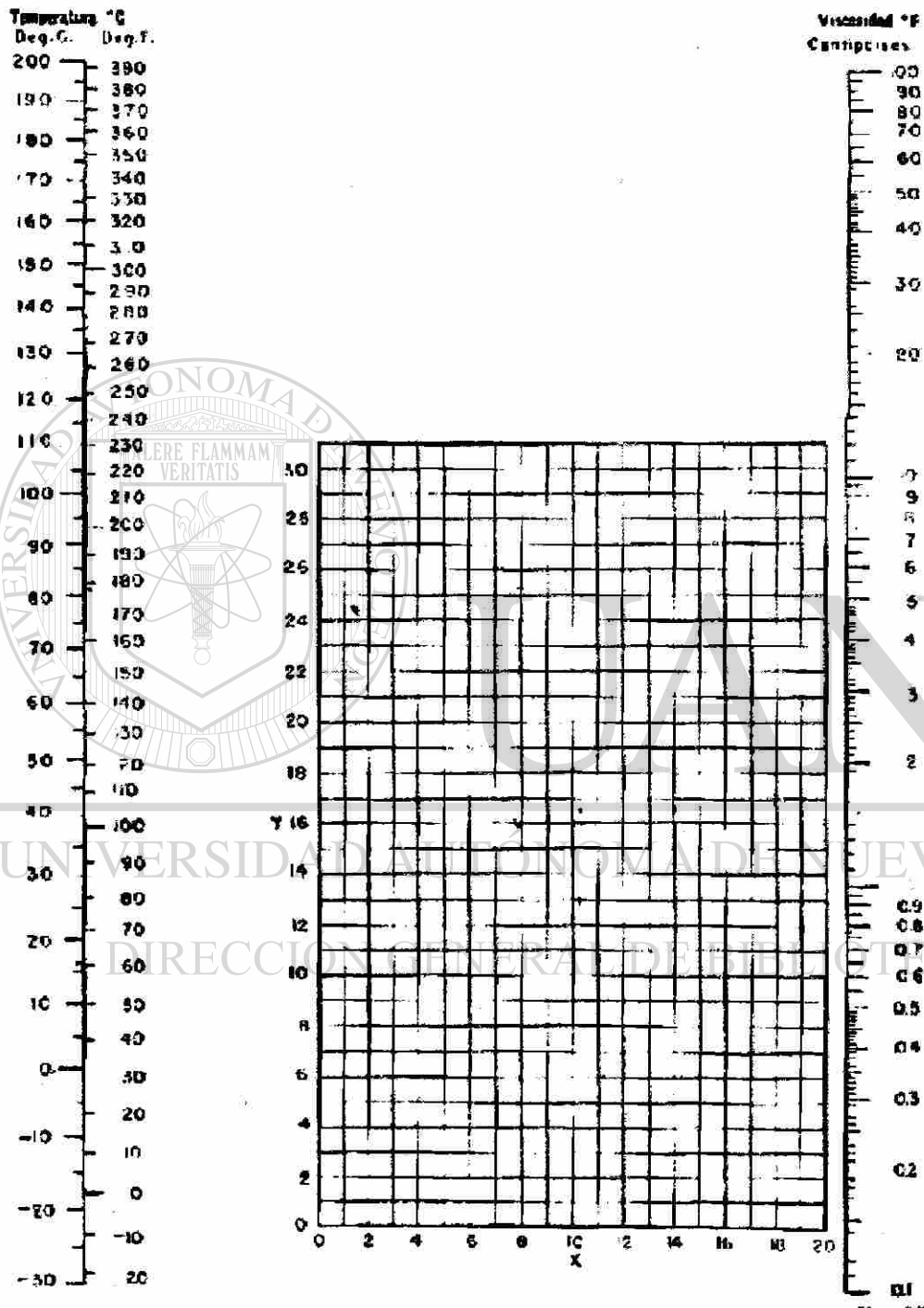
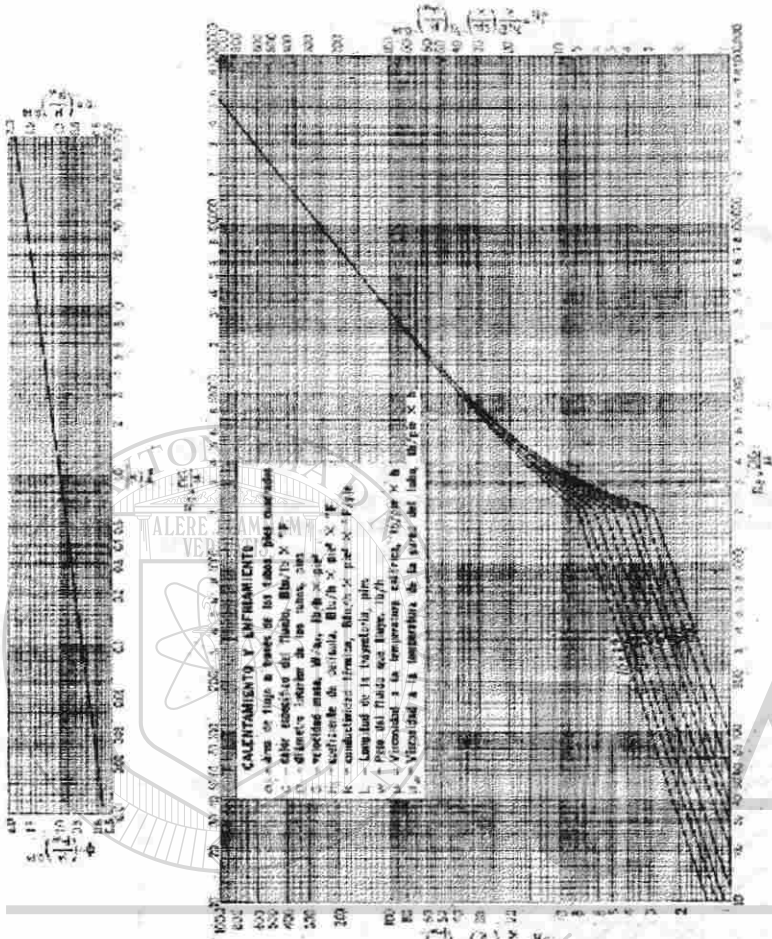


Figura 5.1. Viscosidades de los líquidos.



Curva de transferencia de calor lado de tubos.

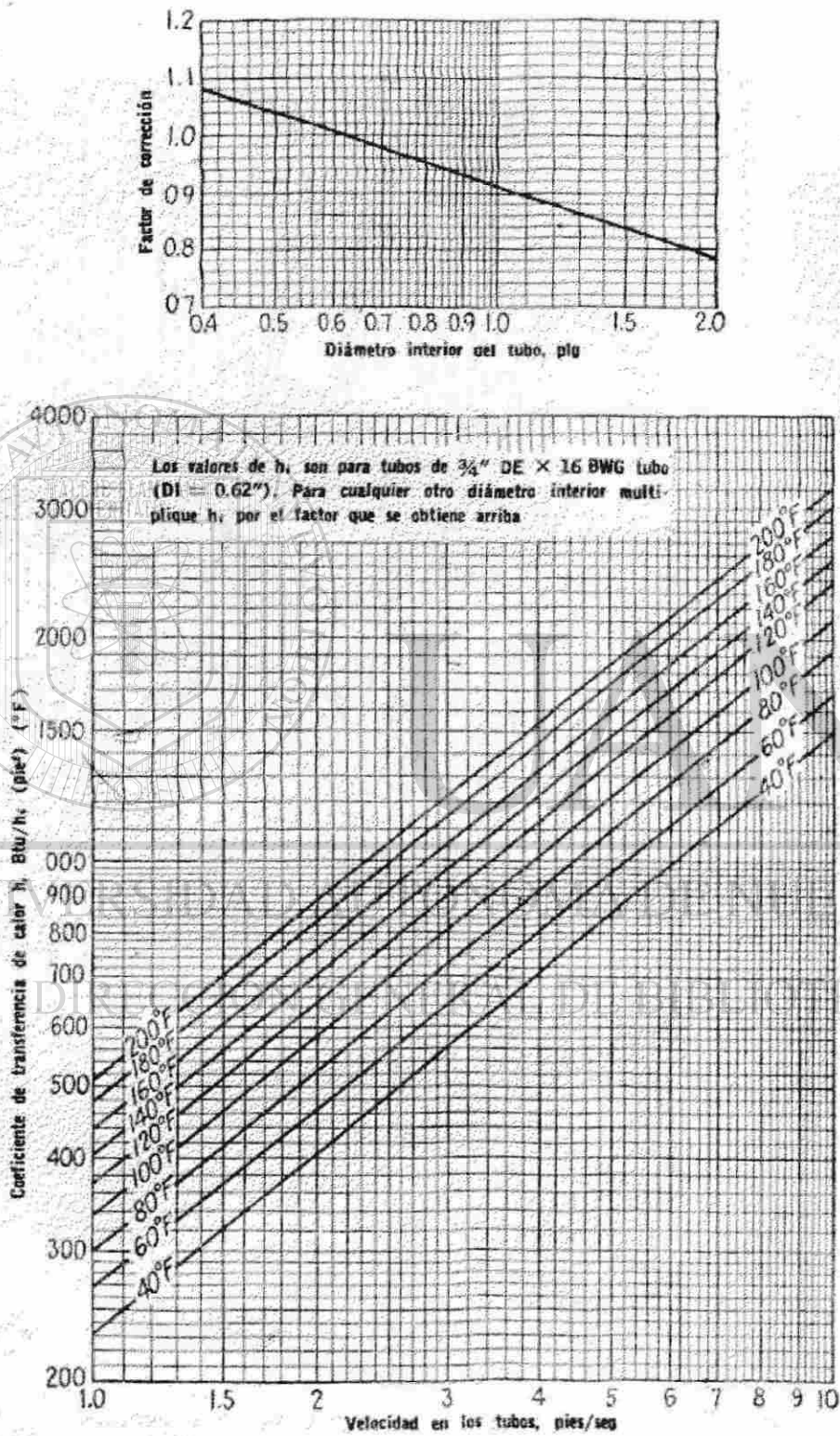


Figura 5.3 Curva de transferencia de calor, agua en los tubos.

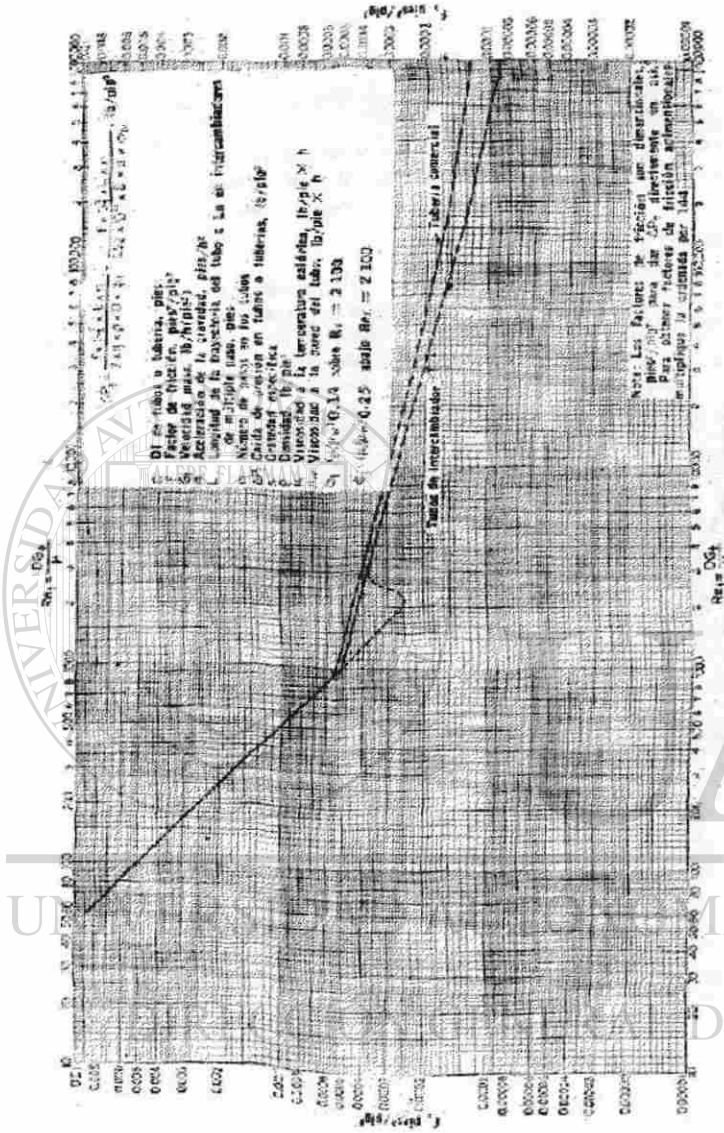


Figura 5.4 Factores de fricción, para lado de tubos.

UNIVERSIDAD AUTÓNOMA DE NUEVO LEÓN  
BIBLIOTECA

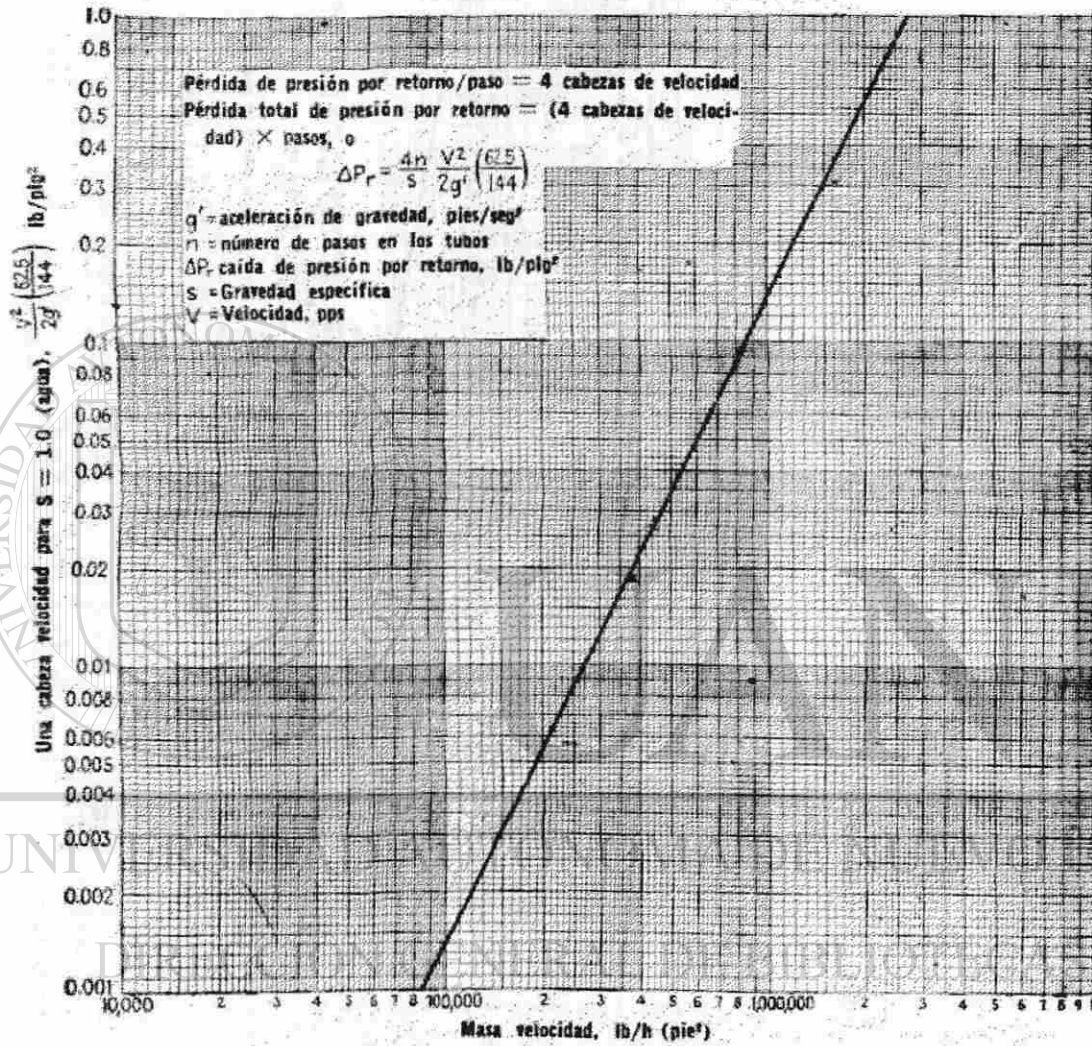


Figura 5.5 Pérdida de presión por retorno, lado de tubos.



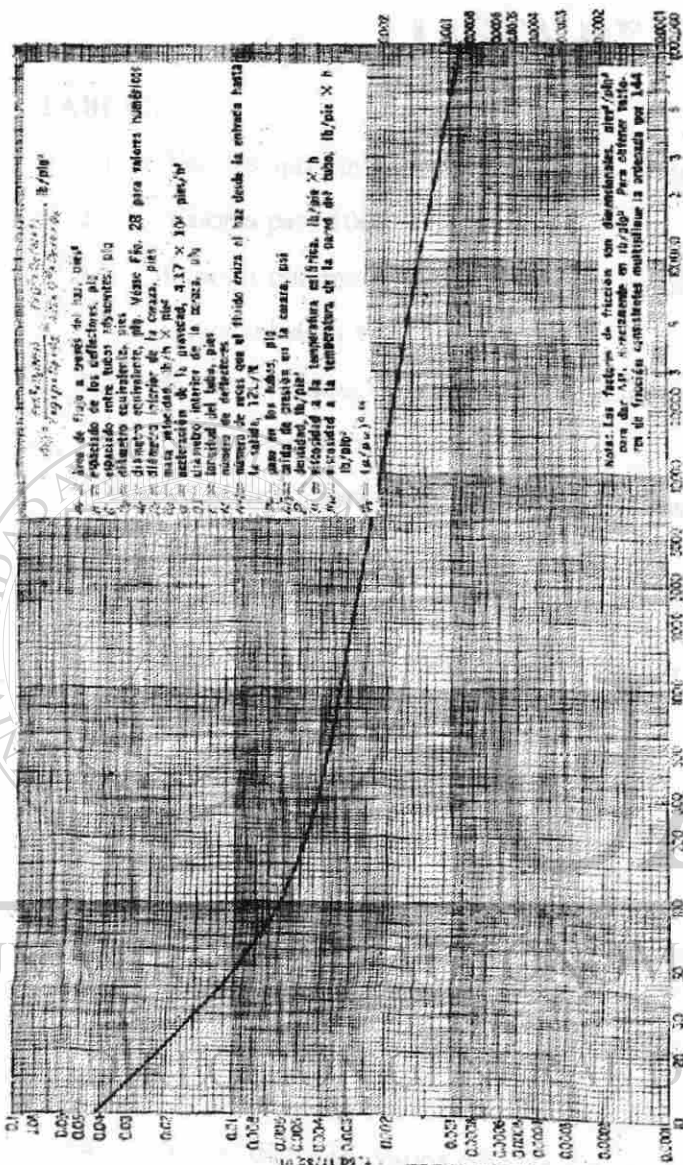


Figura 5.6 Factores de fricción lado de la carcasa, para haces de tubos con deflectores segmentados 25%

## LISTA DE TABLAS

<b>TABLAS</b>	<b>PÁGINA</b>
2.1 Valores aproximados de coeficientes globales de transmisión de calor.	31
2.2 Valores para $1000 \omega$ en función de $\chi$ y $\psi$ .	33
3.1 Espesor mínimo de la carcaza (todas las dimensiones en pulgadas). Intercambiador tipo R*.	91
3.2 Espesor mínimo de la carcaza (todas las dimensiones en pulgadas). Intercambiador tipo C* y B**.	92
3.3 Valor de $K_0$ para tapas semielípticas sometidas a presión externa.	93
3.4 Coeficientes medios de expansión térmica.	94
3.5 Calibres de los tubos mas comunes en cobre, acero y aleaciones.	96
3.6 Presión interna de trabajo (psi) de tubos a diferentes valores de esfuerzos permisibles.	97
3.7 Factor de forma de la brida (Y).	99
3.8 Pernos mínimos recomendados.	104
3.9 Espesores de deflectores.	105
<hr/>	
4.1 Resistencia al ensuciamiento para fluidos industriales.	135
5.1 Viscosidades de líquidos.	153
5.2 Datos de tubos para intercambiadores de calor.	156
5.3 Conteo de tubos.	157
5.4 Valores de F para varios diámetros de tubos y arreglos.	160
5.5 Valores de F para varios números de pasos en los tubos.	161
5.6 Valores de F para varios tipos de haces de tubos.	162
5.7 Valores de esfuerzos máximos permisibles para materiales ferrosos (ASME 1989: Sección 8, División 1)	163

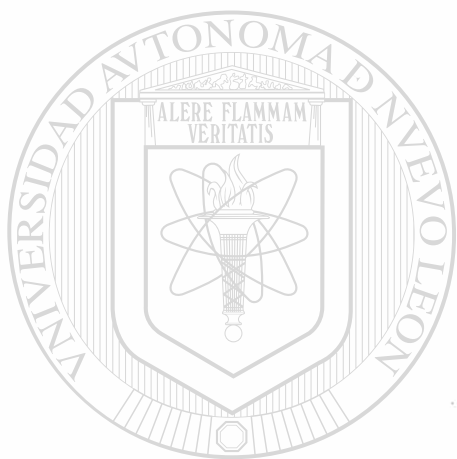
## LISTA DE FIGURAS

<b>Fig.</b>		<b>PÁGINA</b>
1.1	Cambiador de calor de doble tubo.	8
1.2	Cambiador de calor de tipo evaporativo.	9
1.3	Diagrama de cambiador de placas.	10
1.4	Representación esquemática del funcionamiento de un intercambiador de calor tipo placa	11
1.5	Cambiador de calor de serpentín.	12
1.6	Cambiador de calor de espiral.	13
1.7	Cambiador de calor enfriado por aire de tiro forzado.	14
1.8	Cambiador de calor enfriado por aire de tiro inducido.	15
1.9	Intercambiador de calor de carcasa y tubos tipo MEM.	16
1.10	Cambiador de calor de tipo rotatorio Ljungstrom.	17
2.1	Transmisión de calor a través de una pared.	34
2.2	Diagrama de la distribución de temperaturas en flujos paralelos del mismo sentido.	35
2.3	Diagrama de la distribución de temperaturas en flujos paralelos en contracorriente.	36
2.4	Diagrama de la distribución de temperaturas en flujo cruzado.	37
2.5	Factor de corriente de la diferencia de temp. media logarítmica, 1 paso en la coraza, 2 pasos en los tubos (en serie).	38
2.6	Factor de corrección de la diferencia de temp. media logarítmica, 2 pasos en la coraza, 4 o múltiplos de 4 pasos en los tubos (en serie).	39
2.7	Factor de corrección de la diferencia de temp. media logarítmica, 3 pasos en la coraza, 6 o múltiplos de 6 pasos en los tubos (en serie).	40
2.8	Factor de corrección de la diferencia de temp. media logarítmica, 4 pasos en la coraza, 8 o múltiplos de 8 pasos en los tubos /en serie).	41

- 2.9 Factor de corrección de la diferencia de temp. media logarítmica, 5 pasos en 42 la coraza, 10 o múltiplos de 10 pasos en los tubos (en serie).
- 2.10 Factor de corrección de la diferencia de temp. media logarítmica, 6 pasos en 43 la coraza, 12 o múltiplos de 12 pasos en los tubos (en serie).
- 2.11 Efectividad para un intercambiador de calor con flujos en paralelo. 44
- 2.12 Efectividad para un intercambiador de calor con flujos opuestos. 45
- 2.13 Efectividad para un intercambiador de calor con flujos transversales con un 46 flujo mezclado y otro sin mezclar.
- 2.14 Efectividad para un intercambiador de calor con flujos transversales con un 47 flujo sin mezclar.
- 2.15 Efectividad para un intercambiador de calor de coraza y tubo. 48
- 2.16 Efectividad para un intercambiador de calor de coraza y tubo. 49
- 3.1 Intercambiador de calor de coraza y tubo. 106
- 3.2.1 Valores típicos de la eficiencia de las uniones de soldadura. 107
- 3.2 Diagrama de carcasa cilíndrica. 108
- 3.3 Diagrama de sección cónica. 108
- 3.4 (Parte 1) Diagrama para envolventes cilíndricas sometidas a presión externa o 109 cargas de compresión (para todos los materiales).
- (Parte 2) Diagrama para envolventes cilíndricas sometidas a presión externa o 110<sup>®</sup> cargas de compresión (para todos los materiales).
- 3.5 Diagrama para determinar el espesor de la envolvente cilíndrica y esférica, 111 sometida a presión externa y construido en acero al carbono o de baja aleación (punto de cedencia de 30000 a 38000 PSI) y aceros inoxidables tipos 405 y 410. 112
- 3.6 Diagrama para determinar el espesor de la envolvente cilíndrica y esférica, sometida a presión externa, t construido de acero austenítico (18Cr-8Ni, tipo 304).

3.7	Diagrama para determinar el espesor de la envolvente cilíndrica y esférica, sometida a presión externa, y construido en acero austenítico (18Cr-8Ni+Cb, tipo 347, 25Cr-12Ni, tipo 309, 25Cr-20Ni, tipo 310 y 17Cr, tipo 430B)	113
3.8	Diagrama para determinar el espesor de la envolvente cilíndrica y esférica, sometida a presión externa, y construido en acero austenítico (18Cr-8Ni+0.03 máximo de carbono, tipo 304L)	114
3.9	Diagrama para determinar el espesor de la envolvente cilíndrica y esférica, sometida a presión externa, y construido en acero austenítico (18Cr-8Ni+Mo, 0.09 máximo de carbono 316L y 317)	115
3.10	Semi-elíptica.	116
3.11	Toriesférica.	116
3.12	Semiesférica.	117
3.13	Cónica.	117
3.14-a	Plana.	118
3.14-b	Plana con ceja.	118
3.14-c,d,e	Tipos de uniones de tapas planas.	119
3.15-a,b	Tipos de empaques entre la coraza y tapas.	120
3.16	Ancho de efectivo del asentamiento del empaque b.	121
3.17	Materiales de empaques y caras de contacto.	122
3.18	Espejo de tubos.	123
3.18.1	Relación espesor de pared / diámetro para espejos integrales.	124
3.19	Perímetro ( c ).	125
3.20	Tipos de bridas.	126
3.21	Nomenclatura de las bridas.	127
3.22	Diseño de refuerzos.	130
3.23	Diferentes diseños de deflectores.	131
5.1	Viscosidades de los líquidos.	164
5.2	Curva de transferencia de calor lado de tubos.	165

5.3	Curva de transferencia de calor, agua en los tubos.	166
5.4	Factores de fricción, para lado de tubo.	167
5.5	Perdida de presión por retorno, lado de tubos.	168
5.6	Factores de fricción de lado de la carcasa, para hacer de tubos con deflectores segmentados 25%.	169



# UANL

---

UNIVERSIDAD AUTÓNOMA DE NUEVO LEÓN



DIRECCIÓN GENERAL DE BIBLIOTECAS

## BIBLIOGRAFIA

- **Procesos de Transferencia de Calor**  
Donald Q. Kern  
C.E.C.S.A. 1986
- **Heat and Mass Transfer**  
E.R.G. Eckert  
Roberto M. Drake  
Mc Graw Hill 1972
- **Perry's Chemical Engineers Handbook**  
Robert H. Perry, Don Green  
Mc Graw Hill 1995
- **Transferencia de Calor Aplicada a la Ingeniería**  
James R. Welty  
Limusa 1993
- **Transferencia de Calor**  
J.P. Holman  
Mc Graw Hill 1995
- **Engineering Heat Transfer**  
Shao Ti Hsu  
Jan Monstrand 1963
- **Engineering Data Book II**  
Wolverine Heat Transfer  
Data Book
- **Código ASME Edición 1989 de la Sección I**

DIRECCIÓN GENERAL DE BIBLIOTECAS

